



**SKRIPSI – ME184834**

**PEMODELAN CFD UNTUK MENGETAHUI PENGARUH  
*COMBUSTION FLOW PADA MESIN DIESEL MODIFIKASI DUAL  
FUEL***

Mochamad Choirul Hardianto  
NRP 04211745000029

Dosen Pembimbing  
Beny Cahyono, S.T., M.T., Ph.D  
Ir. Agoes Santoso, M.Sc., M.Phil

**DEPARTEMEN TEKNIK SISTEM PERKAPALAN  
FAKULTAS TEKNOLOGI KELAUTAN  
INSTITUT TEKNOLOGI SEPULUH NOPEMBER  
SURABAYA  
2019**





**SKRIPSI - ME 184834**

**PEMODELAN CFD UNTUK MENGETAHUI PENGARUH *COMBUSTION FLOW* PADA MESIN DIESEL MODIFIKASI *DUAL FUEL***

Mochamad Choirul Hardianto  
NRP 04211745000029

Dosen Pembimbing  
Beny Cahyono, S.T., M.T., Ph.D  
Ir. Agoes Santoso, M.Sc., M.Phil

**DEPARTEMEN TEKNIK SISTEM PERKAPALAN  
FAKULTAS TEKNOLOGI KELAUTAN  
INSTITUT TEKNOLOGI SEPULUH NOPEMBER  
2019**





**BACHELOR THESIS – ME184834**

**CFD MODELING TO FIND OUT THE EFFECT OF COMBUSTION  
FLOW IN DUAL FUEL MODIFICATIONS OF DIESEL ENGINE**

Mochamad Choirul Hardianto  
NRP. 04211745000029

**Supervisor**

Beny Cahyono, S.T., M.T., Ph.D  
Ir. Agoes Santoso, M.Sc., M.Phil

**DEPARTEMENT OF MARINE ENGINEERING  
FACULTY OF MARINE TECHNOLOGY  
SEPULUH NOPEMBER INSTITUTE OF TECHNOLOGY  
SURABAYA  
2019**



## LEMBAR PENGESAHAN

**Pemodelan CFD untuk Mengetahui Pengaruh *Combustion Flow* pada  
Mesin Diesel Modifikasi Dual Fuel**

### TUGAS AKHIR

Diajukan Untuk Memenuhi Syarat  
Memperoleh Gelar Sarjana Teknik  
Pada  
Bidang Studi *Marine Machinery and System* (MMS)  
Program Studi S-1 Departemen Teknik Sistem Perkapalan  
Fakultas Teknologi Kelautan  
Institut Teknologi Sepuluh Nopember

Oleh:  
**MOCHAMAD CHOIRUL HARDIANTO**  
NRP. 04211745000029

Disetujui Oleh Dosen Pembimbing Tugas Akhir:

Beny Cahyono, S.T., M.T., Ph.D

Ir. Agoes Santoso, M.Sc., M.Phil

**SURABAYA  
JULI, 2019**

*“Halaman ini sengaja dikosongkan”*

## LEMBAR PENGESAHAN

**Pemodelan CFD untuk Mengetahui Pengaruh *Combustion Flow* pada  
Mesin Diesel Modifikasi *Dual Fuel***

### TUGAS AKHIR

Diajukan Untuk Memenuhi Salah Satu Syarat  
Memperoleh Gelar Sarjana Teknik  
Pada

Bidang Studi *Marine Machinery and System* (MMS)  
Program Studi S-1 Departemen Teknik Sistem Perkapalan  
Fakultas Teknologi Kelautan  
Institut Teknologi Sepuluh Nopember  
Oleh:

**MOCHAMAD CHOIRUL HARDIANTO**  
**NRP. 04211745000029**

Disetujui Oleh Kepala Departemen Teknik Sistem Perkapalan



Dr.Eng Muhammad Badrus Zaman, S.T., M.T.  
NIP. 197708022008011007

**SURABAYA**  
**JULI, 2019**

*“Halaman ini sengaja dikosongkan”*

## Pemodelan CFD untuk Mengetahui Pengaruh *Combustion Flow* pada Mesin Diesel Modifikasi *Dual Fuel*

**Nama Mahasiswa** : Mochamad Choirul Hardianto  
**NRP** : 04211745000029  
**Jurusan / Fakultas** : Teknik Sistem Perkapalan  
**Dosen Pembimbing** : 1. Beny Cahyono, S.T., M.T., Ph.D  
2. Ir. Agoes Santoso, M.Sc., M.Phil

### ABSTRAK

*Natural gas* merupakan bahan bakar alternatif pengganti bensin dan solar yang diharapkan menghasilkan emisi yang rendah serta ramah lingkungan. Jenis *natural gas* yang dimanfaatkan sebagai bahan bakar yaitu *compressed natural gas (CNG)* atau di Indonesia biasa disebut dengan bahan bakar gas (BBG). Komposisi utama CNG adalah metana ( $\text{CH}_4$ ). CNG dibuat dengan melakukan kompresi metana ( $\text{CH}_4$ ) yang diekstrak dari *natural gas* bertekanan 100 bar hingga 275 bar yang disimpan dan didistribusikan dalam *pressure vessel* atau bejana tekan yang biasanya berbentuk silinder. Diperlukan perhatian khusus pada sistem pembakaran mesin diesel jika menggunakan CNG sebagai bahan bakar alternatif. Hal ini dilakukan karena adanya perbedaan karakteristik antara CNG dengan bahan bakar konvensional, contohnya solar. Untuk mengoptimalkan pembakaran pada mesin diesel *dual fuel*, maka komposisi bahan bakar yang dicampurkan juga perlu diperhatikan. Mesin yang digunakan untuk analisa ini adalah mesin diesel modifikasi *dual fuel* berbahan bakar CNG dan *diesel oil*. Hasil dari pemodelan ini menunjukkan *pressure*, *temperature*, dan *velocity/flow* di ruang bakar dengan nilai tertinggi dimiliki pada variasi bahan bakar 0% CNG dan 100% *diesel oil*. Untuk nilai *pressure* tertinggi yaitu 84,76 bar, nilai *temperature* tertinggi yaitu 2174,77 K, nilai *velocity of fluids* tertinggi yaitu 26,8651 m/s.

**Kata kunci:** Dual Fuel, CNG, Diesel, CFD

*“Halaman ini sengaja dikosongkan”*

## **CFD Modeling to Find Out the Effect of Combustion Flow in Dual Fuel Modifications Engine**

**Name** : Mochamad Choirul Hardianto  
**NRP** : 04211745000029  
**Departement** : Departement of Marine Engineering  
**Supervisors** : 1. Beny Cahyono, S.T., M.T., Ph.D  
                  2. Ir. Agoes Santoso, M.Sc., M.Phil

### **ABSTRACT**

Natural gas is an alternative fuel of gasoline and diesel fuel which are expected to produce low emissions and environmentally friendly. The type of natural gas that is used as a fuel is compressed natural gas (CNG) . The main composition of CNG is methane (CH<sub>4</sub>). CNG is made by doing methane compression (CH<sub>4</sub>) which is extracted from natural gas pressurized 100 bar up to 275 bar which is stored and distributed in a pressure vessel which is usually cylindrical.

Special attention is needed to diesel engine combustion systems if using CNG as an alternative fuel. This is done because of the characteristic differences between CNG and conventional fuels, for example diesel fuel. To optimize combustion on a dual fuel diesel engine, the composition of the fuel mixed also needs to be considered. The engine used for this analysis is a modified dual fuel diesel engine fueled by CNG and diesel oil.

The results of this modeling shows pressure, temperature, and velocity of flow in combustion chamber with the highest value in variations of fuel 0% CNG and 100% diesel oil. For the highest pressure value is 84.76 bar, the highest temperature value is 2174.77 K, the highest velocity of fluids value is 26.8651 m/s.

**Keywords :** Dual Fuel, CNG, Diesel, CFD

*“Halaman ini sengaja dikosongkan”*

## KATA PENGANTAR

Puji syukur alhamdulillah atas kehadiran Allah SWT yang telah memberikan rahmat dan hidayahnya sehingga penulis mampu menyelesailan tugas akhir yang berjudul “Pemodelan CFD untuk Mengetahui Pengaruh *Combustion Flow* pada Mesin Diesel Modifikasi *Dual Fuel*”. Tugas akhir ini disusun sebagai salah satu syarat untuk memperoleh gelar Sarjana Teknik dari Departemen Teknik Sistem Perkapalan, Fakultas Teknologi Kelautan, Institut Teknologi Sepuluh Nopember Surabaya.

Penulis menyadari bahwa terselesaikannya Tugas Akhir ini tidak lepas dari bantuan dari berbagai pihak. Oleh karena itu penulis menyampaikan banyak rasa terimakasih kepada:

1. Allah SWT
2. Orangtua terkasih, Alm. Bapak Mochamad Hariadi dan Ibu Reni Rahayu, doa dan dukungan beliau membuat penulis mampu melewati segala ritangan dalam mengerjakan Tugas Akhir ini.
3. Bapak Dr. Eng. M. Badrus Zaman, S.T., MT selaku kepala departemen Teknik sistem perkapalan. Dan juga bapak-bapak dosen yang amat penulis hormati.
4. Bapak Benny Cahyono, S.T., M.T., Ph.D dan Bapak Ir. Agoes Santoso, M.Sc., M.Phil selaku dosen pembimbing penulis yang senantiasa memotivasi dan mengarahkan alur penggerjaan Tugas Akhir penulis.
5. Bapak Indra Ranu Kusuma, S.T., M.Sc. selaku dosen wali.
6. Seluruh mahasiswa Teknik Sistem Perkapalan Lj 17 Gasal, Lj 17 Genap Salvage’15, Voyage’16 dan Badrikara’17 yang telah memberikan semangat dan support selama perkuliahan.
7. Pihak-pihak yang terlibat dalam penyusunan skripsi yang tidak dapat penulis sebutkan satu per satu.

Penulis menyadari bahwa penlitian yang dilakukan dalam tugas akhir ini masih memiliki kekurangan. Oleh karena itu, kritik dan saran yang membangun sangat penulis harapkan.

Akhir kata, semoga Tugas Akhir ini dapat menjadi ilmu yang barokah bagi kita semua dan menjadi pedoman untuk penulisan selanjutnya.

Surabaya, Juli 2019

Penulis

*“Halaman ini sengaja dikosongkan”*

## DAFTAR ISI

|  |                                     |
|--|-------------------------------------|
| LEMBAR PENGESAHAN .....                                  | <b>Error! Bookmark not defined.</b> |
| LEMBAR PENGESAHAN .....                                  | <b>Error! Bookmark not defined.</b> |
| ABSTRAK.....   | v                                   |
| ABSTRACT.....  | vii                                 |
| KATA PENGANTAR .....                                     | ix                                  |
| DAFTAR GAMBAR .....                                      | xiii                                |
| DAFTAR GRAFIK.....                                       | xv                                  |
| DAFTAR TABEL.....  | xvii                                |
| BAB I : Pendahuluan .....                                | 1                                   |
| 1.1    Latar Belakang.....                               | 1                                   |
| 1.2    Perumusan Masalah.....                            | 2                                   |
| 1.3    Batasan Masalah.....                              | 2                                   |
| 1.4    Tujuan Penelitian.....                            | 2                                   |
| 1.5    Manfaat.....                                      | 2                                   |
| BAB II : Tinjauan Pustaka .....                          | 3                                   |
| 2.1    Compressed Natural Gas .....                      | 3                                   |
| 2.2    Gas sebagai Bahan Bakar di Kapal.....             | 3                                   |
| 2.3    Dual Fuel Diesel Engine.....                      | 4                                   |
| 2.4    Pemodelan CFD (Computational Fluid Dynamic) ..... | 7                                   |
| 2.5    Solid Works .....                                 | 8                                   |
| 2.6    Ansys .....                                       | 8                                   |
| BAB III : Metodologi Penelitian.....                     | 9                                   |
| 3.1    Perumusan Masalah.....                            | 10                                  |
| 3.2    Studi Literatur.....                              | 10                                  |
| 3.3    Pengumpulan Data.....                             | 10                                  |
| 3.4    Pemodelan .....                                   | 15                                  |
| 3.5    Output Report .....                               | 18                                  |
| 3.6    Validasi.....                                     | 18                                  |
| 3.7    Analisa Data .....                                | 18                                  |
| 3.8    Kesimpulan dan Saran .....                        | 18                                  |
| BAB IV : Analisa Data dan Pembahasan.....                | 19                                  |
| 4.1    Perhitungan Termodinamika .....                   | 19                                  |
| 4.1.1    Spesifikasi Mesin .....                         | 19                                  |
| 4.1.2    State 1 (Intake Stroke).....                    | 19                                  |

|                                    |   |    |
|------------------------------------|---|----|
| 4.1.3                              | State 2 (Compression) .....                 | 20 |
| 4.1.4                              | State 3 ( <i>expansion</i> ).....           | 21 |
| 4.1.5                              | State 4 ( <i>Exhaust</i> ) .....            | 21 |
| 4.1.6                              | Work.....                                   | 21 |
| 4.1.7                              | Mean Efectif Pressure .....                 | 21 |
| 4.2                                | Perhitungan Power.....                      | 22 |
| 4.3                                | Pemodelan dan Validasi .....                | 25 |
| 4.4                                | Persentase Error.....                       | 34 |
| 4.5                                | Simulasi Menggunakan Ansys Forte .....      | 35 |
| 4.6                                | Analisa data dari hasil iterasi Forte ..... | 36 |
| 4.6.1                              | Pressure .....                              | 37 |
| 4.6.2                              | Temperature .....                           | 38 |
| 4.6.3                              | Heat Transfer Flux .....                    | 45 |
| 4.6.4                              | Velocity of fluids.....                     | 48 |
| BAB V : Kesimpulan dan Saran ..... | 55  |    |
| 5.1                                | Kesimpulan.....                             | 55 |
| 5.2                                | Saran .....                                 | 55 |
| DAFTAR PUSTAKA .....               | 57  |    |
| Lampiran .....                     | 59  |    |
| BIODATA PENULIS .....              | 73  |    |

## DAFTAR GAMBAR

|   |    |
|---|----|
| Gambar 2.1. Jarak Pemasaran Natural Gas .....   | 3  |
| Gambar 2.2. Karakteristik Bahan Bakar untuk Kapal .....   | 4  |
| Gambar 2.3. Langkah kerja pada Diesel mode .....  | 6  |
| Gambar 2.4. Langkah kerja pada DF mode .....  | 6  |
| Gambar 2.5. (kiri) High Pressure direct injection system, (kanan) hot surface assisted Compression Ignition. (Wei, 2016)..... | 7  |
| Gambar 3.1 Flow Chart.....  | 9  |
| Gambar 3.2 Yanmar TF 85 MH .....  | 11 |
| Gambar 3.3 Beberapa alat ukur yang digunakan .....  | 11 |
| Gambar 3.4 Cylinder Head .....  | 12 |
| Gambar 3.5 cylinder head .....  | 12 |
| Gambar 3.6 intake & exhaust valve .....   | 13 |
| Gambar 3.7 pengukuran pada valve .....  | 13 |
| Gambar 3.8 exhaust port & intake port .....   | 13 |
| Gambar 3.9 Front view Model untuk validasi data .....   | 15 |
| Gambar 3.10 Isometric view Model untuk validasi data .....  | 16 |
| Gambar 3.11 Isometric view Model untuk simulasi .....   | 16 |
| Gambar 3.12 Isometric view Model untuk simulasi .....   | 17 |
| Gambar 3.13 Contoh simulasi menggunakan Solidworks untuk validasi .....   | 17 |
| Gambar 3.14 Contoh simulasi menggunakan software Ansys .....  | 18 |
| Gambar 4.1 Tabel Thermodynamic Properties of Air.....   | 20 |
| Gambar 4.2. Intake valve sebagai acuan pengambilan sample kecepatan. ....   | 26 |
| Gambar 4.3. Point parameter kecepatan pada intake valve pada rpm 1500. ....   | 26 |
| Gambar 4.4. Gas speed pada Rpm 1500 .....   | 27 |
| Gambar 4.5. Gas speed pada Rpm 1600 .....   | 27 |
| Gambar 4.6. Gas speed pada Rpm 1700 .....   | 28 |
| Gambar 4.7. Gas speed pada Rpm 1800 .....   | 29 |
| Gambar 4.8. Gas speed pada Rpm 1900 .....   | 30 |
| Gambar 4.9. Gas speed pada Rpm 2000 .....   | 31 |
| Gambar 4.10. Gas speed pada Rpm 2100 .....  | 32 |
| Gambar 4.11. Gas speed pada Rpm 2200 .....  | 33 |
| Gambar 4.12 Kontur temperatur TDC dengan variasi campuran bahan bakar. ....   | 41 |
| Gambar 4.13 Kontur temperatur $1^0$ ATDC dengan variasi campuran bahan bakar. ....  | 41 |
| Gambar 4.14 Kontur temperatur $2^0$ ATDC dengan variasi campuran bahan bakar. ....  | 42 |
| Gambar 4.15 Kontur temperatur $3^0$ ATDC dengan variasi campuran bahan bakar. ....  | 42 |
| Gambar 4.16 Kontur temperatur $4^0$ ATDC dengan variasi campuran bahan bakar. ....  | 43 |
| Gambar 4.17 Kontur temperatur $5^0$ ATDC dengan variasi campuran bahan bakar. ....  | 43 |
| Gambar 4.18 Kontur temperatur $10^0$ ATDC dengan variasi campuran bahan bakar. ....   | 44 |
| Gambar 4.19 Kontur temperatur $15^0$ ATDC dengan variasi campuran bahan bakar. ....   | 44 |
| Gambar 4.20 Vektor Velocity TDC dengan variasi campuran bahan bakar. ....   | 49 |
| Gambar 4.21 Vektor Velocity $1^0$ ATDC dengan variasi campuran bahan bakar. ....  | 49 |
| Gambar 4.22 Vektor Velocity $2^0$ ATDC dengan variasi campuran bahan bakar. ....  | 50 |
| Gambar 4.23 Vektor Velocity $3^0$ ATDC dengan variasi campuran bahan bakar. ....  | 50 |
| Gambar 4.24 Vektor Velocity $4^0$ ATDC dengan variasi campuran bahan bakar. ....  | 51 |
| Gambar 4.25 Vektor Velocity $5^0$ ATDC dengan variasi campuran bahan bakar. ....  | 51 |
| Gambar 4.26 Vektor Velocity $10^0$ ATDC dengan variasi campuran bahan bakar. ....   | 52 |

*“Halaman ini sengaja dikosongkan”*

## DAFTAR GRAFIK

|  |    |
|--|----|
| Grafik 4.1 Gass speed vs Engine Rpm.....   | 24 |
| Grafik 4.2 BMEP vs Engine Rpm.....   | 25 |
| Grafik 4.3 BSFC vs Engine Rpm.....   | 25 |
| Grafik 4.4 Validasi Gas speed pada Engine dan Model .....                                    | 34 |
| Grafik 4.5 Hubungan pressure dengan variasi CNG-DO .....                                     | 38 |
| Grafik 4.6 Hubungan pressure dengan variasi CNG-DO pada TDC. ....                            | 38 |
| Grafik 4.7 Hubungan temperatur dengan variasi campuran CNG-DO. ....                          | 40 |
| Grafik 4.8 Hubungan temperatur dengan variasi campuran CNG-DO. ....                          | 40 |
| Grafik 4.9 Grafik hubungan antara heat transfer flux of liner degan variasi CNG-DO pada TDC. | 46 |
| .....  |    |
| Grafik 4.10 Hubungan antara heat transfer flux of head degan variasi CNG-DO pada TDC .....   | 47 |
| Grafik 4.11 Hubungan antara heat transfer flux of piston dengan variasi CNG-DO pada TDC ..   | 48 |
| Grafik 4.12 Hubungan antara velocity di ruang bakar dengan variasi CNG-DO .....              | 53 |
| Grafik 4.13 Hubungan antara velocity di ruang bakar dengan variasi bahan bakar pada TDC....  | 53 |

*“Halaman ini sengaja dikosongkan”*

**DAFTAR TABEL**

|  |    |
|--|----|
| Tabel 4.1 Hasil interpolasi dari table A-1 .....                           | 20 |
| Tabel 4.2 Kalkulasi gass speed .....                                       | 23 |
| Tabel 4.3 Kalkulasi BHP dan BSFC .....                                     | 24 |
| Tabel 4.4 Validasi gas speed pada engine dan model .....                   | 34 |
| Table 4.5 % error pada setiap Rpm.....                                     | 35 |
| Tabel 4.6 Variasi komposisi CNG-DO .....                                   | 36 |
| Tabel 4.7 Tabel berat campuran CNG-DO pada beberapa variasi.....           | 36 |
| Tabel 4.8 Tabel pressure pada variasi CNG-diesel oil .....                 | 37 |
| Tabel 4.9 Tabel temperature pada variasi CNG-diesel oil .....              | 39 |
| Tabel 4.10 tabel heat transfer flux of liner pada variasi CNG di TDC.....  | 45 |
| Tabel 4.11 tabel heat transfer flux of head pada variasi CNG di TDC .....  | 46 |
| Tabel 4.12 Tabel heat transfer flux of piston pada variasi CNG di TDC..... | 47 |
| Tabel 4.13 Velocity di ruang bakar pada berbagai variasi CNG.....          | 53 |

*“Halaman ini sengaja dikosongkan”*

## BAB I

### PENDAHULUAN

#### 1.1 Latar Belakang

Motor diesel dikenal sebagai jenis motor bakar yang mempunyai efisiensi tinggi, sehingga motor diesel banyak digunakan sebagai penggerak utama maupun stasioner. Selain mempunyai efisiensi yang tinggi, mesin diesel juga mempunyai torsi yang lebih besar dibandingkan mesin bensin sehingga mesin diesel banyak digunakan untuk angkutan berat, kapal, traktor, bulldozer, generator listrik, dan lain-lain. Namun selain mempunyai keunggulan yang dimiliki, mesin diesel juga mempunyai masalah khusus dengan pencemaran lingkungan, yaitu asap hasil pembakaran atau jelaga dan gas buang khususnya *Nitrogen Oxide* (Nox).

Emisi gas buang pada motor bakar baik bensin maupun diesel mengandung polutan berbahaya yang dapat mengganggu bahkan merusak lingkungan dan kelangsungan hidup dari makhluk hidup. Gas berbahaya atau polutan tersebut dapat berupa karbon monoksida, sulfur, hidrokarbon, nitrogen oksid, timah hitam, dan lainnya. Maka dari itu diperlukan usaha untuk mengurangi pencemaran yang diakibatkan oleh emisi gas buang dengan mengoptimalkan pembakaran di dalam ruang bakar.

*Natural gas* merupakan bahan bakar alternatif selain bensin dan solar yang dianggap bersih dan diharapkan menghasilkan emisi yang rendah serta ramah lingkungan. Jenis *natural gas* yang dimanfaatkan sebagai bahan bakar yaitu *compressed natural gas* (CNG) atau di Indonesia biasa disebut dengan bahan bakar gas (BBG). Komposisi utama CNG adalah metana ( $\text{CH}_4$ ). CNG dibuat dengan melakukan kompresi metana ( $\text{CH}_4$ ) yang diekstrak dari *natural gas* bertekanan 100 bar hingga 275 bar (Hanrahan, 2006) yang disimpan dan didistribusikan dalam *pressure vessel* atau bejana tekan yang biasanya berbentuk silinder. Saat disimpan, CNG berada dalam fase gas. Komposisi CNG sangatlah bervariasi sesuai dengan ladang gas dimana *natural gas* tersebut diambil.

Diperlukan perhatian khusus pada sistem pembakaran mesin diesel jika menggunakan CNG sebagai bahan bakar alternatif. Hal ini dilakukan karena adanya perbedaan karakteristik antara CNG dengan bahan bakar konvensional, contohnya solar. Untuk mengoptimalkan power dan pembakaran pada mesin diesel *dual fuel*, komposisi bahan bakar yang dicampurkan juga perlu diperhatikan. Mesin yang digunakan untuk analisa ini adalah mesin diesel modifikasi *dual fuel* berbahan bakar CNG dan *diesel oil* yaitu Yanmar TF 85 MH. Pada tugas akhir ini akan dilakukan simulasi dengan memanfaatkan *software CFD* yaitu SolidWorks untuk penggambaran *shape* dari mesin *dual fuel* dan Ansys untuk menggambarkan *flow* yang terjadi di ruang bakar untuk mengetahui pengaruh penggunaan bahan bakar CNG dengan variasi komposisi CNG-*diesel oil* terhadap proses *combustion*.

## **1.2 Perumusan Masalah**

Rumusan masalah yang akan dibahas dalam penelitian ini yaitu :

1. Bagaimana pemodelan *combustion flow* pada mesin diesel *dual fuel* (CNG-*diesel oil*)?
2. Bagaimana pengaruh penggunaan bahan bakar CNG dengan variasi komposisi CNG-*diesel oil* terhadap proses *combustion*?

## **1.3 Batasan Masalah**

Batasan masalah dibuat agar lingkup penelitian ini lebih fokus, yaitu :

1. Penelitian ini membahas mesin diesel *dual fuel* CNG – *diesel oil*.
2. Area yang dimodelkan hanya pada *combustion chamber*.
3. Pemodelan menggunakan *software CFD*.

## **1.4 Tujuan Penelitian**

Tujuan dari penelitian ini adalah sebagai berikut:

1. Mengetahui arah aliran pembakaran dengan berbagai variasi bahan bakar.
2. Mengetahui pengaruh *flow* terhadap *combustion chamber*.

## **1.5 Manfaat**

Manfaat yang diperoleh dari penelitian ini adalah sebagai berikut :

1. Memberikan analisis bentuk aliran untuk menghasilkan rekomendasi bentuk yang baru terhadap *engine*.

## BAB II

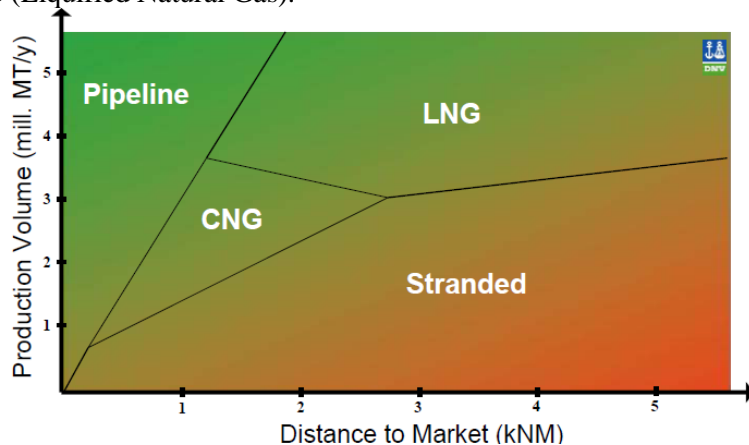
### TINJAUAN PUSTAKA

#### 2.1 Compressed Natural Gas

*Compressed Natural Gas (CNG)* adalah bahan bakar gas yang berasal dari gas alam (*natural gas*) yang dimampatkan atau dibuat dengan melakukan kompresi metana ( $\text{CH}_4$ ) yang diekstrak dari gas alam. CNG merupakan bahan bakar alternatif selain bensin dan solar (BBM) yang dianggap bersih dan diharapkan menghasilkan emisi yang rendah serta ramah lingkungan walaupun masih menghasilkan sedikit  $\text{CO}_2$  sebagai hasil dari pembakarannya. Jika dibandingkan dengan bensin ataupun solar, bahan bakar ini masih lebih ramah lingkungan.

CNG disimpan dan didistribusikan melalui kemasan berupa bejana tekan atau *pressure vessel*. Dalam pengoperasiannya, tekanan pada CNG sebesar 100 bar hingga 275 bar (Hanrahan, 2006). Oleh karena itu pendistribusian CNG tidak dapat dilakukan melalui jaringan pipa (*pipe line*). Tekanan yang digunakan pada *pipe line* gas yaitu sekitar 11 bar (Hanrahan, 2006).

Pendistribusian CNG efisien untuk jarak kurang lebih 2700 kNM. Jika lebih dari 2700 kNM, pengiriman gas alam lebih efisien menggunakan transportasi dalam bentuk LNG (Liquified Natural Gas).



Gambar 2.1. Jarak Pemasaran Natural Gas.

Sumber : <https://docplayer.net/7351374-Marine-transportation-of-compressed-natural-gas.html>

#### 2.2 Gas sebagai Bahan Bakar di Kapal

Ott (2013) mengemukakan bahwa penggunaan gas sebagai bahan bakar motor diesel sudah banyak diaplikasikan pada dunia industri dan transportasi darat. Menurut Ismail (2016), motor diesel gas (*diesel gas engine*) adalah unit motor yang dalam pengoperasiannya menggunakan gas secara langsung maupun dengan menggunakan teknologi converter. Menurut Akira (2014), penggunaan bahan bakar gas pada diesel *power plant* akan lebih ekonomis dibandingkan dengan penggunaan bahan bakar minyak. Teknologi *dual fuel Diesel Engine* telah banyak diaplikasikan pada berbagai tipe kapal (Douvartzides, 2017), mulai dari kapal pengangkut gas (*LNG carrier*) (Radwan, 2010) hingga kapal-kapal pengangkut ikan (Jafarzadeh, 2017).

Menurut Cheenkachorn (2013), bahan bakar gas yang diaplikasikan di kapal dapat berupa CNG (*Compressed Natural Gas*) maupun LNG (*Liquid Natural Gas*). Taritas (2017) mengemukakan bahwa gas dalam bentuk CNG dapat digunakan sebagai bahan bakar motor bakar dalam (*Internal Combustion Engine*) dengan tipe *Compression Ignition (CI)* maupun *Spark Ignition (SI)*. Karakteristik CNG yaitu bahan bakar gas tidak akan menyalai jika digunakan secara langsung pada mesin dengan tipe CI konvensional, atau biasa disebut dengan *high-autoignition temperature*. Maka dari itu dibutuhkan bahan bakar konvensional sebagai pilot untuk pembakaran pada mesin tipe CI.

Menurut Afon (2008), bahan bakar gas dalam bentuk LNG maupun CNG terbukti dapat menurunkan level emisi karena pada dasarnya LNG maupun CNG merupakan gas *methane* yang bersih dari kotoran. Oleh karena itu proses pembakaran yang terjadi pun juga bersih.

|   | KARAKTERISTIK             | BBM                              |                                 | BBG             |                 |
|---|---------------------------|----------------------------------|---------------------------------|-----------------|-----------------|
|   |                           | (HSD)                            | (MDO)                           | LNG             | CNG             |
| 1 | Chemical Formula          | C <sub>8</sub> ~ C <sub>25</sub> | C <sub>12</sub> H <sub>24</sub> | CH <sub>4</sub> | CH <sub>4</sub> |
| 2 | Liquid Density            | kg/m <sup>3</sup>                | 840                             | 880             | 426             |
| 3 | Gas Density at 25°C       | kg/m <sup>3</sup>                | -                               | -               | 0,656           |
| 4 | Specific Gravity (Air=1)  |                                  | 0,86 ~ 0,89                     |                 | 0,554           |
| 5 | Flash Point               | °C                               | 74                              | 64              | -187            |
| 6 | Auto Ignition Temperature | °C                               | 316                             | 220             | 540             |
| 7 | Limits of Flammability    | %                                | 0,6 ~ 6                         | 0,5 ~ 5         | 5,3 ~ 14        |
| 8 | Nilai Kalor (LHV)         | Kcal/kg                          | 10.277                          | 9800            | 11.950          |
| 9 | Nilai Kalor (HHV)         | Kcal/kg                          | 11.233                          | 10.075          | 13.272          |
|   |                           |                                  |                                 |                 | 12.482          |

Gambar 2.2. Karakteristik Bahan Bakar untuk Kapal.

### 2.3 Dual Fuel Diesel Engine

*Dual Fuel Diesel Engine* pada dasarnya sama dengan mesin diesel pada umumnya. Yang membedakan yaitu adanya *equipment* tambahan untuk *intake* gas yang berupa LNG maupun CNG yang biasanya terletak di saluran *intake* udara sebelum *intake valve*. Teknologi *dual fuel* ini sudah banyak diaplikasikan pada industri maupun transportasi darat yang perkembangannya lebih cepat dibandingkan dengan teknologi untuk pemanfaatan gas sebagai bahan bakar di kapal. Menurut Marques (2017), teknologi lain yang terbukti handal dan dapat bekerja dengan sempurna pada industri dan transportasi darat belum tentu layak untuk diaplikasikan di kapal. Penggunaan pada peralatan *marine use* menuntut peningkatan spesifikasi yang lebih khusus terkait pola operasi kapal, standar *safety* yang lebih ketat, serta *availability* yang tinggi karena kapal beroperasi pada daerah yang relatif jauh dari fasilitas perbaikan di darat.

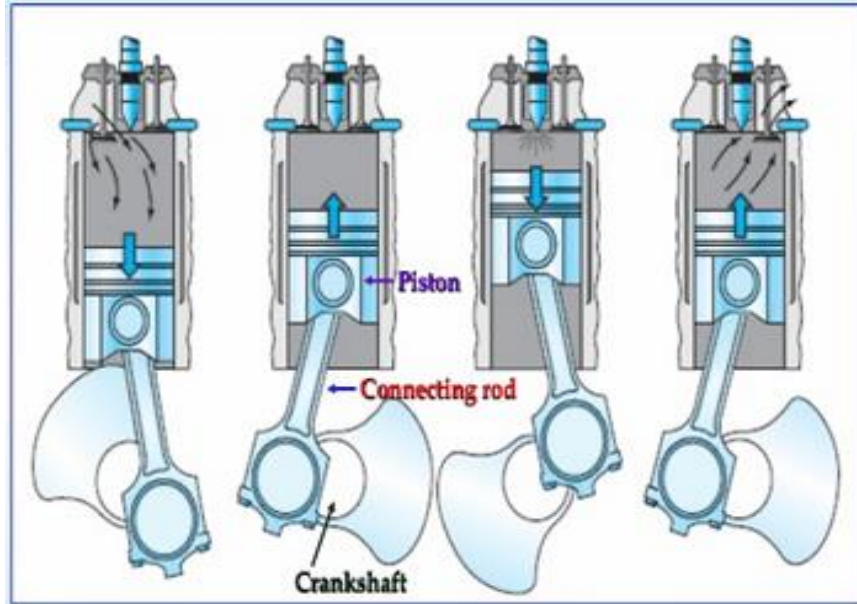
Menurut Theotokatos (2016), *engine* dengan DF mode dapat beroperasi dengan *Air-Fuel equivalence ratio* pada nilai 2,1 hingga 2,3 yang bisa dibilang hampir konstan. Nilai ini sedikit lebih tinggi dibandingkan dengan *AF equivalence ratio* pada Diesel mode dalam upaya untuk mendapatkan *flow rate* udara yang lebih tinggi. Percobaan Theotokatos menunjukkan penurunan emisi CO<sub>2</sub> hingga 25% dan emisi NO<sub>x</sub> hingga 85% pada DF mode.

Prinsip homogenisasi antara udara dan bahan bakar adalah prinsip kerja mesin otto. Selanjutnya gas dan udara telah homogen kemudian mengalami proses kompresi. Pada akhir proses kompresi, ketika gas dan udara memiliki tekanan dan suhu tertentu, bahan bakar diesel diinjeksikan ke dalam ruang bakar yang menghasilkan proses pembakaran. Inilah prinsip kerja mesin diesel pada umumnya (Semin, 2018).

Prinsip kerja pada *Dual Fuel Diesel Engine* ditunjukkan pada gambar 2.3. Langkah kerja pada Diesel mode dan gambar 2.4 Langkah kerja pada DF mode. Pada mode Diesel, langkah kerja *engine* seperti pada umumnya yaitu :

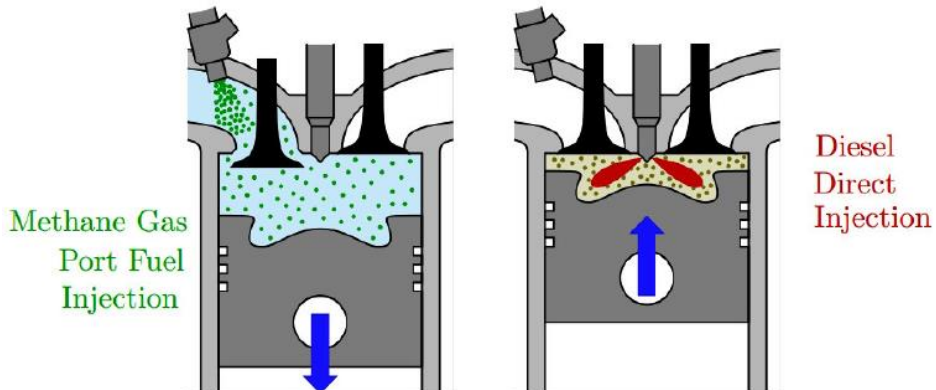
1. Langkah hisap  
Udara masuk melalui *intake valve* ketika piston bergerak dari TMA ke TMB dan konsidi *exhaust valve* tertutup.
2. Langkah kompresi  
Proses pemampatan udara oleh torak saat bergerak dari TMB keTMA. Kedua katup intake dan exhaust tertutup sehingga tekanan dan suhu udara di ruang bakar naik.
3. Langkah kerja  
Tahap penyemprotan bahan bakar beberapa derajat sebelum piston sampai pada TMA yang mengakibatkan terjadinya pembakaran sehingga piston bergerak mendorong dan bekerja dari TMA ke TMB.
4. Langkah buang  
Tahap pembuangan gas sisa pembakaran ketika piston bergerak dari TMB ke TMA. Hasil pembakaran dibuang melalui *exhaust valve* ketika piston bergerak dari TMB ke TMA, *exhaust valve* dalam kondisi terbuka dan *intake valve* dalam kondisi tertutup.

Sedangkan pada mode DF, prinsip kerjanya yaitu memasukkan gas metana (CNG) bersama dengan udara bersih pada saat *intake valve* terbuka atau langkah hisap. Pada saat posisi piston mendekati *TDC*, bahan bakar solar diinjeksikan ke dalam ruang bakar sehingga terjadi proses pembakaran. Dalam hal ini bahan bakar solar hanya digunakan sebagai penyala dari campuran gas dan udara yang terkompresi.



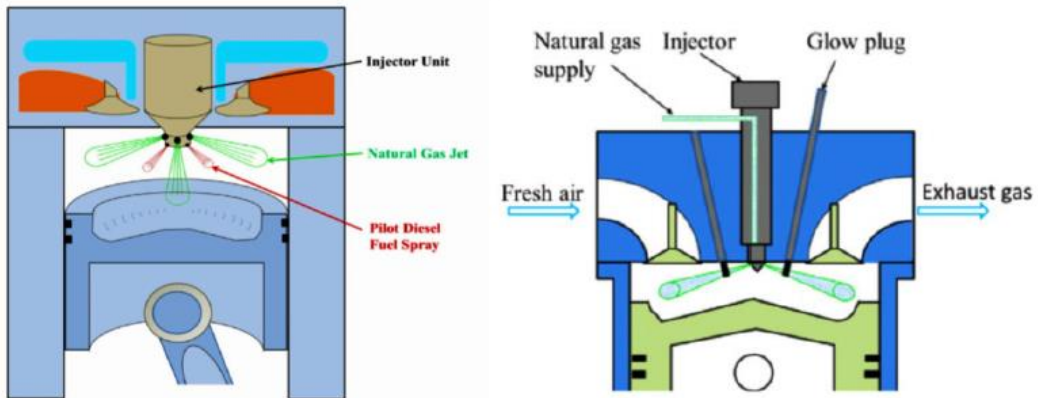
Gambar 2.3. Langkah kerja pada Diesel mode

Menurut Hutter (2017), gas metana pada bahan bakar gas berupa LNG maupun CNG tidak dapat dinyalakan secara langsung oleh tekanan di dalam silinder atau dengan kata lain gas metana membutuhkan temperatur yang tinggi untuk dapat terbakar dengan sendirinya (*auto ignition temperature*). Untuk penyalaanya digunakan bahan bakar minyak dengan jumlah sedikit yang diinjeksikan secara langsung ke ruang bakar sebagai *pilot burner*.



Gambar 2.4. Langkah kerja pada DF mode

Dari tipe mesin DF konvensional dapat dikembangkan menjadi beberapa model alternatif sebagai berikut :



Gambar 2.5. (kiri) High Pressure direct injection system, (kanan) hot surface assisted Compression Ignition. (Wei, 2016)

#### 2.4 Pemodelan CFD (Computational Fluid Dynamic)

Perkembangan teknologi komputer mulai dari produk-produk softwarenya sangat menunjang bidang keilmuan seperti FEM, FDM, dan CFD (*Computational Fluid Dynamics*) menjadikan analisa untuk aliran pada *combustion chamber* menjadi sangat akurat. Software untuk mendukung proses analisa pun juga bermacam-macam sesuai untuk kebutuhan analisa. Dalam penelitian ini akan digunakan *software* SOLIDWORKS dan ANSYS untuk menunjang proses analisa.

Pemodelan CFD merupakan analisa yang dilakukan terhadap laju fluida baik berupa gas maupun berupa *liquid* (bahan bakar) ketika terjadi proses *combustion* pada ruang bakar (Bawankar, 2016). Tujuan dari analisa ini adalah untuk mengetahui arah fluida-fluida sebelum dan setelah terjadi pembakaran. Dalam penelitian ini juga dikombinasikan antara jumlah bahan bakar gas dan bahan bakar minyak. Selanjutnya dilakukan pemodelan terhadap pengaruh fluida di ruang bakar.

Pada dasarnya pemodelan CFD menggunakan persamaan dasar dinamika fluida, momentum, dan energi. Persamaan-persamaan ini merupakan pernyataan matematis untuk tiga prinsip dasar fisika :

- a. Hukum kekekalan massa (*Equation of continuity*)

$$\frac{\partial}{\partial t} \rho(x, t) + \frac{\partial}{\partial x_i} (\rho(x, t) v_i(x, t)) = 0$$

- b. Hukum Kekekalan Momentum (*Newton's Second Law of Motion*)

$$\rho \left( \frac{\partial}{\partial t} + v_j \frac{\partial}{\partial x_j} \right) v_i - \frac{\partial}{\partial x_j} \left( \tau_{ij} \left[ \frac{\partial v_k}{\partial x_l} \right] \right) = - \frac{\partial p}{\partial x_i} + f_i$$

- c. Hukum kekekalan Energi (*1<sup>st</sup> Law of Thermodynamics*)

$$\begin{aligned} \rho \left( \frac{\partial}{\partial t} + u_f \frac{\partial}{\partial x_i} \right) u - \frac{\partial}{\partial x_i} \left( \lambda \frac{\partial T}{\partial x_i} + p D_{(k)} \sum_{(k)} h_{(k)} \frac{\partial c_{(k)}}{\partial x_i} \right) = \\ - p \frac{\partial v_i}{\partial x_i} + \tau_{ij} \frac{\partial v_i}{\partial x_j} \end{aligned}$$

Pada CFD terdiri dari tiga unsur utama yaitu :

- a. Pre Processor  
Terdiri dari definisi daerah geometri yang dianalisa, pengembangan grid, pemilihan fenomena fisik yang diperlukan dan spesifikasi dari kondisi batas yang sesuai.
- b. Solver  
Melibatkan aproksimasi dari variabel fluida yang tidak diketahui dengan bantuan fungsi sederhana , diskertisasi dari aproksimasi kedalam persamaan atur aliran dan manipulasi matematis serta solusi dari persamaan aljabar.
- c. Post Processor  
Termasuk geometri dan grid display, pengeplotan vektor, garis dan plot kontour bayangan, plot permukaan 3 dimensi.

## 2.5 Solid Works

*SolidWorks* merupakan software program mekanikal 3D CAD yang berjalan pada microsoft windows dan di dirikan oleh Dassault Systemes. Software ini memiliki "parametrik" modelling yang solid yang diperuntukan untuk pemodelan desain 3-D. Parametrik sendiri itu berarti bahwa dimensi dapat memiliki hubungan antara satu dengan yang lainnya dan dapat diubah pada saat proses desain dan secara otomatis mengubah part solid dan dokumentasi terkait (blueprint).

File SolidWorks menggunakan penyimpanan file format microsoft yang terstruktur, yang berarti bahwa ada berbagai file tertanam dalam setiap SLDDRW (file gambar), SLDPRT (part file), SLDASM (file assembly), dengan bitmap preview dan metadata sub-file. Berbagai macam tools dapat digunakan untuk mengekstrak sub-file, meskipun sub-file dalam banyak kasus menggunakan format file biner. SolidWorks adalah parasolid yang berbasis solid modelling, dan menggunakan pendekatan berbasis fitur-parametrik untuk membuat model dan assembly atau perakitan. Parameter mengacu pada pembatasan yang bernilai menentukan bentuk atau geometri dari model.

Parameter menggambar dapat berupa numerik, seperti panjang garis atau diameter lingkaran, atau geometris, seperti tangen, paralel, konsentris, horizontal atau vertikal. Parameter numerik dapat dikaitkan dengan satu sama lain melalui penggunaan hubungan, yang memungkinkan mereka untuk menangkap maksud dari desain yang dibuat.

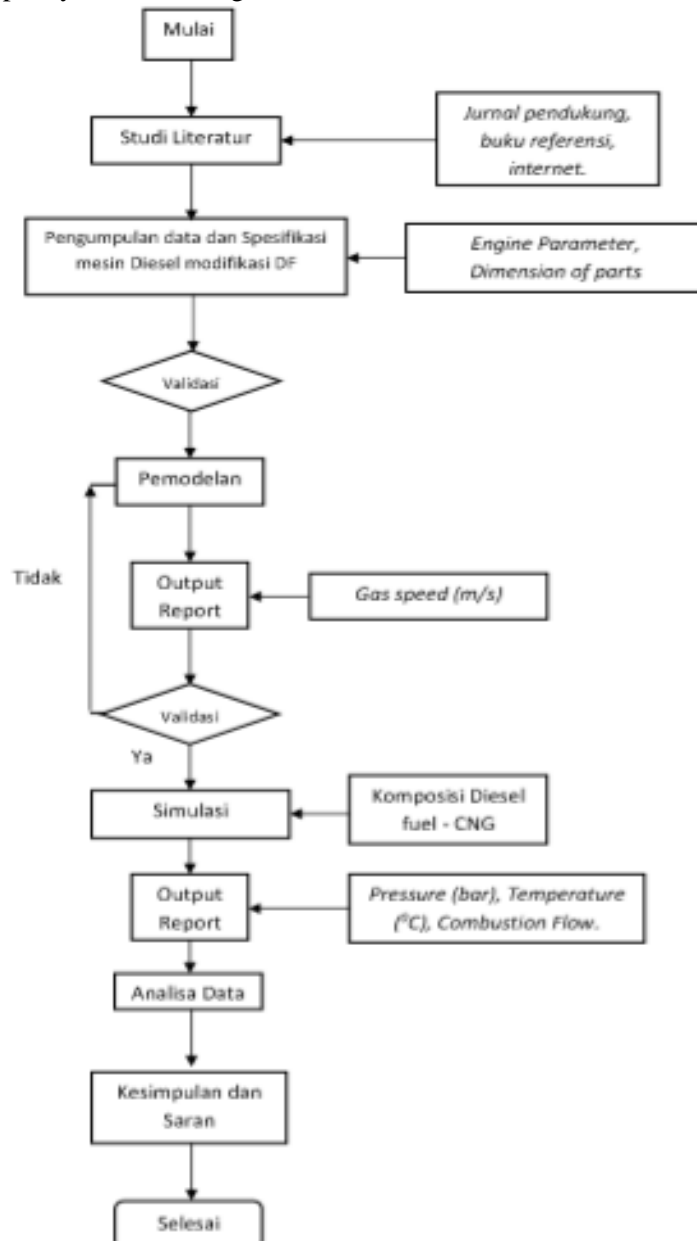
## 2.6 Ansys

Ansys merupakan *software* berbasis FEA (*Finite Element Analysis*). Penggunaan Ansys mencakup simulasi struktur, panas, CFD atau dinamika fluida, akustik, dan elektromagnetik. Ansys merupakan *Computer Aided Engineering (CAE)* yang dikembangkan oleh ANSYS, Inc. Dalam tugas akhir ini Ansys digunakan untuk simulasi CFD dengan menggunakan solver FORTE.

### BAB III

## METODOLOGI PENELITIAN

Dalam pembuatan skripsi ini, tentu saja memerlukan proses yang harus terstruktur. Hal tersebut haruslah ada, agar kedepannya dalam penggerjaan akan terasa lebih terarah dan lebih mudah. Dalam metodologi penelitian ini, akan diuraikan tahap demi tahap yang akan dilakukan dalam penggerjaan skripsi ini nantinya. Adapun tahapan-tahapannya adalah sebagai berikut :



Gambar 3.1 Flow Chart

### **3.1 Perumusan Masalah**

Perumusan masalah merupakan tahap awal dalam pelaksanaan skripsi. Tahap ini merupakan tahap yang sangat penting, dimana pada tahap inilah mengapa suatu permasalahan yang ada harus dipecahkan sehingga layak untuk dijadikan bahan dalam skripsi. Pencarian masalah dilakukan dengan cara menggali informasi mengenai masalah yang terjadi pada saat ini. Dari tahap ini juga, tujuan mengapa skripsi ini dikerjakan dapat diketahui. Dalam skripsi ini, masalah yang akan dibahas mengenai “Simulasi CFD untuk Mengetahui Pengaruh *Combustion Flow* pada Mesin Diesel *Dual Fuel*”.

### **3.2 Studi Literatur**

Setelah suatu permasalahan sudah diketahui, maka selanjutnya adalah studi literatur. Dimana yang harus dilakukan pada tahap ini, adalah mencari referensi permasalahan-permasalahan yang ada berikut solusinya dan juga mempelajari kedua hal tersebut untuk diimplementasikan pada skripsi ini, sehingga jelas apa saja yang harus dilakukan agar permasalahan tersebut dapat terpecahkan. Studi literatur dapat dilakukan dengan cara membawa paper atau jurnal yang berhubungan dengan permasalahan yang akan dipecahkan.

### **3.3 Pengumpulan Data**

Selanjutnya adalah pengumpulan data yang bertujuan memperoleh data dan informasi yang menunjang penggeraan skripsi, mulai dari persiapan spesimen, data tertulis dari mesin, alau ukur dan aplikasi untuk penggambaran.

#### a. Mempersiapkan Spesimen

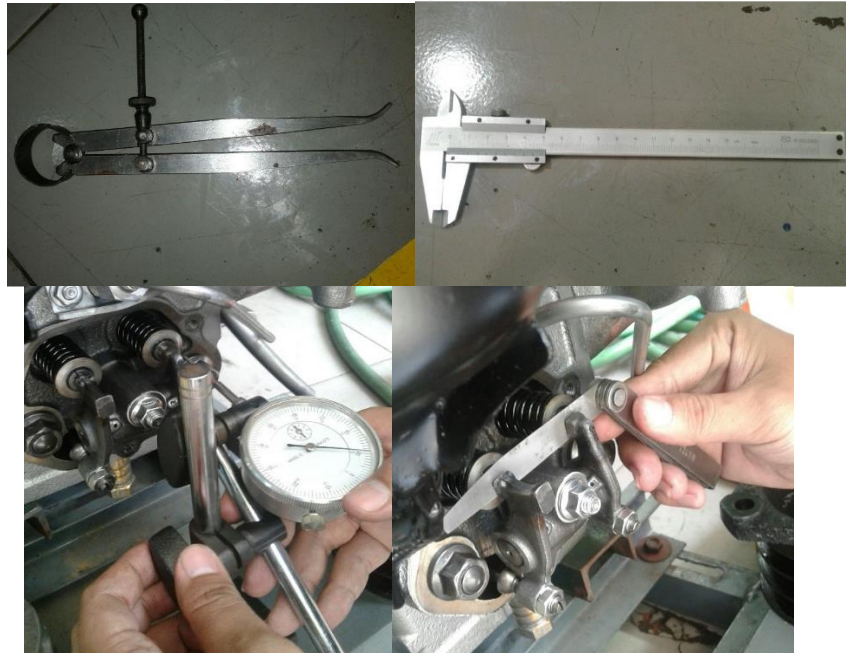
Mesin yang digunakan dalam penelitian ini adalah Yanmar TF 85 MH yang merupakan mesin diesel *single* silinder dengan tipe pendinginan *hopper*. Komponen yang digunakan sebagai acuan dalam penelitian ini yaitu *cylinder liner* mulai dari ukuran *bore x stroke*, geometri saluran *intake* dan *exhaust*, dimensi *intake valve* dan *exhaust valve*, geometri *piston crown*, serta posisi penginjeksian gas CNG. Pengambilan data ini juga mengacu pada Buku Pedoman Reparasi (BPR) mesin sehingga dalam proses pemodelan dan simulasi mendekati kondisi riil.



Gambar 3.2 Yanmar TF 85 MH

b. Pengukuran spesimen

Dalam proses pengukuran yang akan digunakan sebagai acuan untuk proses pemodelan dilakukan menggunakan *vernier caliper* atau jangka sorong, *spring kaliper*, *dial gauge*, *filler gauge*. *Vernier caliper* digunakan untuk mengukur diameter dalam, diameter luar, dan kedalaman. *Spring caliper* untuk mengukur radius dari bentuk *intake* dan *exhaust port*. *Protractor* digunakan untuk pengukuran sudut-sudut pada *valve* dan geometri dari *intake port* dan *exhaust port*.



Gambar 3.3 Beberapa alat ukur yang digunakan



Gambar 3.4 Cylinder Head



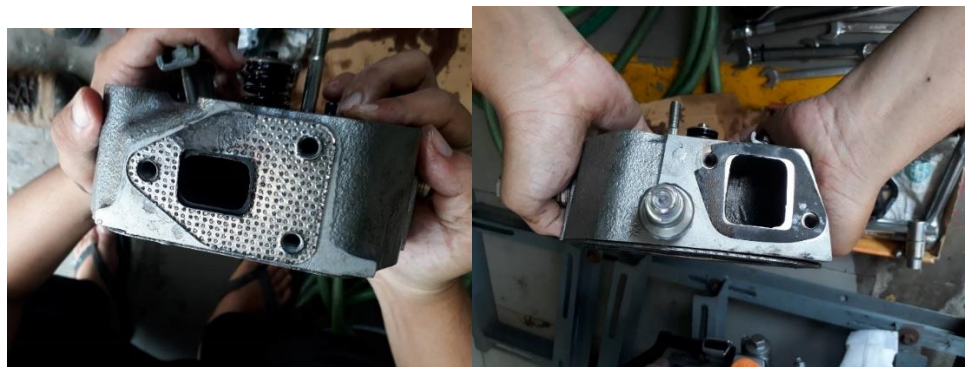
Gambar 3.5 cylinder head



Gambar 3.6 intake & exhaust valve



Gambar 3.7 pengukuran pada valve



Gambar 3.8 exhaust port & intake port

c. Perhitungan *Pressure* dan *Temperature*

Dalam kondisi nyata, mesin diesel menghasilkan pembakaran ketika langkah ekspansi (meningkatnya *pressure*). Pada langkah ini juga terjadi kenaikan *temperature* hingga mencapai suhu paling tinggi dalam satu siklus mesin diesel. Dengan mengetahui spesifikasi dari mesin, perbandingan kompresi dan tipe bahan bakar, maka dapat dicari *pressure* dan *temperature* tertinggi sehingga mendapatkan pembakaran yang optimal. Berikut adalah perhitungan yang digunakan sebagai acuan untuk input dapa pada proses percobaan yang menngacu kepada buku “*Fundamental of Internal Combustion Engine*” :

1. *Langkah hisap*

$$W_{6-1} = P_0 (v_1 - v_6)$$

2. *Langkah Kompresi*

$$\begin{aligned} T_2 &= T_1(v_1/v_2)^{k-1} = T_1(V_1/V_2)^k = P_1(r_c)^k \\ P_2 &= P_1(v_1/v_2)^k = P_1(V_1/V_2)^K = P_1(r_c)^k \\ V_2 &= V_{TDC} \\ Q_{1-2} &= 0 \\ W_{1-2} &= (P_2v_2 - P_1v_1)/(1-k) = R(T_2 - T_1)/(1-k) \\ &= (u_1 - u_2) = c_v(T_1 - T_2) \end{aligned}$$

3. Pemasukan Bahan Bakar

$$\begin{aligned} Q_{2-3} = Q_{in} &= m_f Q_{HV} \eta_c = m_m c_p (T_3 - T_2) = (m_a + m_f) c_p (T_3 - T_2) \\ Q_{HV} \eta_c &= (AF + 1) c_p (T_3 - T_2) \\ q_{2-3} &= q_{in} = c_p (T_3 - T_2) = (h_3 - h_2) \\ W_{2-3} &= q_{2-3} - (u_3 - u_2) = P_2(v_3 - v_2) \\ T_3 &= T_{max} \end{aligned}$$

4. Langkah Ekspansi

$$\begin{aligned} Q_{3-4} &= 0 \\ T_4 &= T_3(v_3/v_4)^{k-1} = T_3(V_3/V_4)^{k-1} \\ P_4 &= P_3(v_3/v_3)^k = P_3(V_3/V_4)^k \\ W_{3-4} &= (P_4v_4 - P_3v_3)/(1-k) = R(T_4 - T_3)/(1-k) \\ &= (u_3 - u_4) = c_v(T_3 - T_4) \end{aligned}$$

5. Langkah Buang

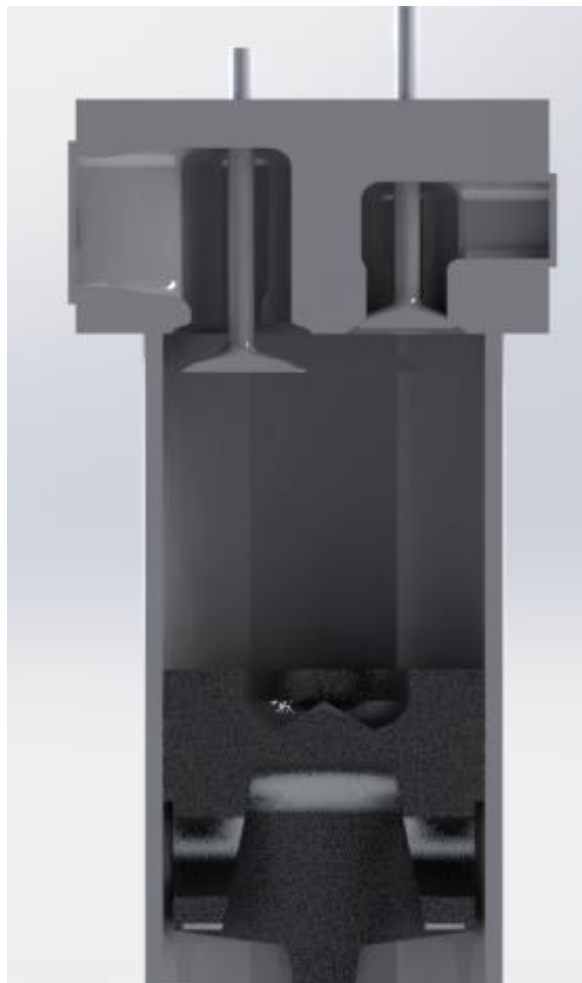
$$\begin{aligned} v_5 &= v_4 = v_1 = v_{BDC} \\ w_{4-5} &= 0 \\ Q_{4-5} = Q_{out} &= m_v c_v (T_5 - T_4) = m_m c_v (T_1 - T_4) \end{aligned}$$

### 3.4 Pemodelan

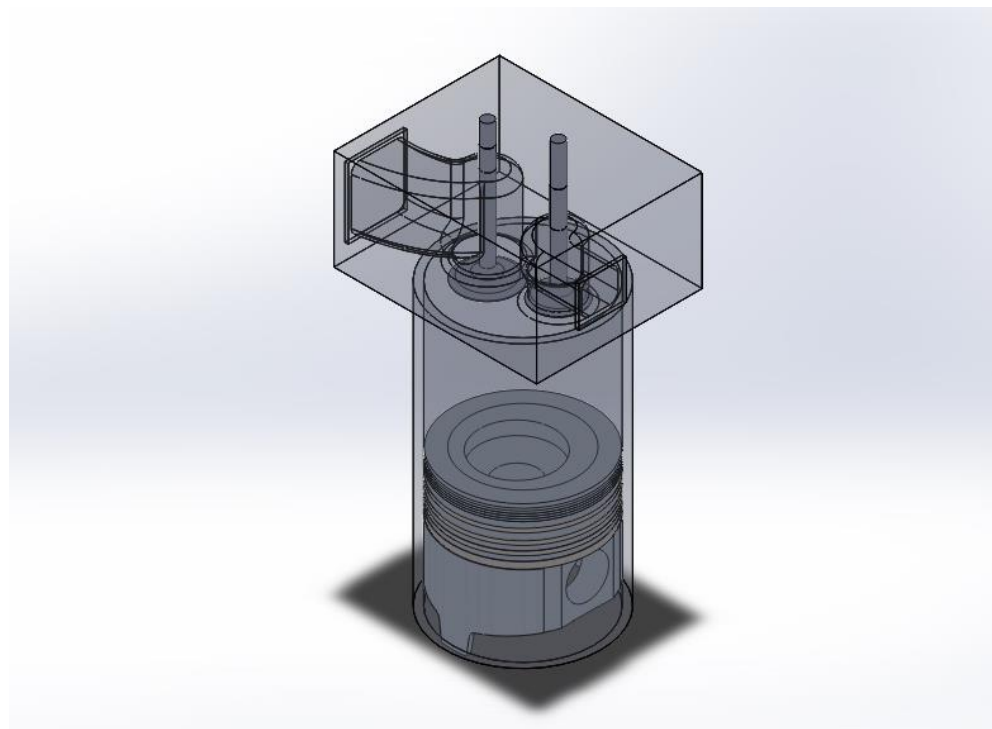
Pemodelan dilakukan menggunakan software SolidWork dan Ansys berdasarkan parameter yang telah tersedia dan selanjutnya dilakukan analisa berupa *flow* komposisi Diesel Fuel-CNG yang bervariasi.

a. Pemodelan Komponen

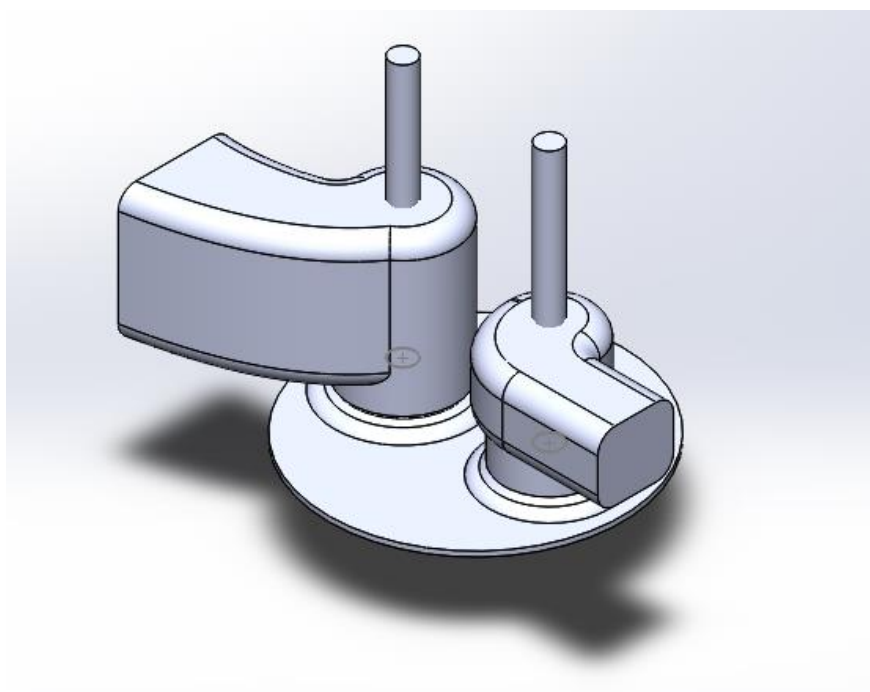
Pemodelan dari spesimen dilakukan menggunakan software Solidworks.



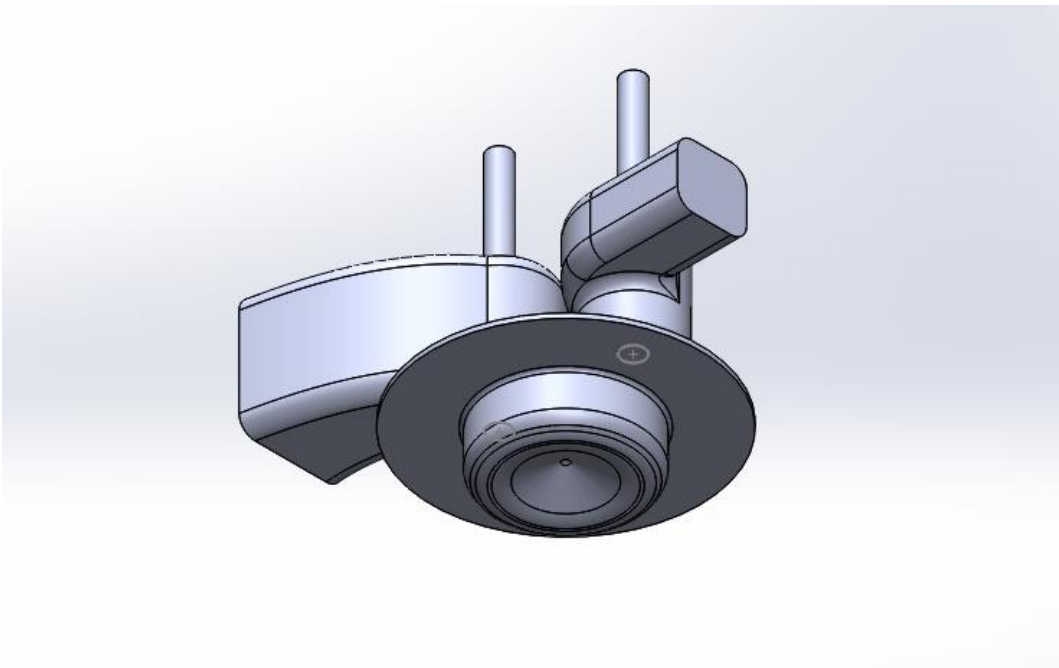
Gambar 3.9 Front view Model untuk validasi data



Gambar 3.10 Isometric view Model untuk validasi data

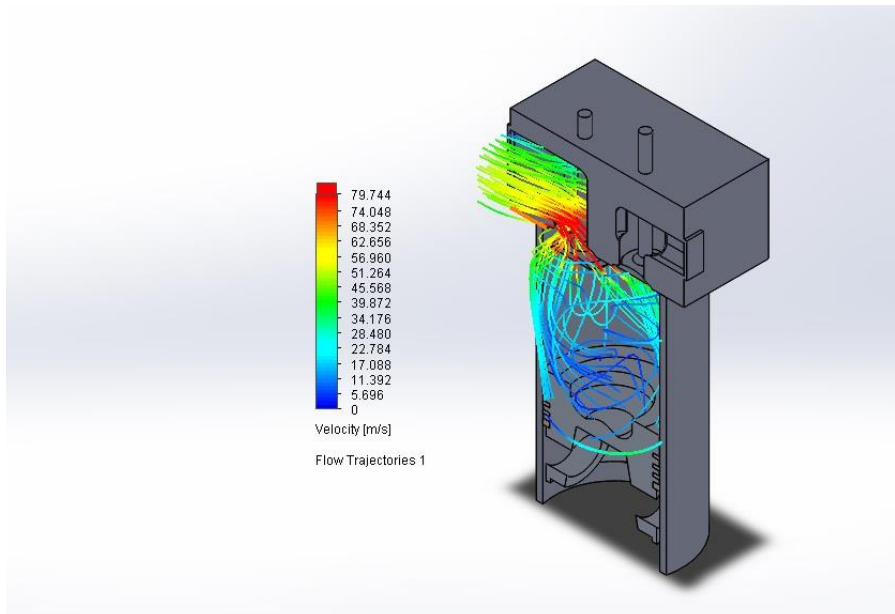


Gambar 3.11 Isometric view Model untuk simulasi

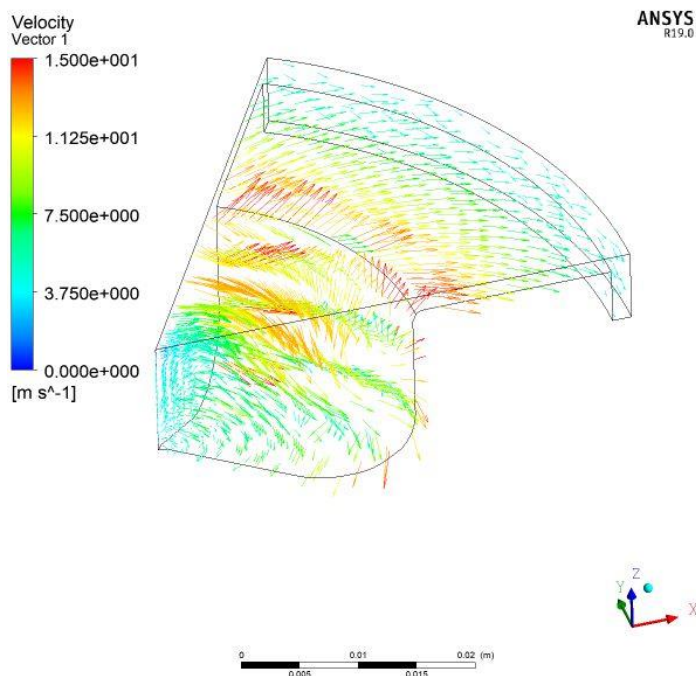


Gambar 3.12 Isometric view Model untuk simulasi

b. Simulasi



Gambar 3.13 Contoh simulasi menggunakan Solidworks untuk validasi



Gambar 3.14 Contoh simulasi menggunakan software Ansys

### 3.5 Output Report

Output report merupakan hasil dari analisa berbagai variasi Diesel fuel-CNG yang telah disimulasikan yang berupa *flow* dari fluida ketika proses pembakaran serta parameter lainnya.

### 3.6 Validasi

Validasi merupakan langkah untuk memastikan bahwa data yang diambil sudah sesuai parameter yang diujikan.

### 3.7 Analisa Data

Analisa data bertujuan untuk menganalisa data yang telah diolah sehingga layak untuk disajikan.

### 3.8 Kesimpulan dan Saran

Kesimpulan dan saran diambil berdasarkan proses pengujian yang telah dilakukan dan dijelaskan inti dari penelitian ini.

## BAB IV

### ANALISA DAN PEMBAHASAN

#### **4.1 Perhitungan Termodinamika**

Perhitungan termodinamika bertujuan sebagai acuan untuk menentukan berapa *pressure* dan *temperature* maksimal dari campuran bahan bakar dan udara sehingga dapat terjadi pembakaran yang optimal. Pressure dan temperature yang optimal tersebut digunakan sebagai acuan dalam simulasi untuk menentukan kombinasi bahan bakar yang sesuai.

##### **4.1.1 Spesifikasi Mesin**

Mesin yang digunakan dalam penelitian ini yaitu Yanmar TF 85 MH dengan pendingin tipe Hopper. Berikut adalah data utama mesin untuk perhitungan termodinamika :

|                      |  |
|----------------------|--|
| Bore                 | = 85 mm  |
| Stroke               | = 87 mm  |
| CR                   | = 18 : 1   |
| VL                   | $= \frac{Bore^2 \times Stroke \times 0,785}{1000} = 493,431374 \text{ cc}$ |
| VC                   | $= \frac{VL}{CR-1} = 29,05375 \text{ cc}$                                  |
| Timing Injection     | = 18 BTDC  |
| T in                 | = 60 °C  |
| P in                 | = 0,98 atm   |
| Eksponen polytropsis | = 1,35   |
| Residual Air Process | = 2,78%  |
| AFR                  | = 18 : 1   |
| Fuel Energy (Solar)  | = 42500 kJ/Kg  |

##### **4.1.2 State 1 (Intake Stroke)**

Kondisi ketika mesin melakukan langkah intake :

$$T_1 = 60^\circ C + 273,15 = 333,15 K$$

$$P_1 = 0,98 \text{ atm} \times 101,325 = 99,2985 \text{ kPa}$$

$$V_1 = \frac{(493,431375 + 29,05375)}{100000} = 0,00522457 \text{ m}^3$$

Massa dari campuran udara dan bahan bakar :

$$Mm = \frac{P_1 V_1}{R T_1} = 0,00542589 \text{ kg}$$

Massa Fuel yang diinjeksikan

$$mf = mm \times (100\% - 2,78\%) \times \left( \frac{1}{AFR + 1} \right)$$

$$= 0,00028 \text{ kg}$$

#### 4.1.3 State 2 (Compression)

Kondisi ketika mesin melakukan langkah kompresi :

$$P_2 = P_1(CR)^k = 4915,4193 \text{ kPa}$$

$$T_2 = T_1(CR)^{k-1} = 916,1892 \text{ K} = 643,0309 {}^\circ\text{C}$$

$V_2 = mRT_2/P_2 = 0,00029025 \text{ m}^3$  (sama dengan VC, karena pada saat kondisi top kompresi.

$$Q_{in} = mf \cdot Qhv = 0,000308 \times 42500 = 11,799 \text{ kJ}$$

**TABLE A-1 THERMODYNAMIC PROPERTIES OF AIR**

| Temperature |      | $c_p$     | $c_v$     | $k = c_p/c_v$ | Gas Constant<br>$R = c_p - c_v$<br>(kJ/kg-K) |
|-------------|------|-----------|-----------|---------------|--|
| K           | °C   | (kJ/kg-K) | (kJ/kg-K) |               |  |
| 273         | 0    | 1.004     | 0.717     | 1.40          | 0.287  |
| 298         | 25   | 1.005     | 0.718     | 1.40          | 0.287  |
| 300         | 27   | 1.005     | 0.718     | 1.40          | 0.287  |
| 500         | 227  | 1.029     | 0.742     | 1.39          | 0.287  |
| 850         | 577  | 1.108     | 0.821     | 1.35          | 0.287  |
| 1000        | 727  | 1.140     | 0.853     | 1.34          | 0.287  |
| 1500        | 1227 | 1.210     | 0.923     | 1.31          | 0.287  |
| 2000        | 1727 | 1.249     | 0.962     | 1.30          | 0.287  |
| 2500        | 2227 | 1.274     | 0.987     | 1.29          | 0.287  |
| 3000        | 2727 | 1.291     | 1.004     | 1.29          | 0.287  |

Gambar 4.1 Tabel Thermodynamic Properties of Air

| Cv T2  |       | 916,19 |
|--------|-------|--------|
| Temp   | Cv    |        |
| 850    | 0,821 |        |
| 1000   | 0,852 |        |
| 915,15 | 0,835 |        |

Tabel 4.1 Hasil interpolasi dari table A-1

Mm.cv (T3-T2)

$$\begin{aligned} \text{Step 1} &= mm \times cv \\ &= 0,00542589 \times 0,835 = 000453 \text{ K} \end{aligned}$$

$$\begin{aligned} \text{Step 2} &= Q_{in}/T2 \\ &= \left( \frac{11,799}{916,189} \right) \times 1000 \\ &= 12,8788 \text{ K} \end{aligned}$$

$$\begin{aligned} \text{Step 3} &= \frac{\text{Step 2}}{\text{Step 1}} \\ &= 2842,21 \text{ K} \\ \text{T 3} &= 2569,06 {}^\circ\text{C} \end{aligned}$$

#### 4.1.4 State 3 (*expansion*)

Konsisi ketika mesin melakukan langkah usaha atau power :

$$\begin{aligned} P_3 &= P_2 = 4915,5193 \text{ kPa} \\ V_3 &= \frac{MRT_3}{P_3} = \frac{0,00542589 \times 0,287 \times 2842,21}{4915,5193} \\ V_3 &= 0,00080043 \text{ m}^3 \end{aligned}$$

#### 4.1.5 State 4 (*Exhaust*)

Konsisi ketika mesin melakukan langkah pembuangan sisa pembakaran :

$$\begin{aligned} V_4 &= V_1 = 0,00522457 \text{ m}^3 \\ T_4 &= T_3 \left(\frac{V_3}{V_4}\right)^{k-1} \\ T_4 &= 1536,01803 \text{ K} \\ T_4 &= 1262,86803^\circ\text{C} \\ P_4 &= P_3 \left(\frac{V_3}{V_4}\right)^k = 457,824662 \text{ kPa} \end{aligned}$$

Dari 4 langkah perhitungan, didapatkan *Pressure max.* dan *Temperature max.*, yaitu :

$$\begin{aligned} P_{\max} &= P_3 \times 0,00986923 \\ &= 4195,5193 \text{ kPa} \times 0,00986923 \\ &= 48,5114 \text{ Atm} \\ T_{\max} &= T_3 \\ &= 2569,0633^\circ\text{C} \end{aligned}$$

#### 4.1.6 Work

$$\begin{aligned} W_{2-3} &= P(V_3 - V_2) \\ &= 2,994 \text{ kJ} \end{aligned}$$

$$\begin{aligned} W_{3-4} &= \frac{mR(T_4 - T_3)}{1-k} \\ &= 5,811 \text{ kJ} \end{aligned}$$

$$\begin{aligned} W_{1-2} &= \frac{mR(T_2 - T_1)}{1-k} \\ &= -2,594 \text{ kJ} \end{aligned}$$

$$W_{\text{net}} = 6,216 \text{ kJ}$$

#### 4.1.7 Mean Efektif Pressure

$$\begin{aligned} \eta_{\text{t indicate}} &= W_{\text{net}} / Q_{\text{in}} \\ &= 6,226 / 11,799 \\ &= 53\% \end{aligned}$$

$$\begin{aligned}
\text{Cut Off Ratio} &= \left( \frac{V_3}{V_2} \right) \\
&= \left( \frac{0,00090043}{0,000290254} \right) \\
&= 3,1022 \\
\eta_t &= \eta = 1 - \frac{1}{r^{y-1}} \frac{(\beta^y - 1)}{y(\beta - 1)} \\
&= 94 \% \\
\text{T exhaust} &= T_{ex} = T_4 \left( \frac{P_{ex}}{P_4} \right)^{(k-1)/k} \\
&= 666,419 \text{ K} \\
&= 393,26 \text{ C} \\
\text{Exhaust Residual } X_r &= \left( \frac{1}{R_c} \right) \left( \frac{T_4}{T_{ex}} \right) \left( \frac{P_{ex}}{P_4} \right) \\
&= 2,78\% \\
\text{Suhu udara masuk } X_m &= 1 = (X_r T_{ex}) + (1 - X_r) T_a \\
&= 313,7 \text{ Kelvin} \\
&= 40,52 \text{ Celcius} \\
\text{Eficienci Volumetris} &= \eta_v = \frac{m_a}{\rho_a V_d} \\
&= 88\% \\
\text{Mean Efecitif Pressure} &= P_m = \frac{P_1 r^1 (\beta^y - 1)}{(y-1)(r-1)} \eta y (\beta - 1) \\
&= 21,697 \text{ atm}
\end{aligned}$$

## 4.2 Perhitungan Power

Dengan dasar nilai termodinamika mesin yang sudah didapat seperti nilai tekanan MEP, tekanan tertinggi dan temperatur kerja dapat dimasukan sebagai variabel menghitung power dan beberapa turunannya sebagai dasar validasi perhitungan kinerja *engine*.

$$N = a \left( \frac{\frac{\pi}{4} D^2 \times P_m \times L \times n \times Z}{100 \times 60 \times 75} \right)$$

|    |  |
|----|--|
| N  | = Tenaga   |
| D  | = Diameter Silinder                                  |
| Pm | = MEP (Mean Efecitif Pressure)                       |
| L  | = Langkah Piston                                     |
| n  | = Putaran motor per menit                            |
| Z  | = Jumlah Silinder                                    |
| a  | = Indikasi Putaran <i>crankshaft</i> (4 langkah = 2) |

### Bahan Bakar Solar

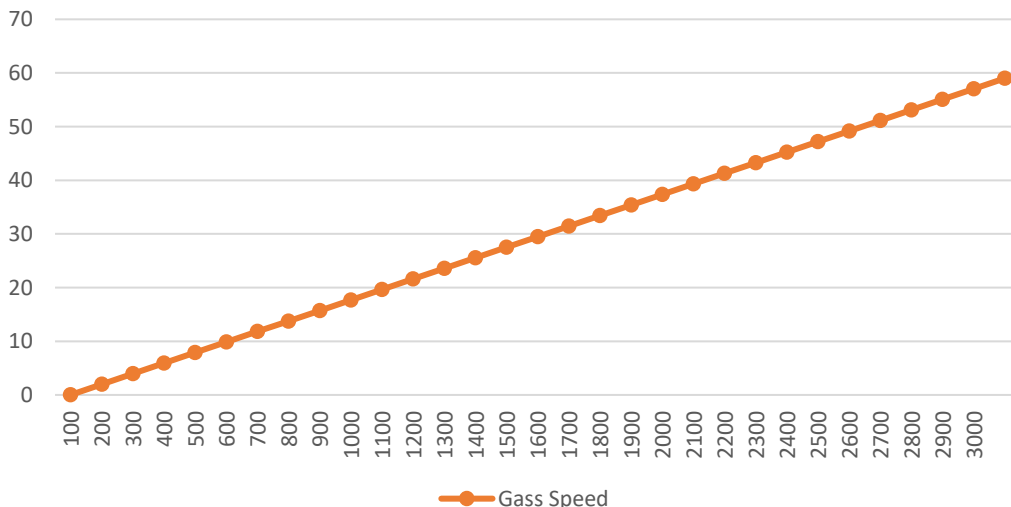
| Intlet Porting |        |            |            |              |                |          |           |          |             |
|----------------|--------|------------|------------|--------------|----------------|----------|-----------|----------|-------------|
| Bore           | Stroke | Capasity   | Engine RPM | Piston Speed | Intlet Porting | Steep 1  | Step 2    | Step 3   | Gass Speed  |
| 85             | 87     | 493,431375 | 100        | 0,29         | 32,64          | 0,001065 | 0,0036737 | 0,007225 | 1,966688368 |
| 85             | 87     | 493,431375 | 200        | 0,58         | 32,64          | 0,001065 | 0,0018368 | 0,007225 | 3,933376736 |
| 85             | 87     | 493,431375 | 300        | 0,87         | 32,64          | 0,001065 | 0,0012246 | 0,007225 | 5,900065104 |
| 85             | 87     | 493,431375 | 400        | 1,16         | 32,64          | 0,001065 | 0,0009184 | 0,007225 | 7,866753472 |
| 85             | 87     | 493,431375 | 500        | 1,45         | 32,64          | 0,001065 | 0,0007347 | 0,007225 | 9,83344184  |
| 85             | 87     | 493,431375 | 600        | 1,74         | 32,64          | 0,001065 | 0,0006123 | 0,007225 | 11,80013021 |
| 85             | 87     | 493,431375 | 700        | 2,03         | 32,64          | 0,001065 | 0,0005248 | 0,007225 | 13,76681858 |
| 85             | 87     | 493,431375 | 800        | 2,32         | 32,64          | 0,001065 | 0,0004592 | 0,007225 | 15,73350694 |
| 85             | 87     | 493,431375 | 900        | 2,61         | 32,64          | 0,001065 | 0,0004082 | 0,007225 | 17,70019531 |
| 85             | 87     | 493,431375 | 1000       | 2,9          | 32,64          | 0,001065 | 0,0003674 | 0,007225 | 19,66688368 |
| 85             | 87     | 493,431375 | 1100       | 3,19         | 32,64          | 0,001065 | 0,000334  | 0,007225 | 21,63357205 |
| 85             | 87     | 493,431375 | 1200       | 3,48         | 32,64          | 0,001065 | 0,0003061 | 0,007225 | 23,60026042 |
| 85             | 87     | 493,431375 | 1300       | 3,77         | 32,64          | 0,001065 | 0,0002826 | 0,007225 | 25,56694878 |
| 85             | 87     | 493,431375 | 1400       | 4,06         | 32,64          | 0,001065 | 0,0002624 | 0,007225 | 27,53363715 |
| 85             | 87     | 493,431375 | 1500       | 4,35         | 32,64          | 0,001065 | 0,0002449 | 0,007225 | 29,50032552 |
| 85             | 87     | 493,431375 | 1600       | 4,64         | 32,64          | 0,001065 | 0,0002296 | 0,007225 | 31,46701389 |
| 85             | 87     | 493,431375 | 1700       | 4,93         | 32,64          | 0,001065 | 0,0002161 | 0,007225 | 33,43370226 |
| 85             | 87     | 493,431375 | 1800       | 5,22         | 32,64          | 0,001065 | 0,0002041 | 0,007225 | 35,40039063 |
| 85             | 87     | 493,431375 | 1900       | 5,51         | 32,64          | 0,001065 | 0,0001934 | 0,007225 | 37,36707899 |
| 85             | 87     | 493,431375 | 2000       | 5,8          | 32,64          | 0,001065 | 0,0001837 | 0,007225 | 39,33376736 |
| 85             | 87     | 493,431375 | 2100       | 6,09         | 32,64          | 0,001065 | 0,0001749 | 0,007225 | 41,30045573 |
| 85             | 87     | 493,431375 | 2200       | 6,38         | 32,64          | 0,001065 | 0,000167  | 0,007225 | 43,2671441  |
| 85             | 87     | 493,431375 | 2300       | 6,67         | 32,64          | 0,001065 | 0,0001597 | 0,007225 | 45,23383247 |
| 85             | 87     | 493,431375 | 2400       | 6,96         | 32,64          | 0,001065 | 0,0001531 | 0,007225 | 47,20052083 |
| 85             | 87     | 493,431375 | 2500       | 7,25         | 32,64          | 0,001065 | 0,0001469 | 0,007225 | 49,1672092  |
| 85             | 87     | 493,431375 | 2600       | 7,54         | 32,64          | 0,001065 | 0,0001413 | 0,007225 | 51,13389757 |
| 85             | 87     | 493,431375 | 2700       | 7,83         | 32,64          | 0,001065 | 0,0001361 | 0,007225 | 53,10058594 |
| 85             | 87     | 493,431375 | 2800       | 8,12         | 32,64          | 0,001065 | 0,0001312 | 0,007225 | 55,06727431 |
| 85             | 87     | 493,431375 | 2900       | 8,41         | 32,64          | 0,001065 | 0,0001267 | 0,007225 | 57,03396267 |
| 85             | 87     | 493,431375 | 3000       | 8,7          | 32,64          | 0,001065 | 0,0001225 | 0,007225 | 59,00065104 |

Tabel 4.2 Kalkulasi gass speed

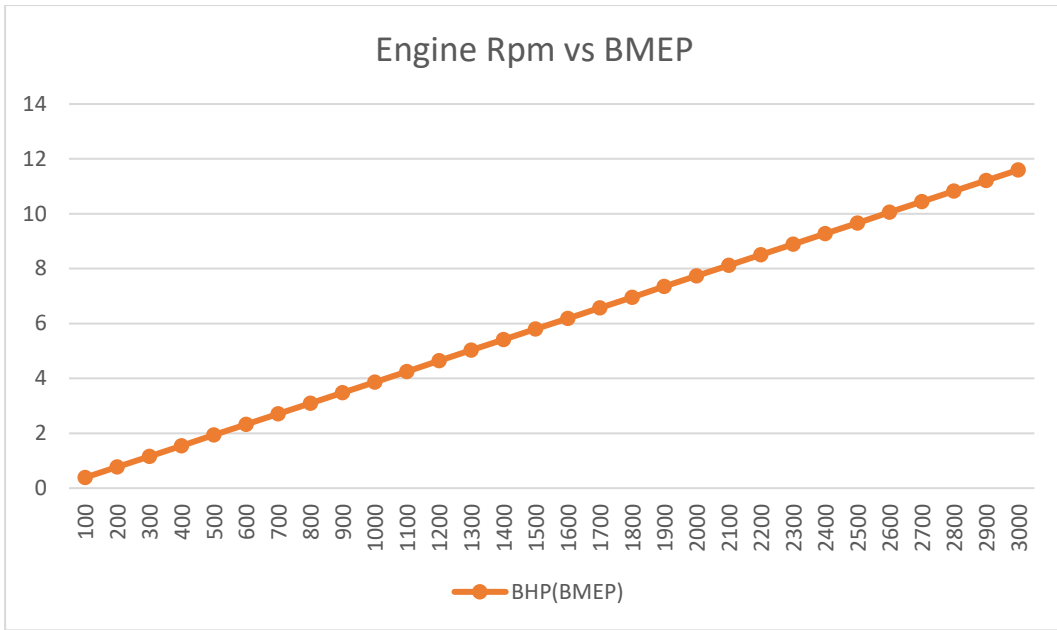
| Bore (mm) | Stroke(mm) | Tekanan Ekspansi (Kg/cm2) | RPM  | Jumlah Silinder | Indikasi Putaran CRSFT | Volume Langkah | IHP(IMEP)  | EHP(FMEEP)  | BHP(BMEP)   | Torsi Nm    | BSFC(gm/kW-hr) |
|-----------|------------|---------------------------|------|-----------------|------------------------|----------------|------------|-------------|-------------|-------------|----------------|
| 85        | 87         | 21,7                      | 100  | 1               | 2                      | 493,4314       | 1,1883997  | 0,800981416 | 0,387418311 | 46,00283991 | 3873,65967     |
| 85        | 87         | 21,7                      | 200  | 1               | 2                      | 493,4314       | 2,3767995  | 1,601962833 | 0,774836622 | 92,00567981 | 1936,829835    |
| 85        | 87         | 21,7                      | 300  | 1               | 2                      | 493,4314       | 3,5651992  | 2,402944249 | 1,162254933 | 138,0085197 | 1291,21989     |
| 85        | 87         | 21,7                      | 400  | 1               | 2                      | 493,4314       | 4,7535989  | 3,203925665 | 1,549673245 | 184,0113596 | 968,4149176    |
| 85        | 87         | 21,7                      | 500  | 1               | 2                      | 493,4314       | 5,9419986  | 4,004907081 | 1,937091556 | 230,0141995 | 774,7319341    |
| 85        | 87         | 21,7                      | 600  | 1               | 2                      | 493,4314       | 7,1303984  | 4,805888498 | 2,324509867 | 276,0170394 | 645,6099451    |
| 85        | 87         | 21,7                      | 700  | 1               | 2                      | 493,4314       | 8,3187981  | 5,606869914 | 2,711928178 | 322,0198793 | 553,3799529    |
| 85        | 87         | 21,7                      | 800  | 1               | 2                      | 493,4314       | 9,5071978  | 6,40785133  | 3,099346489 | 368,0227193 | 484,2074588    |
| 85        | 87         | 21,7                      | 900  | 1               | 2                      | 493,4314       | 10,695598  | 7,208832746 | 3,4867648   | 414,0255592 | 430,40663      |
| 85        | 87         | 21,7                      | 1000 | 1               | 2                      | 493,4314       | 11,8833997 | 8,009814163 | 3,874183111 | 460,0283991 | 387,365967     |
| 85        | 87         | 21,7                      | 1100 | 1               | 2                      | 493,4314       | 13,072397  | 8,810795579 | 4,261601422 | 506,031239  | 352,1508791    |
| 85        | 87         | 21,7                      | 1200 | 1               | 2                      | 493,4314       | 14,260797  | 9,611776995 | 4,649019734 | 552,0340789 | 322,8049725    |
| 85        | 87         | 21,7                      | 1300 | 1               | 2                      | 493,4314       | 15,449196  | 10,41275841 | 5,036438045 | 598,0369188 | 297,9738208    |
| 85        | 87         | 21,7                      | 1400 | 1               | 2                      | 493,4314       | 16,637596  | 11,21373983 | 5,423856356 | 644,0397587 | 276,6899765    |
| 85        | 87         | 21,7                      | 1500 | 1               | 2                      | 493,4314       | 17,825596  | 12,01472124 | 5,811274667 | 690,0425986 | 258,243978     |
| 85        | 87         | 21,7                      | 1600 | 1               | 2                      | 493,4314       | 19,014396  | 12,81570266 | 6,198692978 | 736,0454385 | 242,1037294    |
| 85        | 87         | 21,7                      | 1700 | 1               | 2                      | 493,4314       | 20,20795   | 13,61668408 | 6,586111289 | 782,0482784 | 227,8623336    |
| 85        | 87         | 21,7                      | 1800 | 1               | 2                      | 493,4314       | 21,391195  | 14,41766549 | 6,9735296   | 828,0511183 | 215,203315     |
| 85        | 87         | 21,7                      | 1900 | 1               | 2                      | 493,4314       | 22,579595  | 15,21864691 | 7,360947912 | 874,0539582 | 203,8768248    |
| 85        | 87         | 21,7                      | 2000 | 1               | 2                      | 493,4314       | 23,767995  | 16,01962833 | 7,748366223 | 920,0567981 | 193,6829835    |
| 85        | 87         | 21,7                      | 2100 | 1               | 2                      | 493,4314       | 24,956394  | 16,82060974 | 8,135784534 | 966,059638  | 184,4599843    |
| 85        | 87         | 21,7                      | 2200 | 1               | 2                      | 493,4314       | 26,144794  | 17,62159116 | 8,523202845 | 1012,062478 | 176,0754396    |
| 85        | 87         | 21,7                      | 2300 | 1               | 2                      | 493,4314       | 27,333194  | 18,42257257 | 8,910621156 | 1058,065318 | 168,4199857    |
| 85        | 87         | 21,7                      | 2400 | 1               | 2                      | 493,4314       | 28,521593  | 19,22355399 | 9,298039467 | 1104,068158 | 161,4024863    |
| 85        | 87         | 21,7                      | 2500 | 1               | 2                      | 493,4314       | 29,709993  | 20,02453541 | 9,685457778 | 1150,070998 | 154,9463868    |
| 85        | 87         | 21,7                      | 2600 | 1               | 2                      | 493,4314       | 30,898393  | 20,82551682 | 10,07287609 | 1196,073838 | 148,9869104    |
| 85        | 87         | 21,7                      | 2700 | 1               | 2                      | 493,4314       | 32,086793  | 21,62649824 | 10,4602944  | 1242,076677 | 143,4688767    |
| 85        | 87         | 21,7                      | 2800 | 1               | 2                      | 493,4314       | 33,275192  | 22,42747966 | 10,84771271 | 1288,079517 | 138,3449882    |
| 85        | 87         | 21,7                      | 2900 | 1               | 2                      | 493,4314       | 34,463592  | 23,22846107 | 11,23513102 | 1334,082357 | 133,5744714    |
| 85        | 87         | 21,7                      | 3000 | 1               | 2                      | 493,4314       | 35,651992  | 24,02944249 | 11,62254933 | 1380,085197 | 129,121989     |

Tabel 4.3 Kalkulasi BHP dan BSFC

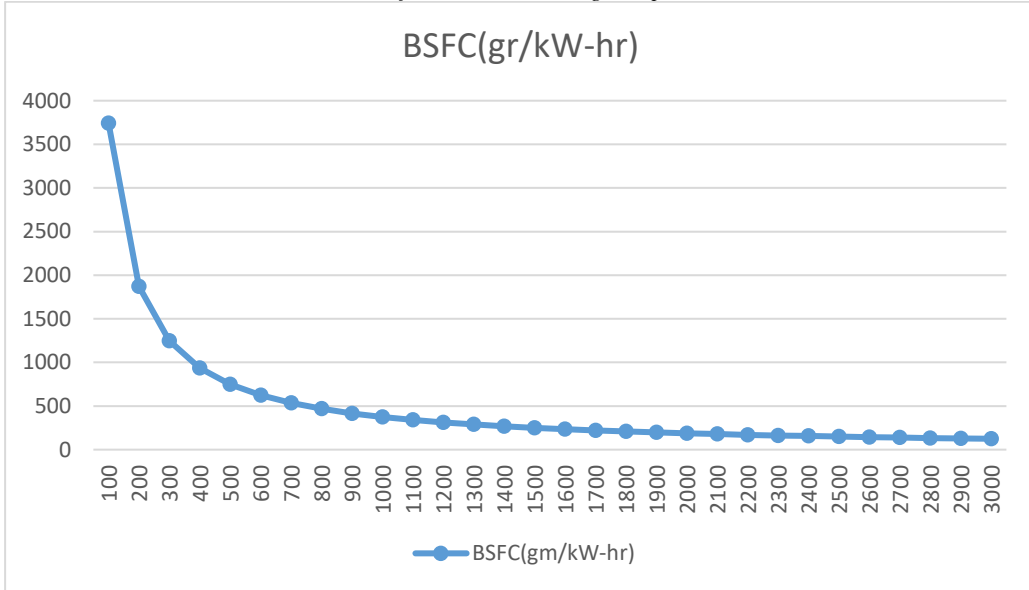
### Gass Speed vs Engine Rpm



Grafik 4.1 Gass speed vs Engine Rpm



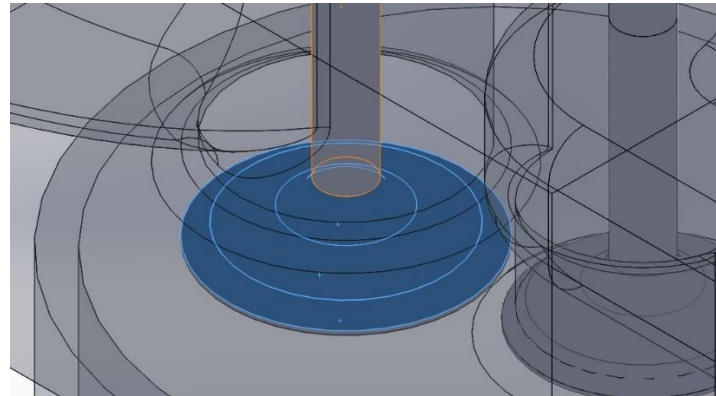
Grafik 4.2 BMEP vs Engine Rpm



Grafik 4.3 BSFC vs Engine Rpm

#### 4.3 Pemodelan dan Validasi

Dari ketiga grafik yaitu grafik 4.1, 4.2, dan 4.3 diambil *gas speed* vs *Engine Rpm* sebagai acuan dalam melakukan proses validasi. Dalam pengambilan data *gas speed* dilakukan pada *intake port* dengan data kecepatan tertinggi ketika melalui *intake port* yang diasumsikan ketika melewati *intake valve*.

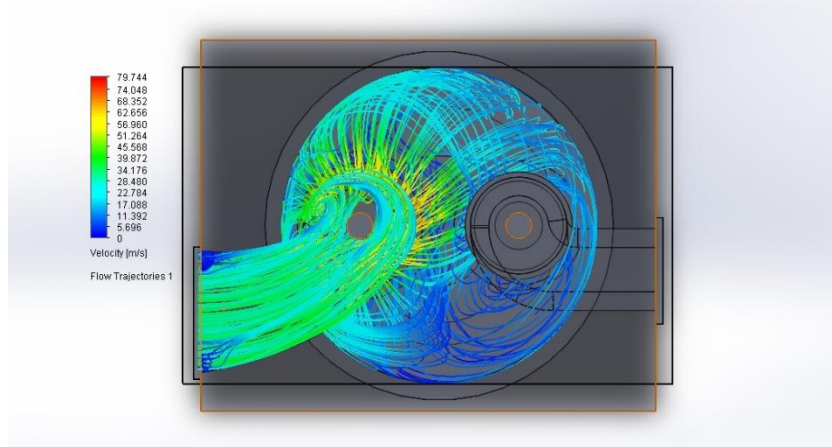


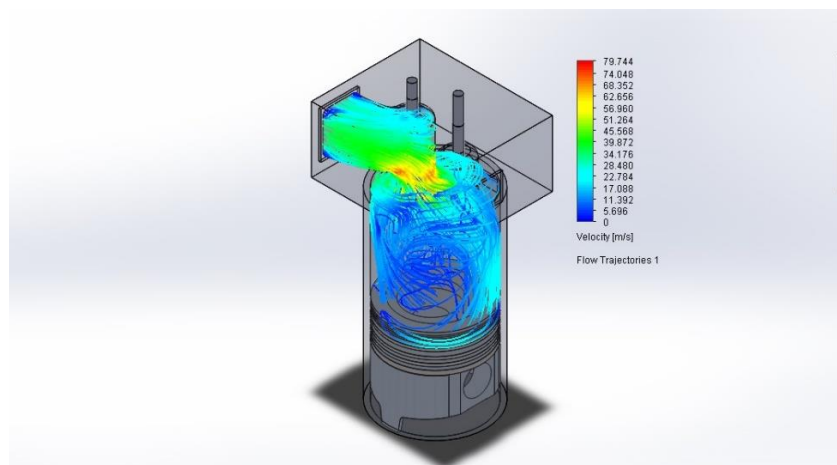
Gambar 4.2. Intake valve sebagai acuan pengambilan sample kecepatan.

Selanjutnya dilakukan pangambilan data kecepatan ketika fluida melalui intake valve.

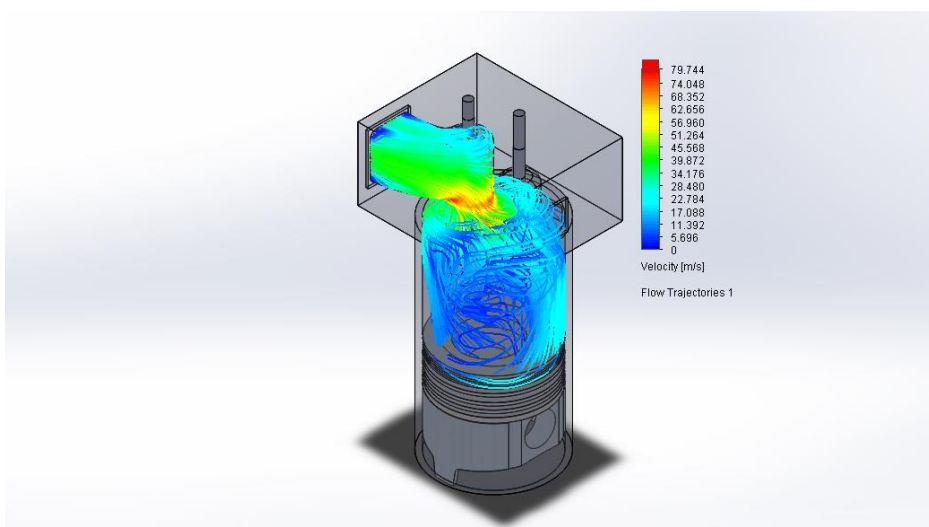
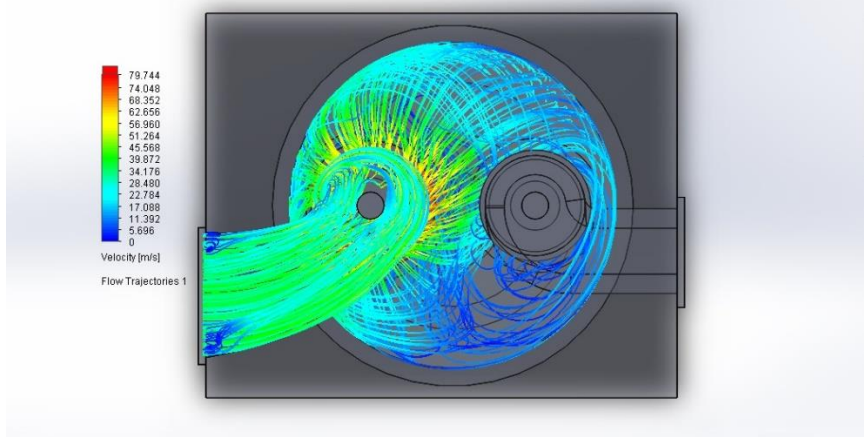
| X [m]  | Y [m]  | Z [m]  | Medium | Velocity [m/s] |
|--------|--------|--------|--------|----------------|
| -0.035 | -0.069 | -1.754 | Fluid  | 3.553e-015     |
| -0.034 | -0.069 | -1.744 | Fluid  | 1.465e-014     |
| -0.040 | -0.069 | -1.736 | Fluid  | 3.553e-015     |
| -0.050 | -0.069 | -1.734 | Fluid  | 0              |
| -0.059 | -0.069 | -1.739 | Fluid  | 0              |
| -0.064 | -0.070 | -1.747 | Fluid  | 31.341         |

Gambar 4.3. Point parameter kecepatan pada intake valve pada rpm 1500.

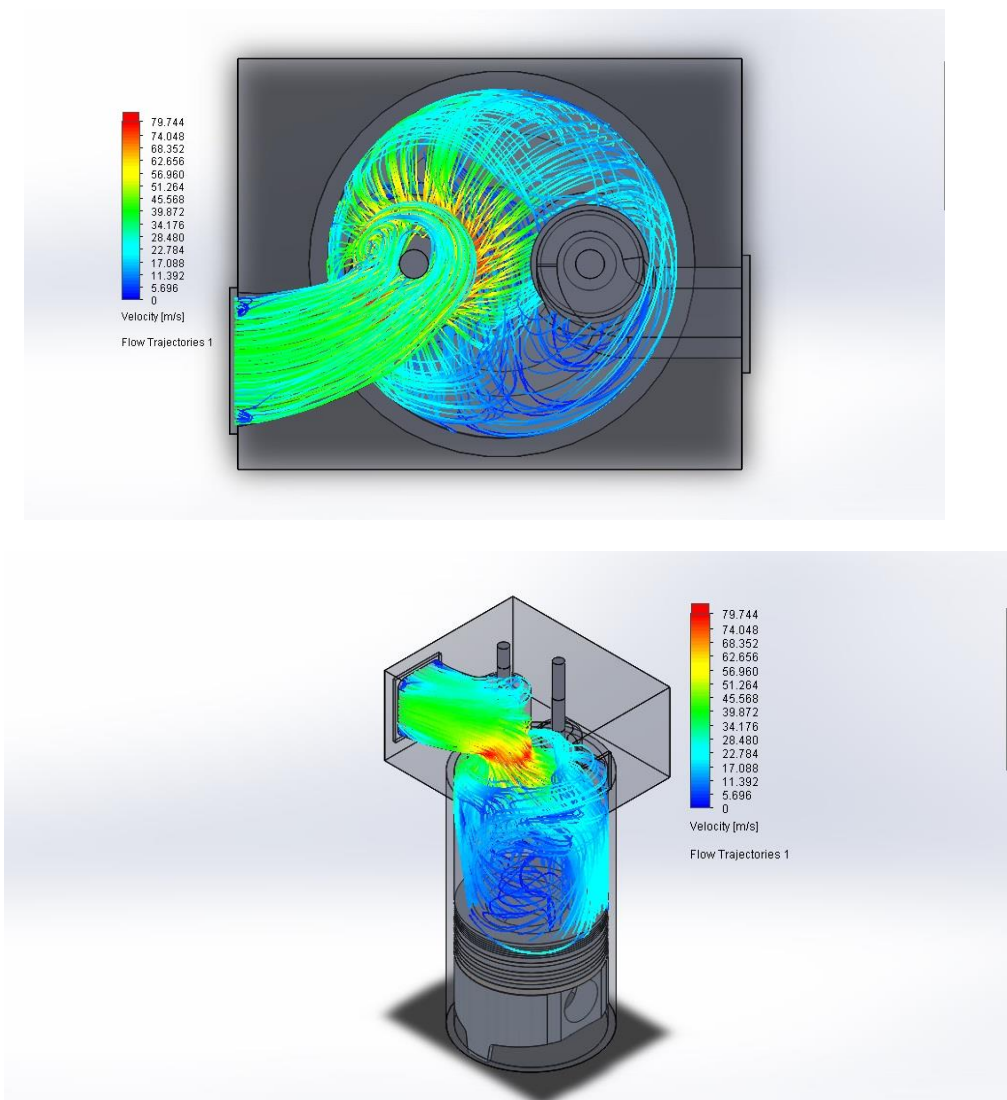




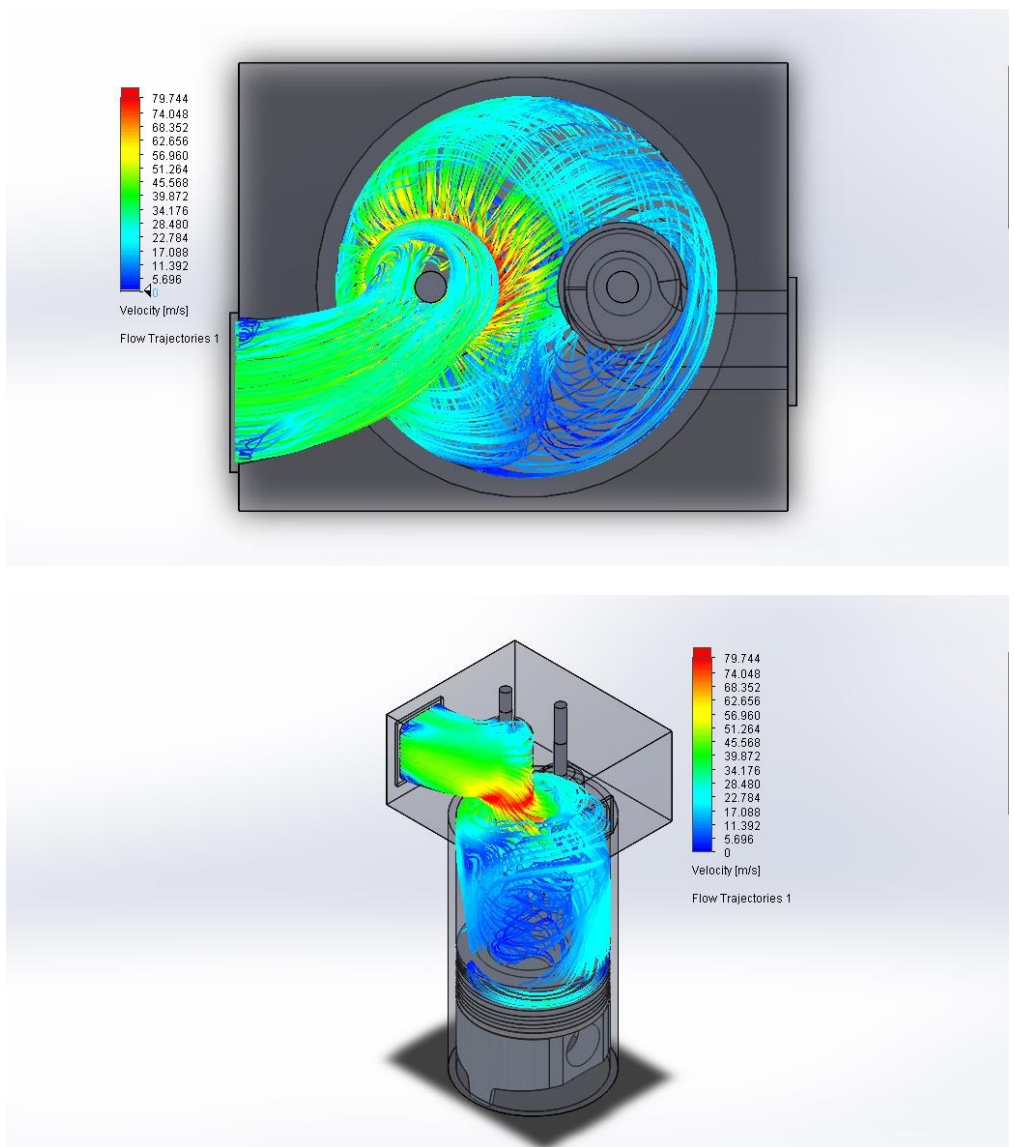
Gambar 4.4. Gas speed pada Rpm 1500



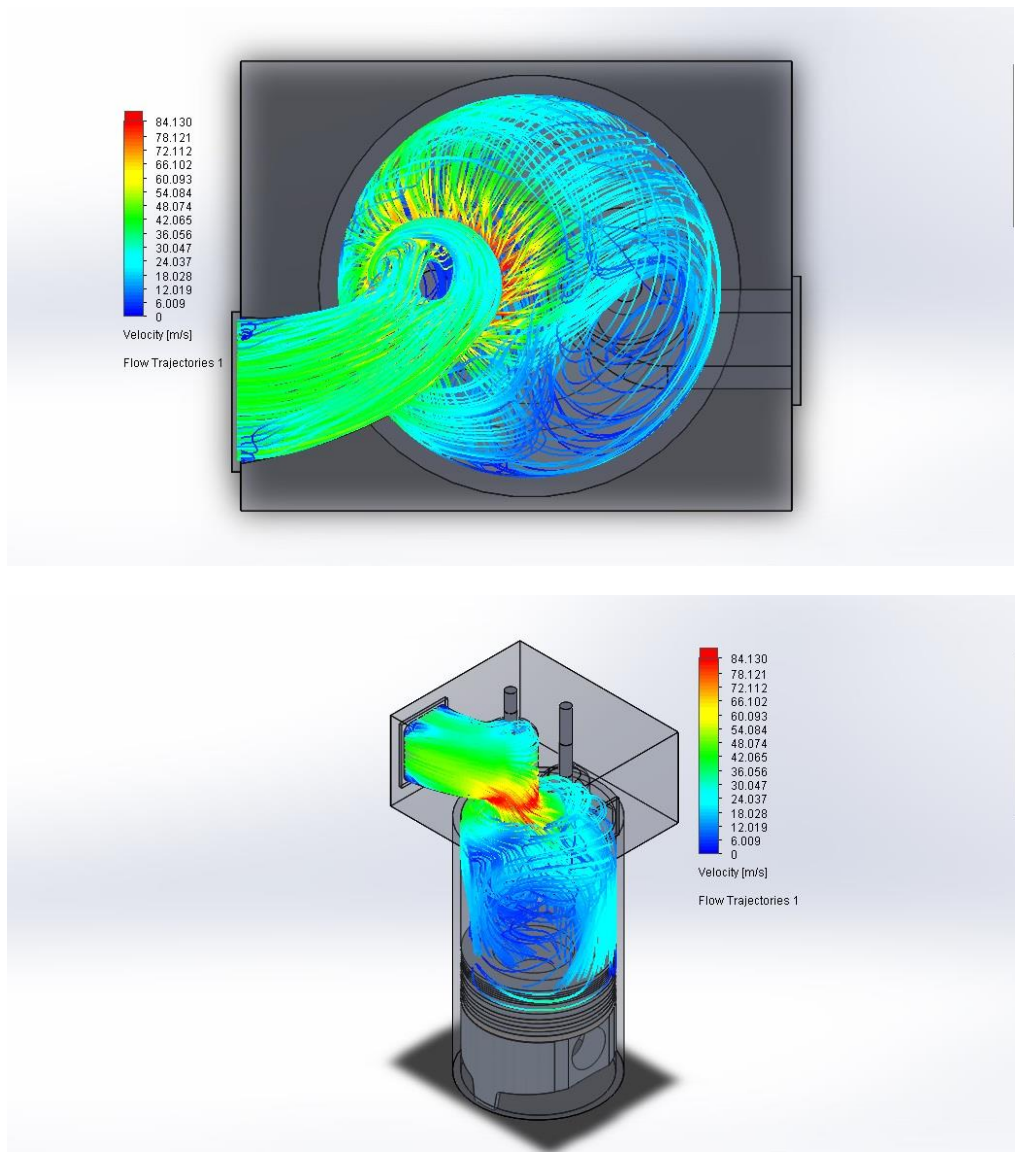
Gambar 4.5. Gas speed pada Rpm 1600



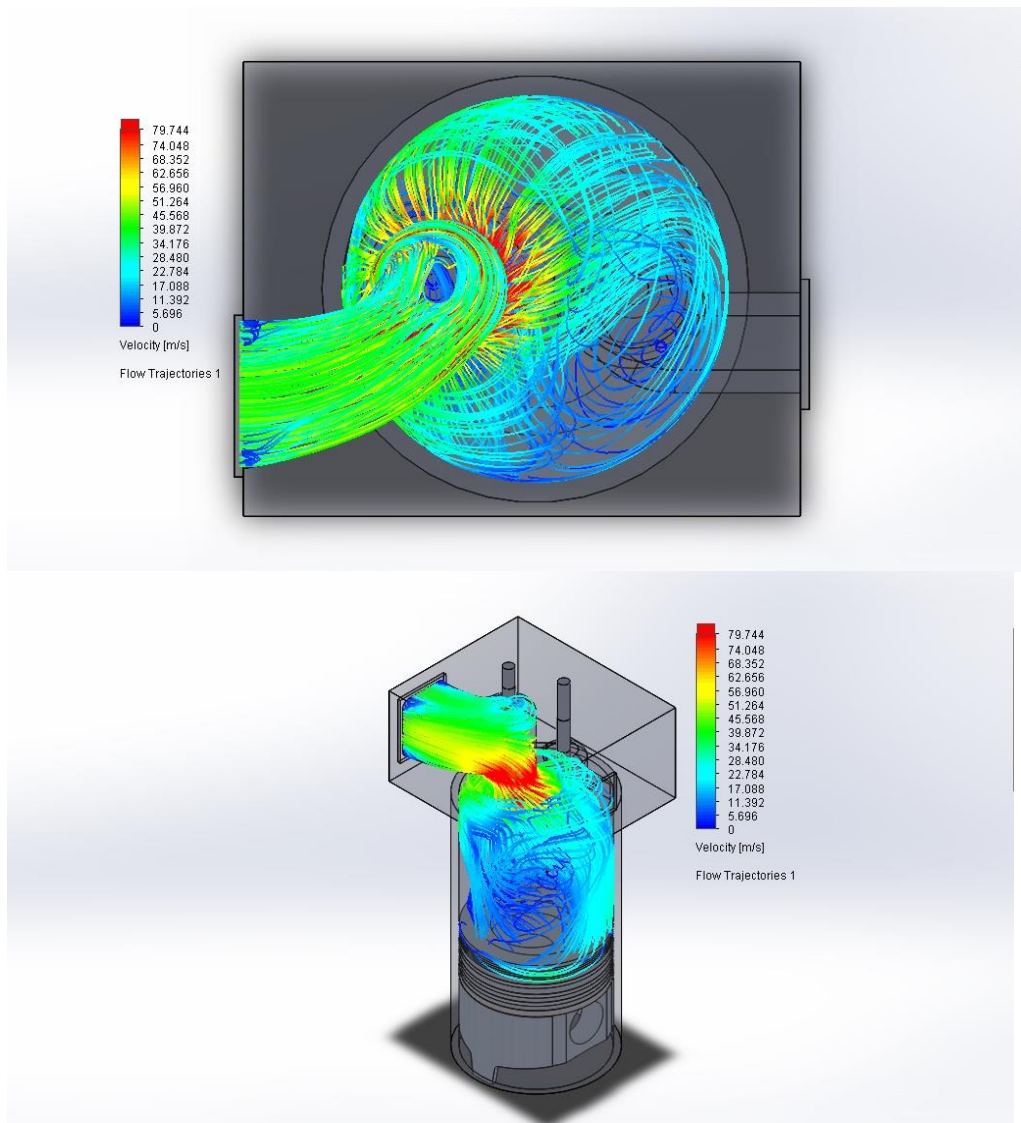
Gambar 4.6. Gas speed pada Rpm 1700



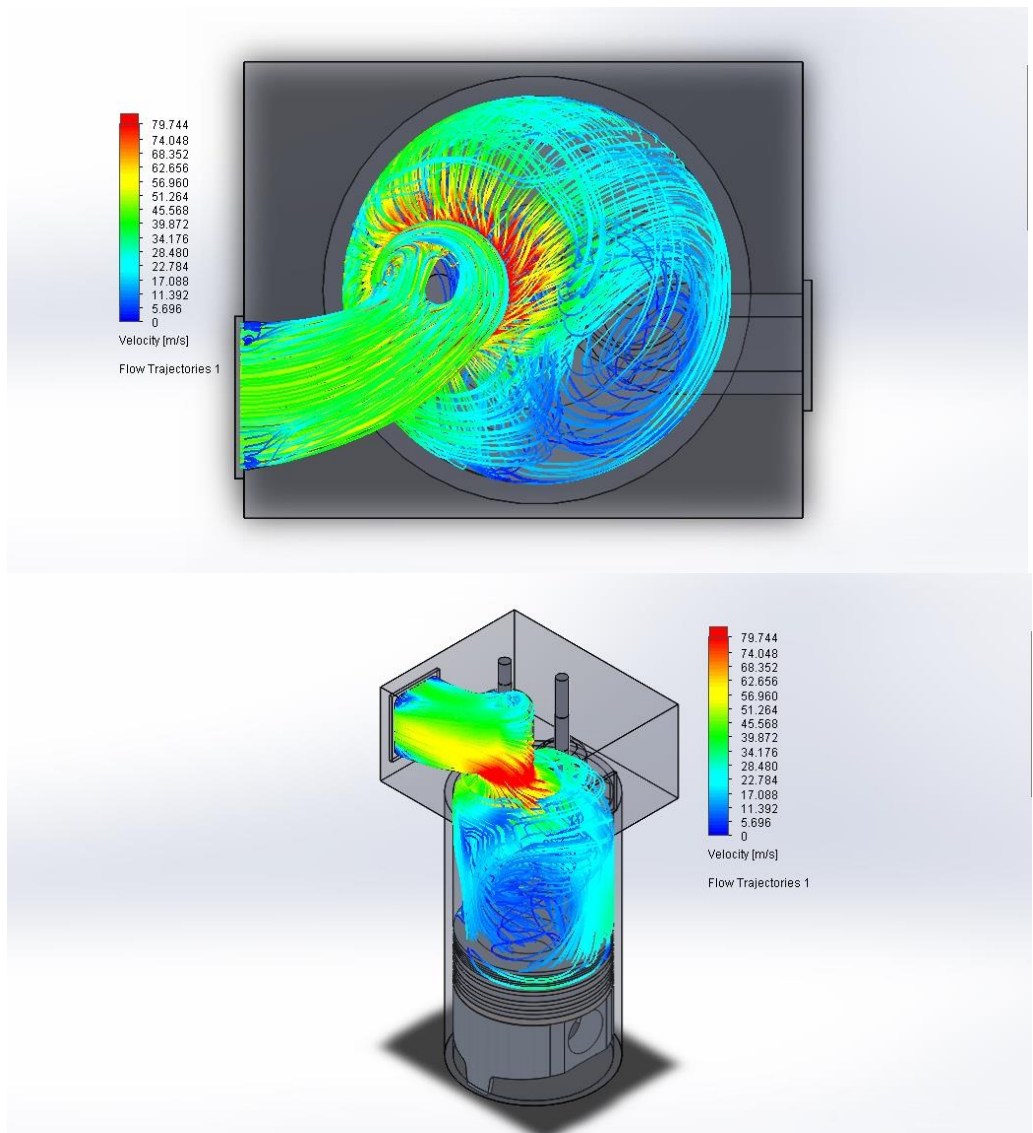
Gambar 4.7. Gas speed pada Rpm 1800



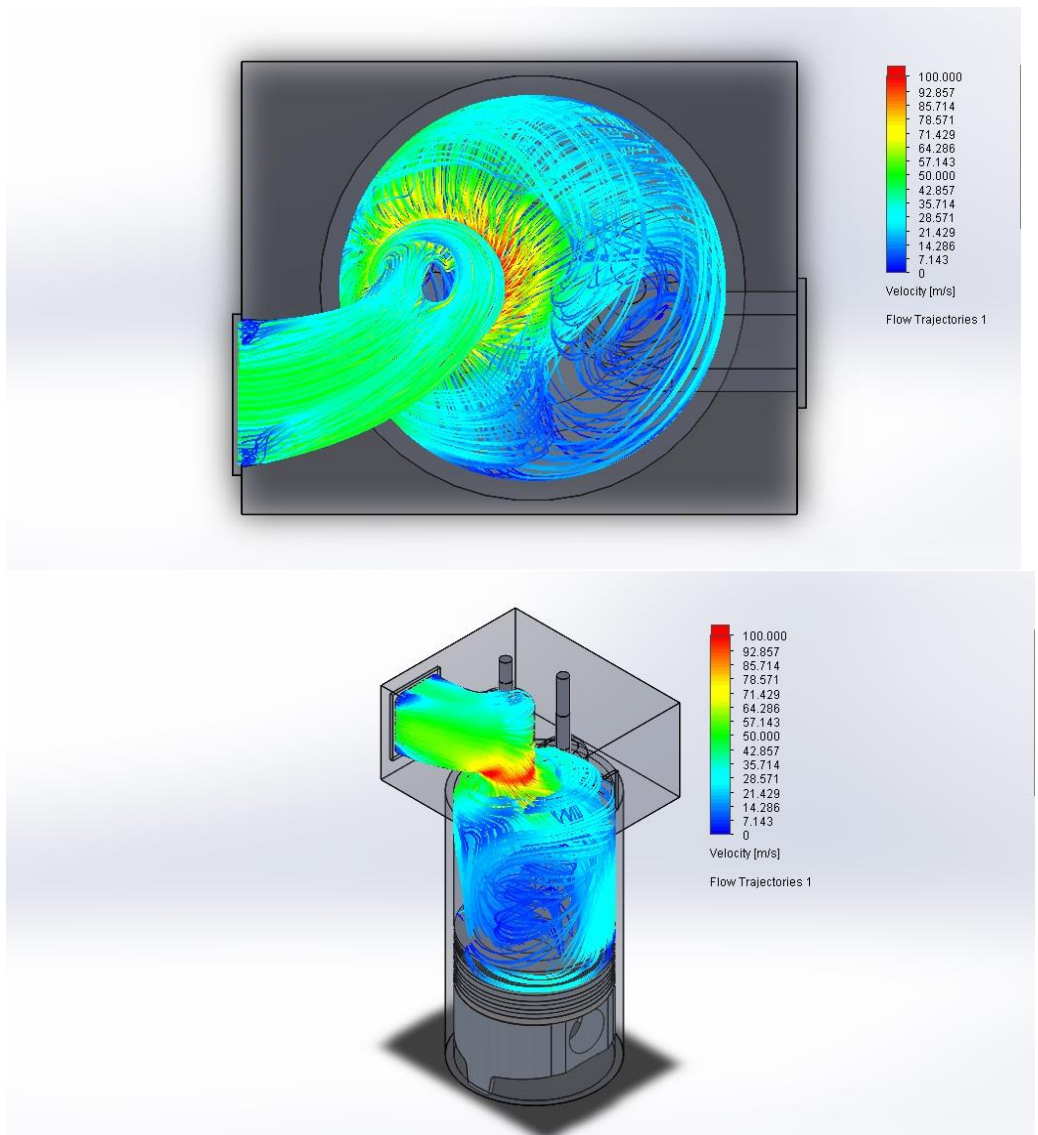
Gambar 4.8. Gas speed pada Rpm 1900



Gambar 4.9. Gas speed pada Rpm 2000



Gambar 4.10. Gas speed pada Rpm 2100



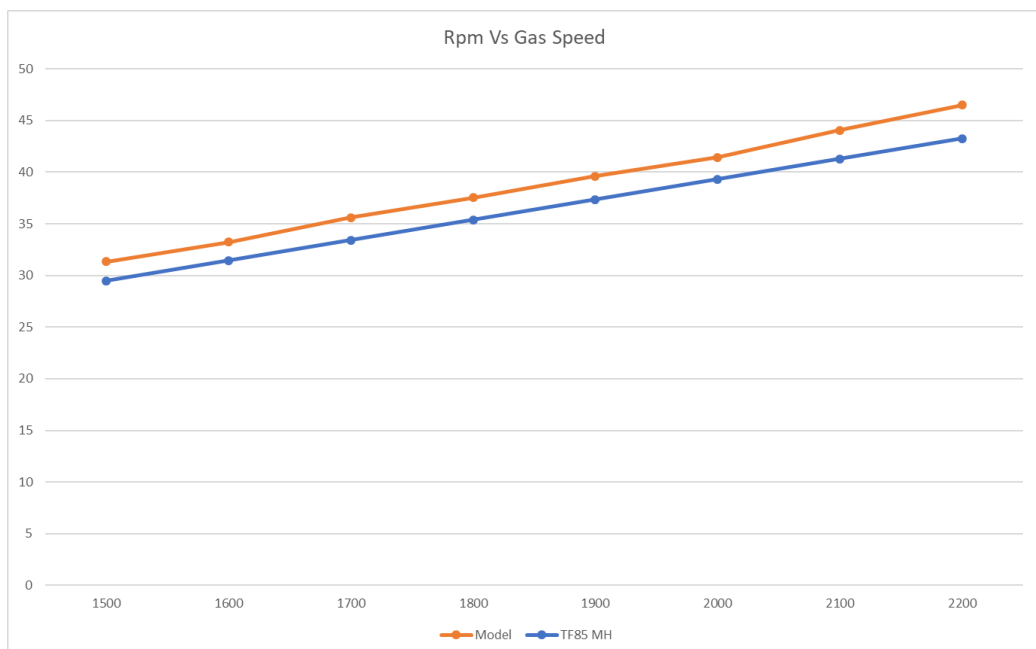
Gambar 4.11. Gas speed pada Rpm 2200

Dari beberapa gambar validasi *gas speed* di berbagai Rpm pada Engine Yanmar TF85 MH dapat diketahui bahwa semakin tinggi rpm semakin tinggi pula *gas speed*. Pada gambar hasil simulasi *gas speed* dapat dilihat bahwa angka yang ditunjukkan pada legenda juga mempengaruhi warna pada simulasi.

Berikut adalah data validasi antara *Rpm vs Gas speed* dari hasil perhitungan pada Engine Yanmar TF 85 MH dan pemodelan :

| TF 85 MH |             | Model |             |
|----------|-------------|-------|-------------|
| Rpm      | Gas Speed   | Rpm   | Gas Speed   |
| 1500     | 29,50032552 | 1500  | 31,34084447 |
| 1600     | 31,46701389 | 1600  | 33,2570684  |
| 1700     | 33,43370226 | 1700  | 35,6093789  |
| 1800     | 35,40039063 | 1800  | 37,52693996 |
| 1900     | 37,36707899 | 1900  | 39,63393035 |
| 2000     | 39,33376736 | 2000  | 41,43654958 |
| 2100     | 41,30045573 | 2100  | 44,06927538 |
| 2200     | 43,2671441  | 2200  | 46,5130925  |

Tabel 4.4 Validasi *gas speed* pada engine dan model



Grafik 4.4 Validasi *Gas speed* pada Engine dan Model

#### 4.4 Persentase Error

Persentase error adalah cara yang digunakan untuk membandingkan nilai perkiraan dari suatu objek, dapat dirumuskan sebagai berikut :

$$\% \text{ error} = \frac{(a-b)}{a} \times 100\% \quad \text{atau} \quad \% \text{ error} = \left(1 - \left(\frac{b}{a}\right)\right) \times 100\%$$

Dalam kasus ini, Model didefinisikan sebagai (a) dan TF 85 MH sebagai (b). Maka % error dari data validasi tersebut dapat dihitung sebagai berikut :

$$Rpm\ 1500 = \frac{(31,34 - 29,5003)}{31,34} \times 100\% = 5,87\%$$

Dengan cara yang sama dilakukan hingga rpm 2200, sehingga didapatkan nilai sebagai berikut :

| Rpm  | %        |
|------|----------|
| 1500 | 5,872589 |
| 1600 | 5,382478 |
| 1700 | 6,109842 |
| 1800 | 5,666727 |
| 1900 | 5,719472 |
| 2000 | 5,074704 |
| 2100 | 6,28288  |
| 2200 | 6,978569 |

Table 4.5 % error pada setiap Rpm

Nilai rata-rata % error dari setiap Rpm adalah sebagai berikut :

$$\%error = \frac{47,087}{8} = 5,88\%$$

#### 4.5 Simulasi Menggunakan Ansys Forte

Simulasi CFD dilakukan menggunakan *software* Ansys 19.0 dengan menggunakan *solver* untuk simulasi *Internal Combustion (IC) Engine*. Kelebihan menggunakan software ini yaitu :

- a. Dapat memodelkan sebaran kalor/panas secara 3D.
- b. Dapat melakukan meshing otomatis dengan cepat.
- c. Memiliki database dari berbagai macam bahan bakar baik untuk IC Engine dengan tipe *Spark Ignition (SI)* maupun *Compressed Ignition (CI)*.

Untuk melakukan pemodelan pada *software* FORTE , ada beberapa tahapan yang harus dilakukan, yaitu :

- a. Membuat gambar geometri pada model. Penggambaran model awal menggunakan *software* SOLIDWORKS 2016. Pemodelan menggunakan SOLIDWORKS dipilih karena *easy-to-use* dibandingkan *software CAD* lainnya. Untuk dapat dilakukan proses *import* ke Ansys, gambar awal harus di simpan dalam bentuk *Parasolid(\*.x\_t)*.
- b. Memilih *solver* untuk model yang telah dibuat pada Ansys Workbench.
- c. Melakukan *Simulation Setting* pada Workbench yang merupakan pengaturan awal *Engine* yang akan disimulasikan. Pengaturan ini meliputi *Connecting Rod Length, Crank Radius, Piston Offset/Wrench* dan *Minimum Lift*.
- d. Melakukan *import* geometri.
- e. Melakukan *meshing* pada model.
- f. Memilih formulasi solver, menentukan kondisi batas, serta pengaturan terhadap parameter kontrol pada solusi. Contohnya menentukan *boundary*

*condition* pada IC *engine*, komposisi kimia bahan bakar, serta *timing injection*.

- g. Melakukan perhitungan pada model atau Iterasi.
- h. Melakukan pemeriksaan pada hasil iterasi dan menyimpan hasil iterasi.

#### 4.6 Analisa data dari hasil iterasi Forte

Pemodelan dilakukan dengan memvariasikan komposisi campuran antara CNG dengan *Diesel Oil*. Komposisi CNG yang digunakan yaitu dengan kadar metana ( $\text{CH}_4$ ) sebesar 85%, etana ( $\text{C}_2\text{H}_6$ ) sebesar 13%, propane ( $\text{C}_3\text{H}_8$ ) 2%. Sedangkan komposisi udara yang digunakan dengan kadar Nitrogen ( $\text{N}_2$ ) sebesar 78%, oksigen ( $\text{O}_2$ ) sebesar 21%, Argon sebesar 0,93%. Variasi campuran CNG-DO dapat dilihat pada tabel berikut :

| CNG (%) | DO (%) |
|---------|--------|
| 0       | 100    |
| 25      | 75     |
| 50      | 50     |
| 75      | 25     |
| 100     | 0      |

Tabel 4.6 Variasi komposisi CNG-DO

Simulasi yang dilakukan dalam tugas akhir ini menggunakan berat bahan bakar solar yang telah disesuaikan dengan perhitungan termodinamika yaitu  $2,77634 \times 10^{-7}$  gram. Ketika divariasikan dengan bahan bakar CNG contohnya 50% CNG, 50% DO maka berat CNG tersebut adalah 50% dari berat total bahan bakar solar.

Komposisi bahan bakar yang digunakan dalam campuran CNG-DO dapat dilihat pada table berikut :

| CNG (%) | mass CNG (g) | mass DO (g) |
|---------|--------------|-------------|
| 0       | 0            | 2,77634E-07 |
| 25      | 6,94086E-08  | 2,08226E-07 |
| 50      | 1,38817E-07  | 1,38817E-07 |
| 75      | 2,08226E-07  | 6,94086E-08 |
| 100     | 2,77634E-07  | 0           |

Tabel 4.7 Tabel berat campuran CNG-DO pada beberapa variasi.

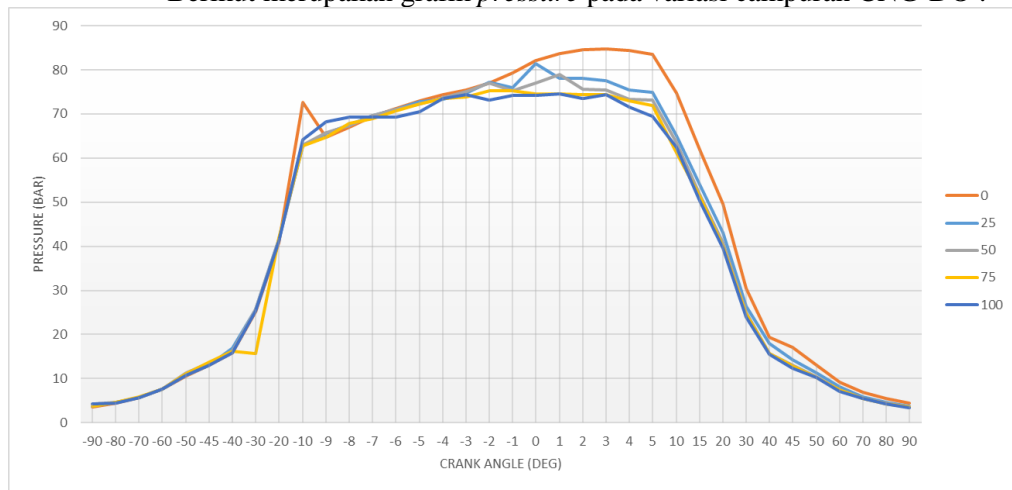
#### 4.6.1 Pressure

Berdasarkan data *pressure* dari hasil iterasi variasi CNG-DO, didapatkan hubungan antara *pressure* dengan variasi CNG. Data rangkuman *pressure* pada variasi bahan bakar dapat dilihat pada tabel berikut :

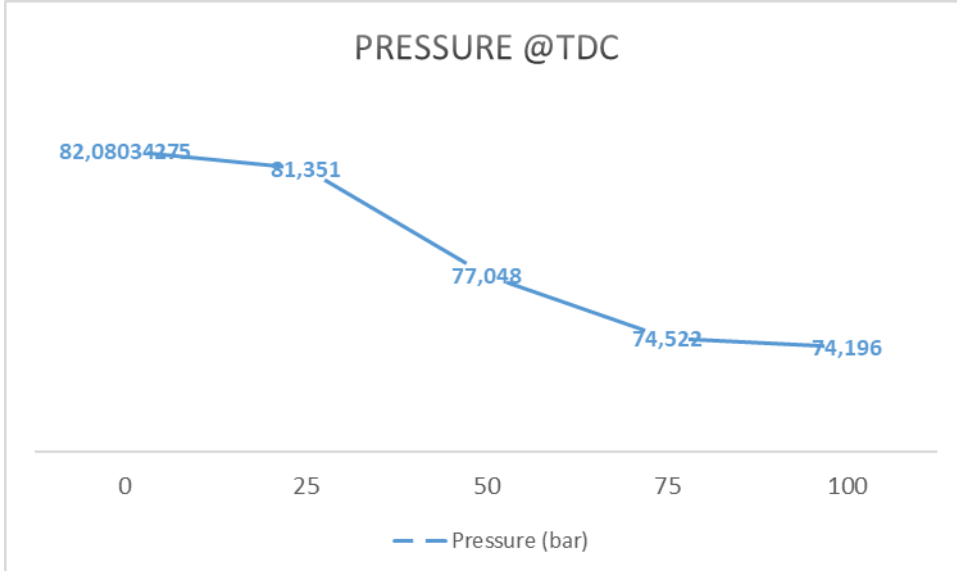
| Pressure (bar) | %CNG     |        |        |        |        |
|----------------|----------|--------|--------|--------|--------|
|                | CA       | 0      | 25     | 50     | 75     |
| -90            | 3,641621 | 3,757  | 4,222  | 3,752  | 4,239  |
| -80            | 4,452221 | 4,59   | 4,545  | 4,524  | 4,515  |
| -70            | 5,672174 | 5,729  | 5,69   | 5,772  | 5,686  |
| -60            | 7,548713 | 7,611  | 7,578  | 7,617  | 7,671  |
| -50            | 10,6523  | 10,753 | 11,206 | 11,074 | 10,748 |
| -45            | 13,029   | 13,037 | 13,57  | 13,808 | 12,977 |
| -40            | 15,89789 | 16,997 | 16,248 | 16,28  | 15,94  |
| -30            | 25,12657 | 25,66  | 25,658 | 15,697 | 25,287 |
| -20            | 40,79041 | 41,538 | 41,52  | 41,887 | 41,152 |
| -10            | 72,66421 | 62,695 | 63,022 | 62,86  | 64,148 |
| -9             | 64,74364 | 65,613 | 65,803 | 64,719 | 68,238 |
| -8             | 67,05689 | 67,523 | 67,412 | 67,942 | 69,312 |
| -7             | 69,40459 | 69,603 | 69,713 | 68,885 | 69,234 |
| -6             | 71,18993 | 71,029 | 71,126 | 70,678 | 69,305 |
| -5             | 72,89321 | 72,849 | 72,339 | 72,258 | 70,563 |
| -4             | 74,31277 | 73,394 | 73,761 | 73,538 | 73,435 |
| -3             | 75,38681 | 74,734 | 75,054 | 73,928 | 74,445 |
| -2             | 76,94722 | 77,114 | 76,953 | 75,187 | 73,183 |
| -1             | 79,34051 | 75,924 | 75,265 | 75,226 | 74,185 |
| 0              | 82,08034 | 81,351 | 77,048 | 74,522 | 74,196 |
| 1              | 83,69242 | 78,096 | 78,864 | 74,606 | 74,515 |
| 2              | 84,58712 | 78,085 | 75,602 | 74,337 | 73,561 |
| 3              | 84,76444 | 77,506 | 75,361 | 74,437 | 74,393 |
| 4              | 84,43311 | 75,384 | 73,276 | 72,916 | 71,551 |
| 5              | 83,58299 | 74,905 | 73,193 | 71,954 | 69,384 |
| 10             | 74,65727 | 65,011 | 63,45  | 61,22  | 62,411 |
| 15             | 61,85993 | 53,959 | 51,689 | 51,304 | 50,312 |
| 20             | 49,55502 | 43,153 | 40,805 | 39,861 | 39,551 |
| 30             | 30,40459 | 26,345 | 25,022 | 24,601 | 24,019 |
| 40             | 19,3318  | 17,964 | 15,753 | 15,745 | 15,521 |
| 45             | 17,026   | 14,227 | 12,963 | 12,865 | 12,359 |
| 50             | 12,96352 | 11,285 | 10,43  | 10,281 | 10,211 |
| 60             | 9,227668 | 8,186  | 7,423  | 7,346  | 7,134  |
| 70             | 6,959001 | 5,879  | 5,543  | 5,488  | 5,422  |
| 80             | 5,481683 | 4,614  | 4,365  | 4,293  | 4,235  |
| 90             | 4,500857 | 3,805  | 3,56   | 3,5    | 3,417  |

Tabel 4.8 Tabel pressure pada variasi CNG-diesel oil.

Berikut merupakan grafik *pressure* pada variasi campuran CNG-DO :



Grafik 4.5 Hubungan pressure dengan variasi CNG-DO.



Grafik 4.6 Hubungan pressure dengan variasi CNG-DO pada TDC.

Grafik 4.5 menggambarkan perbedaan komposisi antara CNG dengan *diesel oil* mempengaruhi *pressure* yang dihasilkan pada *combustion chamber*. *Pressure* tertinggi dimiliki komposisi bahan bakar 0% CNG dan 100% DO. Semakin tinggi komposisi CNG pada campuran bahan bakar maka semakin rendah pula *pressure* yang dihasilkan.

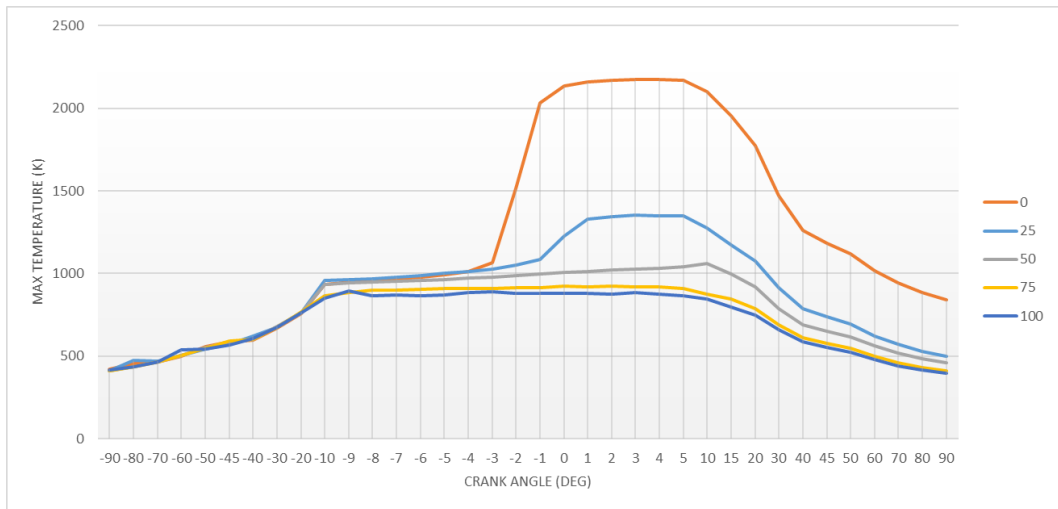
#### 4.6.2 Temperature

Berdasarkan data *max. temperature* dari hasil iterasi variasi bahan bakar, didapatkan hubungan antara *temperature* dengan variasi bahan bakar. Data rangkuman *temperature* pada variasi bahan bakar dapat dilihat pada tabel berikut :

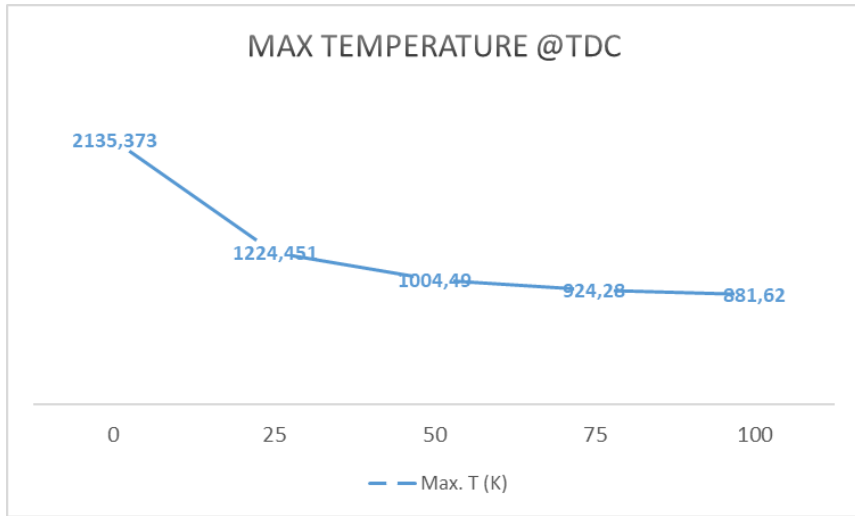
| Max. T (K) | %CNG     |          |         |        |        |
|------------|----------|----------|---------|--------|--------|
|            | 0        | 25       | 50      | 75     | 100    |
| -90        | 419,776  | 410,02   | 413,2   | 412,04 | 415,86 |
| -80        | 454,142  | 473,46   | 436,88  | 437,65 | 436,44 |
| -70        | 466,673  | 467,42   | 467,28  | 467,31 | 466,68 |
| -60        | 500,431  | 501,98   | 501,5   | 501,51 | 538,26 |
| -50        | 557,55   | 544,46   | 554,81  | 546,97 | 543,27 |
| -45        | 586,97   | 570,41   | 580,73  | 591,94 | 568,84 |
| -40        | 598,046  | 619,04   | 601,34  | 601,49 | 604,24 |
| -30        | 671,369  | 675,71   | 681,23  | 675,08 | 674,01 |
| -20        | 758,052  | 763,6    | 763,77  | 765,3  | 762,08 |
| -10        | 933,878  | 955,69   | 932,63  | 866,09 | 849,13 |
| -9         | 947,712  | 962,32   | 945,38  | 883,68 | 894,33 |
| -8         | 956,246  | 968,7    | 948,4   | 897,34 | 864,99 |
| -7         | 968,266  | 977,93   | 952,49  | 901,77 | 868,42 |
| -6         | 977,513  | 988,38   | 956,97  | 905,35 | 866,93 |
| -5         | 990,984  | 1000,31  | 962,81  | 906,79 | 871,04 |
| -4         | 1013,962 | 1013,62  | 970,85  | 910,57 | 884,31 |
| -3         | 1062,946 | 1026,35  | 977,92  | 908,63 | 888,05 |
| -2         | 1512,26  | 1052,78  | 987,2   | 914,36 | 878,43 |
| -1         | 2031,6   | 1085,34  | 995,29  | 914,37 | 878,95 |
| 0          | 2135,373 | 1224,451 | 1004,49 | 924,28 | 881,62 |
| 1          | 2157,52  | 1328,93  | 1011,51 | 918,09 | 880,47 |
| 2          | 2168,83  | 1345,64  | 1020,19 | 922,99 | 876,3  |
| 3          | 2171,94  | 1352,59  | 1027,95 | 916,75 | 886,77 |
| 4          | 2174,77  | 1350,37  | 1032,39 | 916,61 | 874,48 |
| 5          | 2170,6   | 1348,31  | 1042,83 | 911,11 | 867,09 |
| 10         | 2102,68  | 1273,51  | 1060,18 | 875,01 | 847,34 |
| 15         | 1952,23  | 1173,12  | 995,31  | 844,27 | 794,4  |
| 20         | 1774,7   | 1075,94  | 921,2   | 787,96 | 749,15 |
| 30         | 1471,85  | 914,25   | 786,73  | 691,13 | 659,22 |
| 40         | 1259,4   | 786,96   | 690,53  | 608,9  | 587,07 |
| 45         | 1181,21  | 738,71   | 650,85  | 575,57 | 552,41 |
| 50         | 1116,83  | 695,49   | 616,73  | 547,17 | 524,55 |
| 60         | 1016,14  | 621,75   | 560,88  | 498,92 | 477,9  |
| 70         | 943,42   | 571,46   | 518,22  | 461,05 | 442,24 |
| 80         | 885,25   | 529,47   | 485,45  | 431,73 | 414,24 |
| 90         | 839,04   | 498,51   | 458,97  | 408,86 | 394,5  |

Tabel 4.9 Tabel temperatue pada variasi CNG-diesel oil.

Berikut merupakan grafik maksimum temperatur pada variasi campuran CNG-DO :

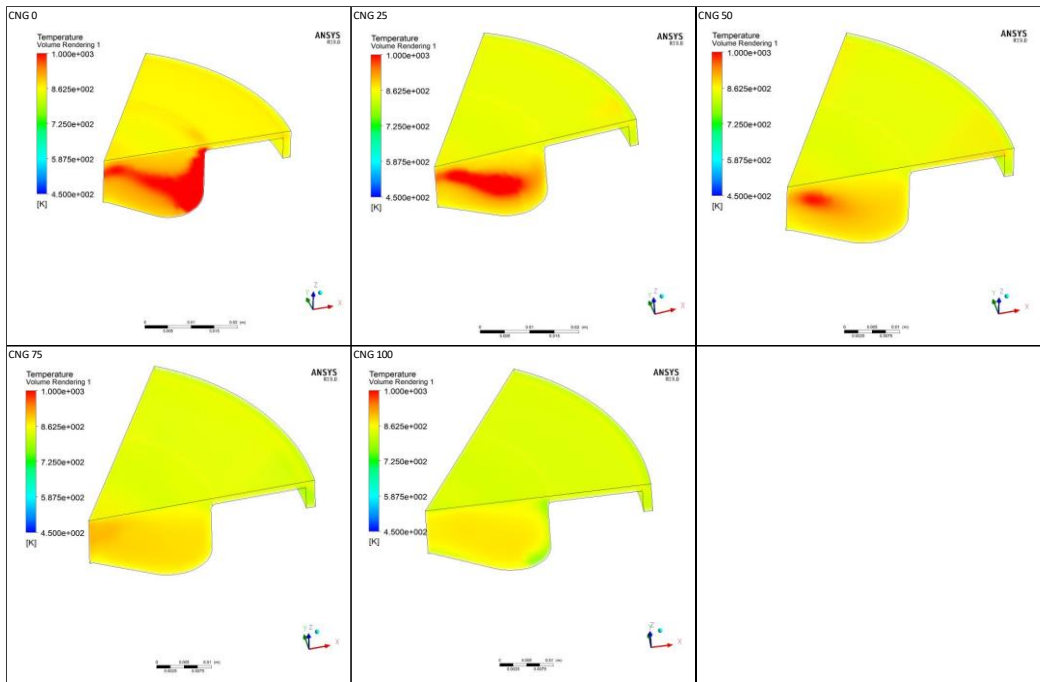


Grafik 4.7 Hubungan temperatur dengan variasi campuran CNG-DO.

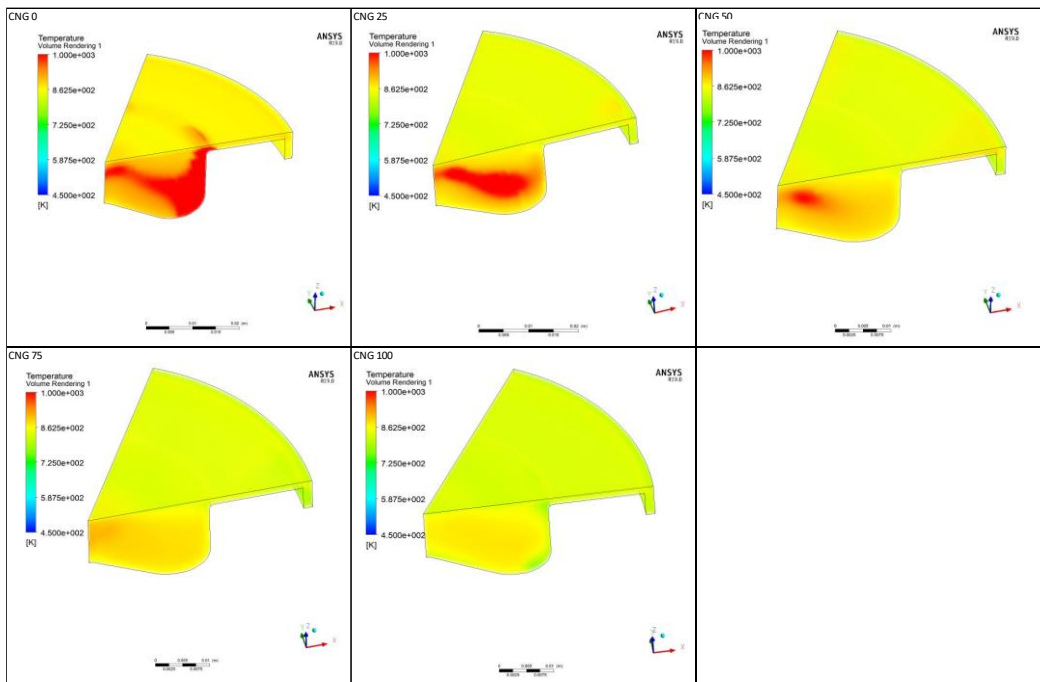


Grafik 4.8 Hubungan temperatur dengan variasi campuran CNG-DO.

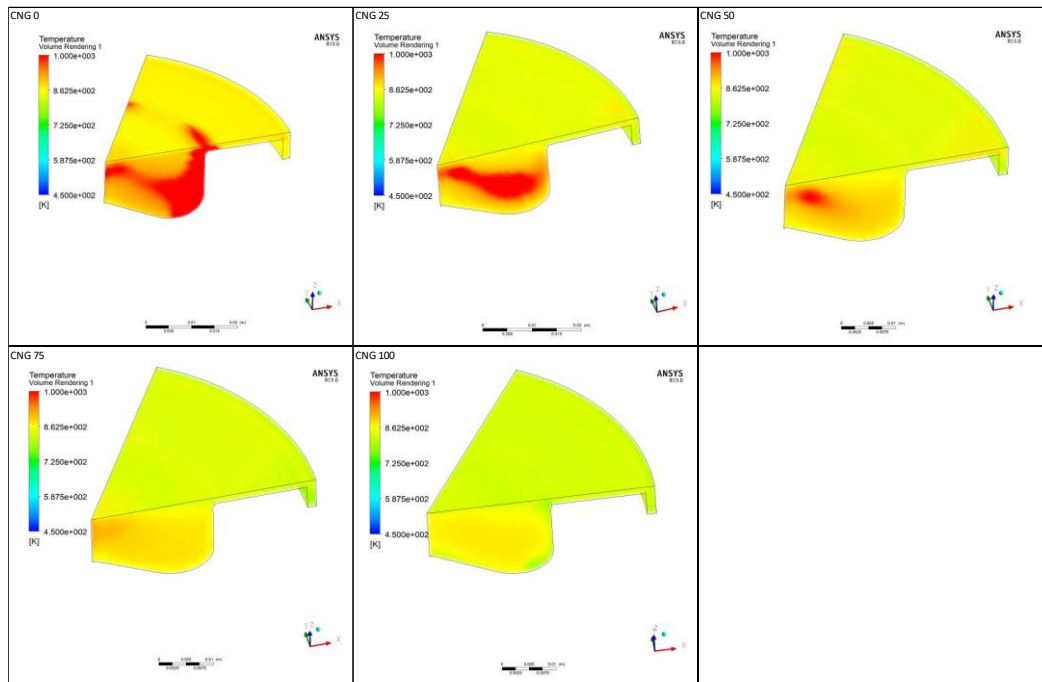
Berikut merupakan kontur temperatur maksimum pada ruang bakar setelah dilakukan iterasi pada kondisi :



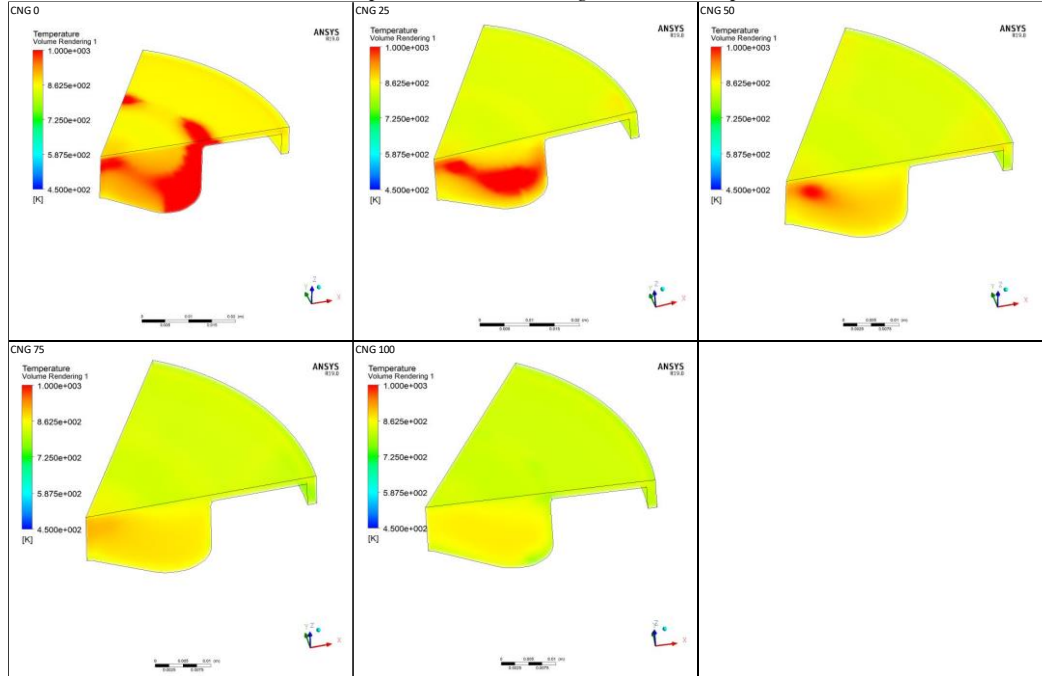
Gambar 4.12 Kontur temperatur TDC dengan variasi campuran bahan bakar.



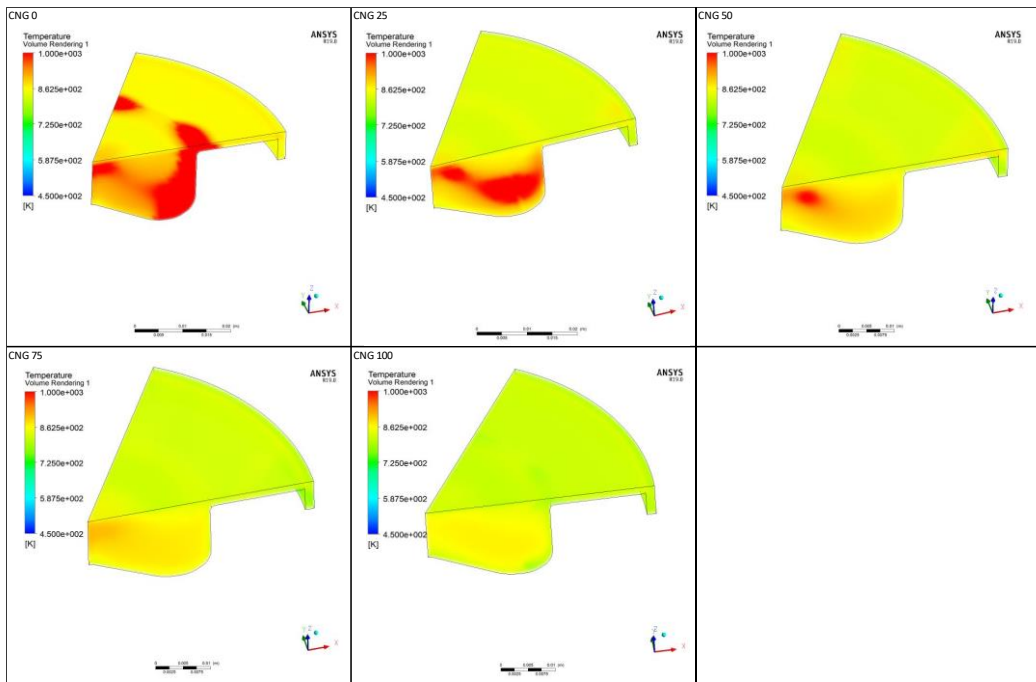
Gambar 4.13 Kontur temperatur 10° ATDC dengan variasi campuran bahan bakar.



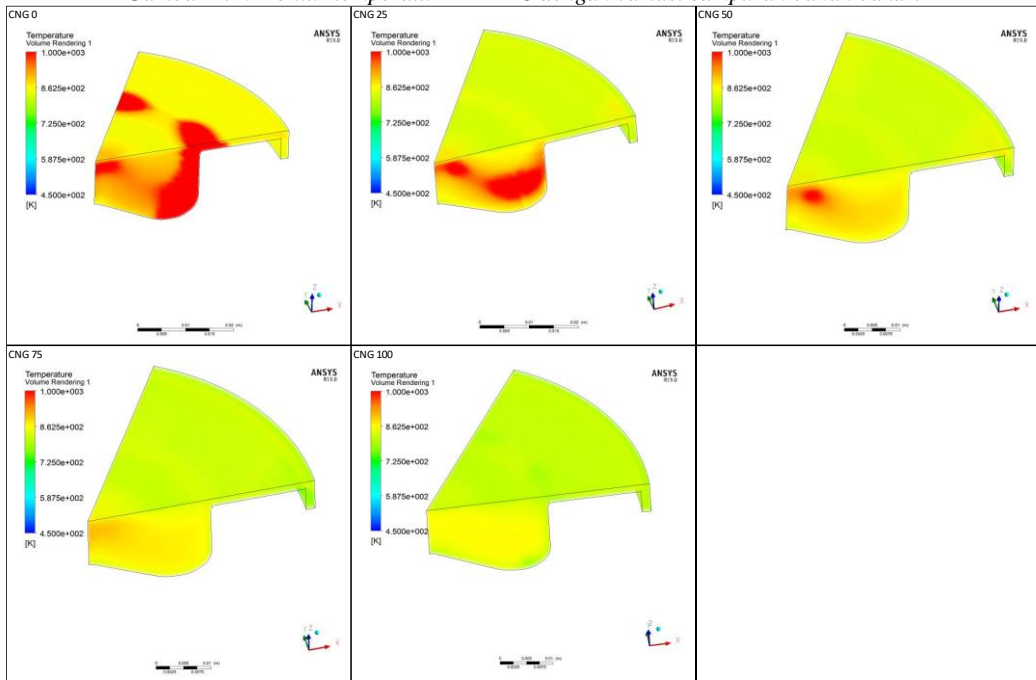
Gambar 4.14 Kontur temperatur 2° ATDC dengan variasi campuran bahan bakar.



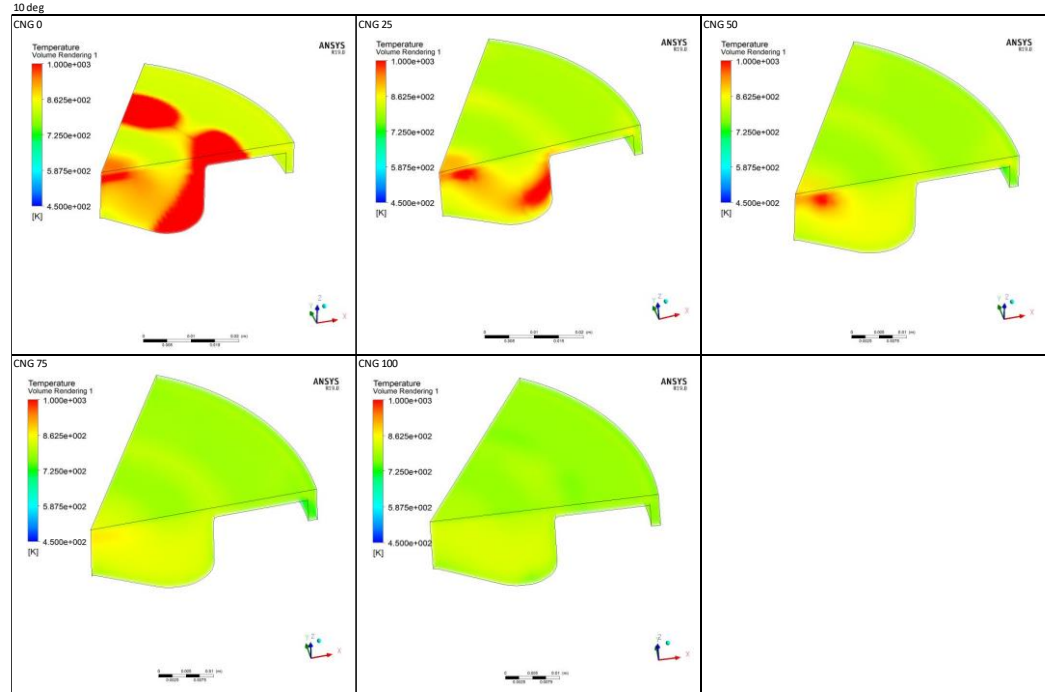
Gambar 4.15 Kontur temperatur 3° ATDC dengan variasi campuran bahan bakar.



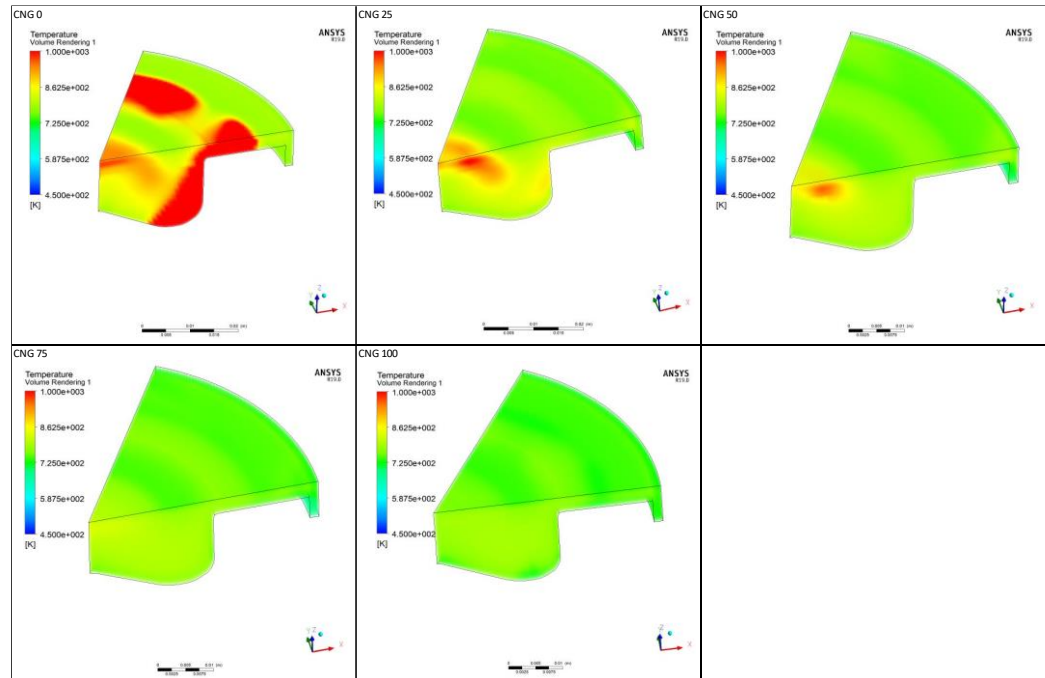
Gambar 4.16 Kontur temperatur 4° ATDC dengan variasi campuran bahan bakar.



Gambar 4.17 Kontur temperatur 5° ATDC dengan variasi campuran bahan bakar.



Gambar 4.18 Kontur temperatur  $10^0$  ATDC dengan variasi campuran bahan bakar.



Gambar 4.19 Kontur temperatur  $15^0$  ATDC dengan variasi campuran bahan bakar.

Berdasarkan gambar visualisasi dari hasil iterasi *temperature* pada berbagai variasi CNG-DO dapat dilihat bahwa semakin merah area pada *combustion chamber*, maka semakin tinggi *temperature* pada area tersebut. Pada variasi 0% CNG dan 100% DO terlihat bahwa sebaran temperatur tertinggi lebih banyak dan temperatur tertinggi diraih pada variasi bahan bakar ini.

Pada variasi CNG 25% temperature maksimalnya lebih rendah jika dibandingkan dengan 0% CNG atau 100% DO. Walaupun temperature pada variasi ini lebih rendah dari 100%DO, di variasi ini masih dapat terjadi combustion walaupun output yang dihasilkan tidak setinggi pada CNG 0%. Sedangkan mulai pada variasi 50% CNG grafik temperature sudah terlihat landai ketika mendekati TDC dan sebaran temperurnya merata, yang menunjukkan pada variasi tersebut hanya terjadi kompresi saja.

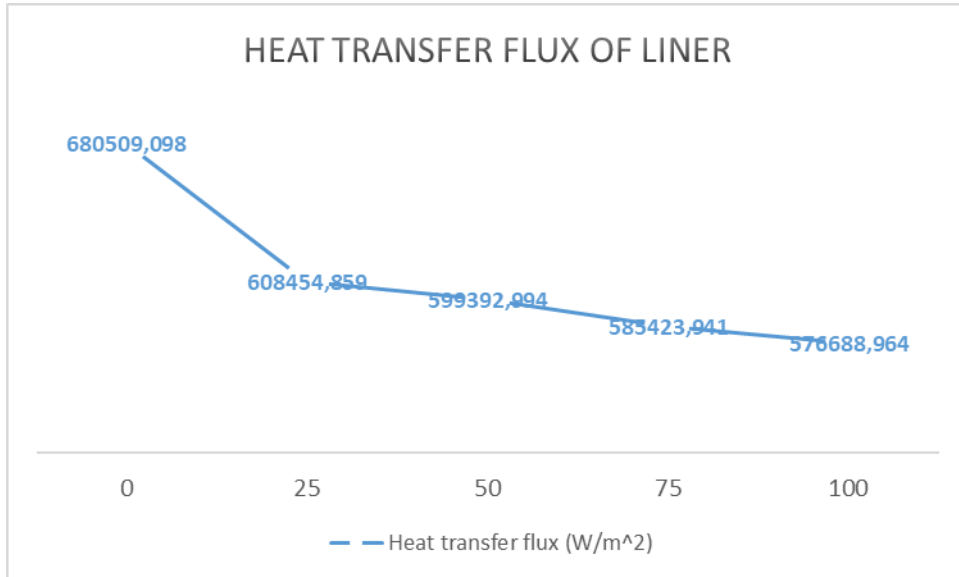
#### 4.6.3 Heat Transfer Flux

Dari hasil iterasi muncul juga data *heat transfer flux*. *Heat transfer flux* adalah laju aliran energi per satuan area per satuan waktu ( $\text{W}/\text{m}^2$ ). Dalam tugas akhir ini, *heat transfer flux* dibagi pada liner, head, dan pada piston.

Berdasarkan data *heat transfer flux of liner* dari berbagai macam variasi CNG-DO, didapatkan hubungan antara *heat transfer flux of liner* dengan variasi CNG. Data rangkuman *heat transfer flux of liner* pada kondisi TDC dapat dilihat pada tabel berikut :

| %CNG | Heat transfer flux<br>( $\text{W}/\text{m}^2$ ) |
|------|---|
| 0    | 680509,098                                      |
| 25   | 608454,859                                      |
| 50   | 599392,994                                      |
| 75   | 585423,941                                      |
| 100  | 576688,964                                      |

Tabel 4.10 tabel *heat transfer flux of liner* pada variasi CNG di TDC.



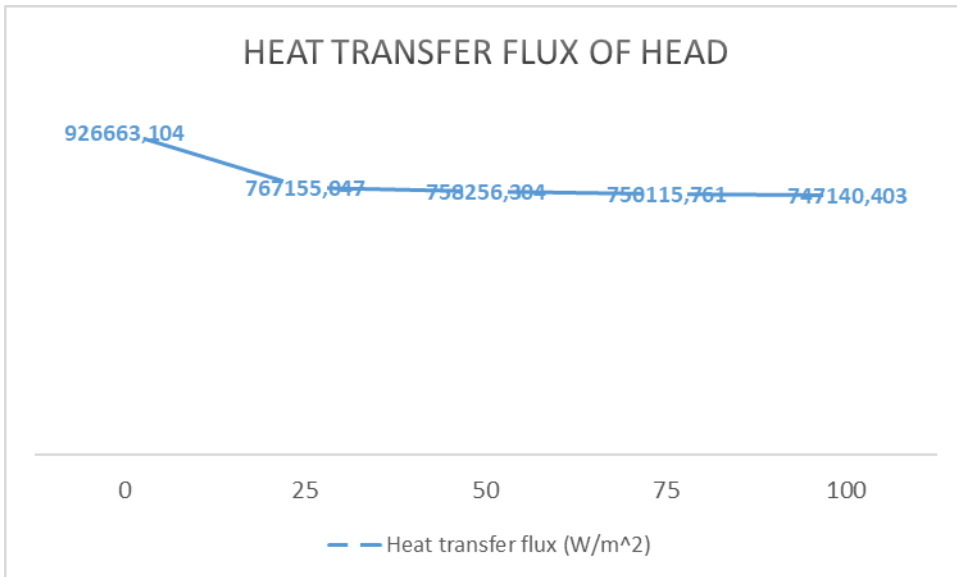
Grafik 4.9 Grafik hubungan antara heat transfer flux of liner dengan variasi CNG-DO pada TDC.

Grafik 4.9 menggambarkan perbedaan komposisi antara CNG dengan *diesel oil* memperngaruhi *heat transfer flux of liner*. Dapat dilihat bahwa pada kondisi 0% CNG dan 100% DO *heat transfer flux of liner* berada pada posisi tertinggi.

Berdasarkan data *heat transfer flux of head* dari berbagai macam variasi CNG-DO, didapatkan hubungan antara *heat transfer flux of head* dengan variasi CNG. Data rangkuman *heat transfer flux of head* pada kondisi  $360^\circ \text{CA}$  dapat dilihat pada tabel berikut :

| %CNG | Heat transfer flux ( $\text{W}/\text{m}^2$ ) |
|------|--|
| 0    | 926663,104                                   |
| 25   | 767155,047                                   |
| 50   | 758256,304                                   |
| 75   | 750115,761                                   |
| 100  | 747140,403                                   |

Tabel 4.11 tabel heat transfer flux of head pada variasi CNG di TDC



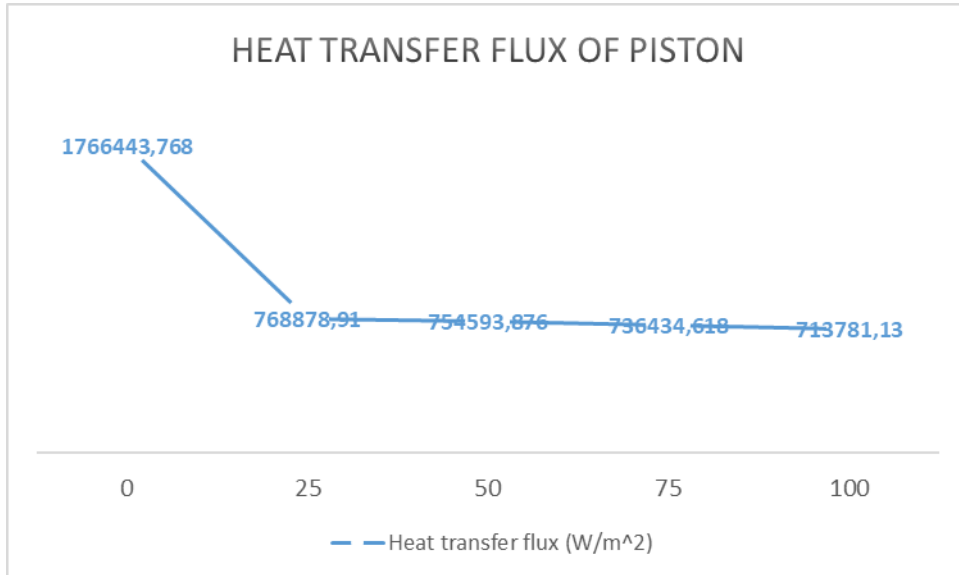
Grafik 4.10 Hubungan antara *heat transfer flux of head* dengan variasi CNG-DO pada TDC

Grafik 4.10 menggambarkan perbedaan komposisi antara CNG dengan *diesel oil* memperngaruhi *heat transfer flux of head*. Dapat dilihat bahwa pada kondisi 0% CNG dan 100% DO *heat transfer flux of head* berada pada posisi tertinggi.

Berdasarkan data *heat transfer flux of piston* dari berbagai macam variasi CNG-DO, didapatkan hubungan antara *heat transfer flux of piston* dengan variasi CNG. Data rangkuman *heat transfer flux of piston* pada kondisi TDC dapat dilihat pada tabel berikut :

| %CNG | Heat transfer flux (W/m <sup>2</sup> ) |
|------|--|
| 0    | 1766443,768                            |
| 25   | 768878,91                              |
| 50   | 754593,876                             |
| 75   | 736434,618                             |
| 100  | 713781,13                              |

Tabel 4.12 Tabel *heat transfer flux of piston* pada variasi CNG di TDC

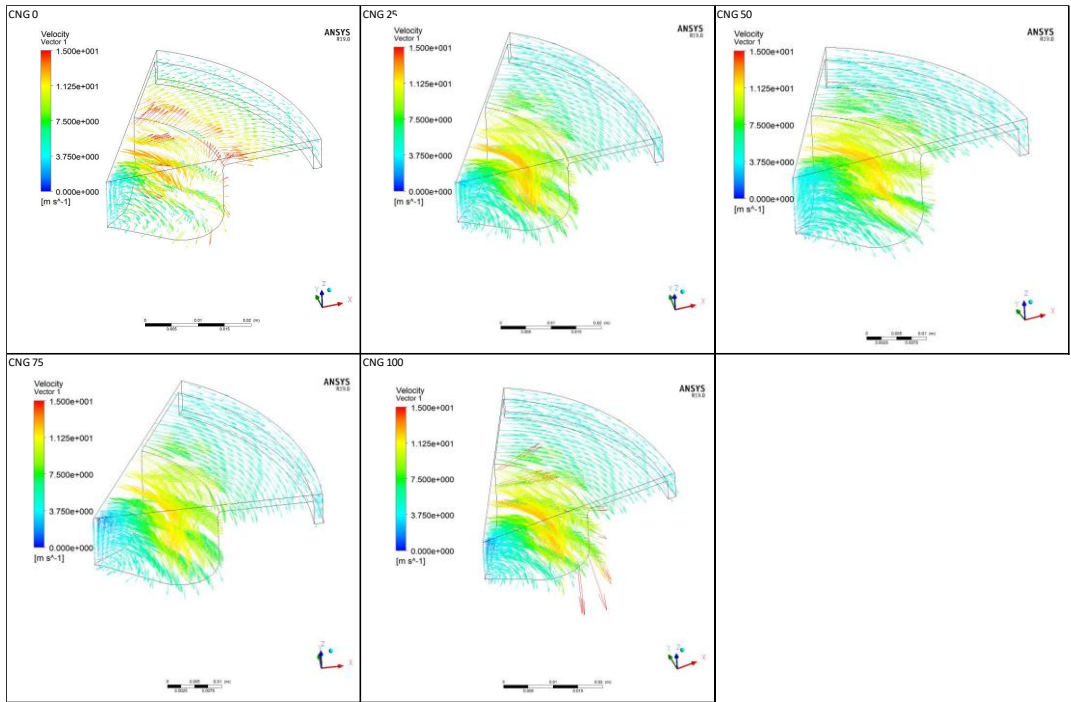


Grafik 4.11 Hubungan antara heat transfer flux of piston dengan variasi CNG-DO pada TDC

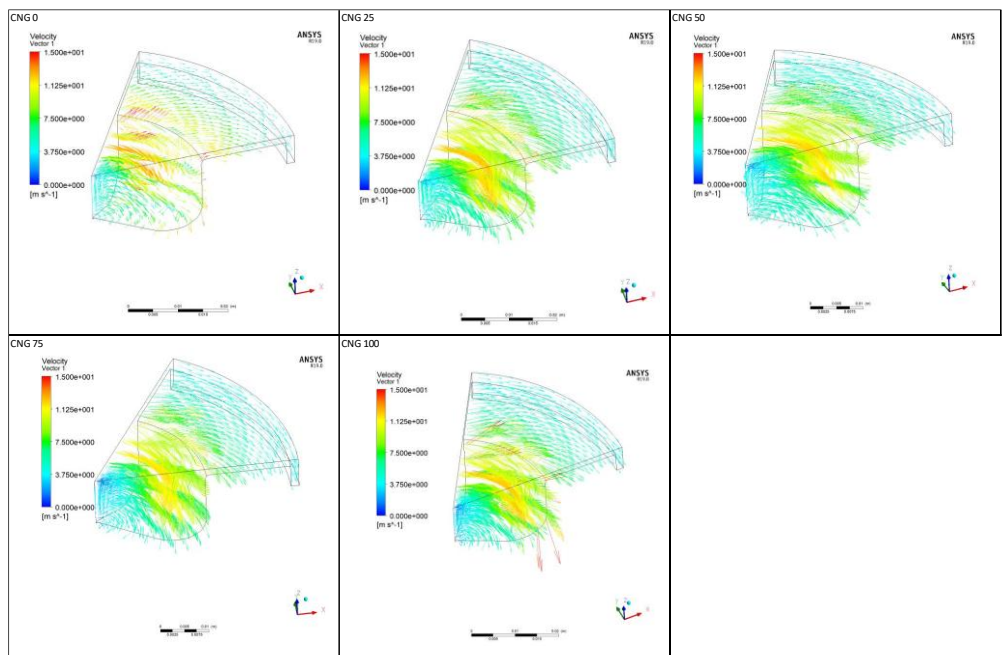
Grafik 4.11 menggambarkan perbedaan komposisi antara CNG dengan *diesel oil* memperngaruhi *heat transfer flux of piston*. Dapat dilihat bahwa pada kondisi 0% CNG dan 100% DO *heat transfer flux of piston* berada pada posisi tertinggi.

#### 4.6.4 Velocity of fluids

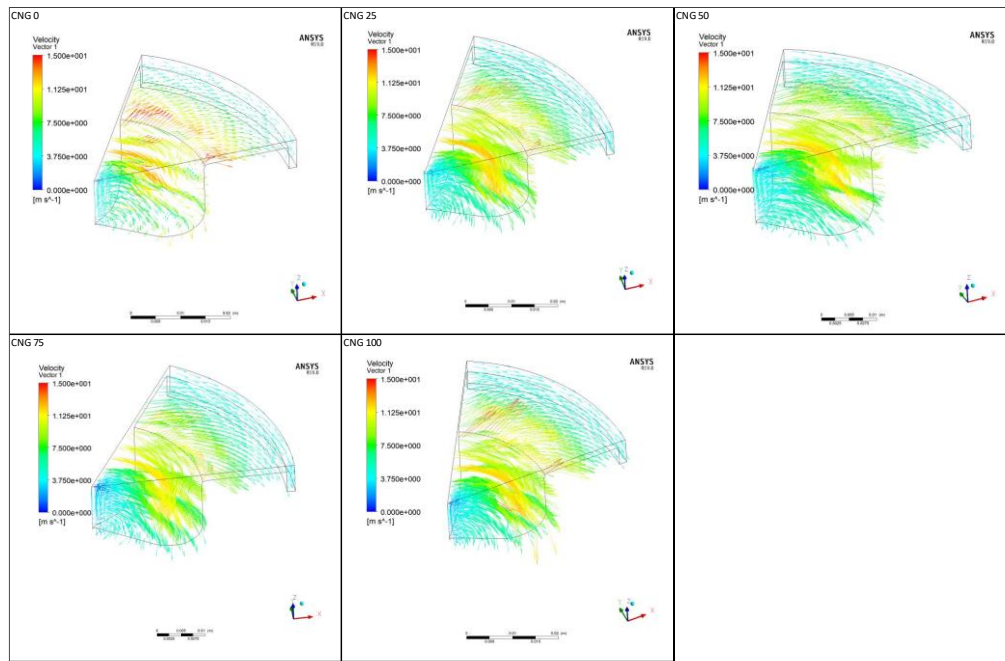
Dari hasil iterasi juga dapat divisualisasikan kecepatan laju fluida di dalam *combustion chamber*. Hasil visualisasi dari *velocity* fluida menunjukkan pergerakan atau arah dari fluida yang ditunjukkan dengan *vector* serta kecepatan laju fluida di dalam *combustion chamber* dengan pewarnaan. Berikut merupakan visualisasi dari *velocity (m/s)* fluida yang terjadi di ruang bakar pada berbagai macam komposisi CNG-DO di TDC setelah dilakukan proses iterasi :



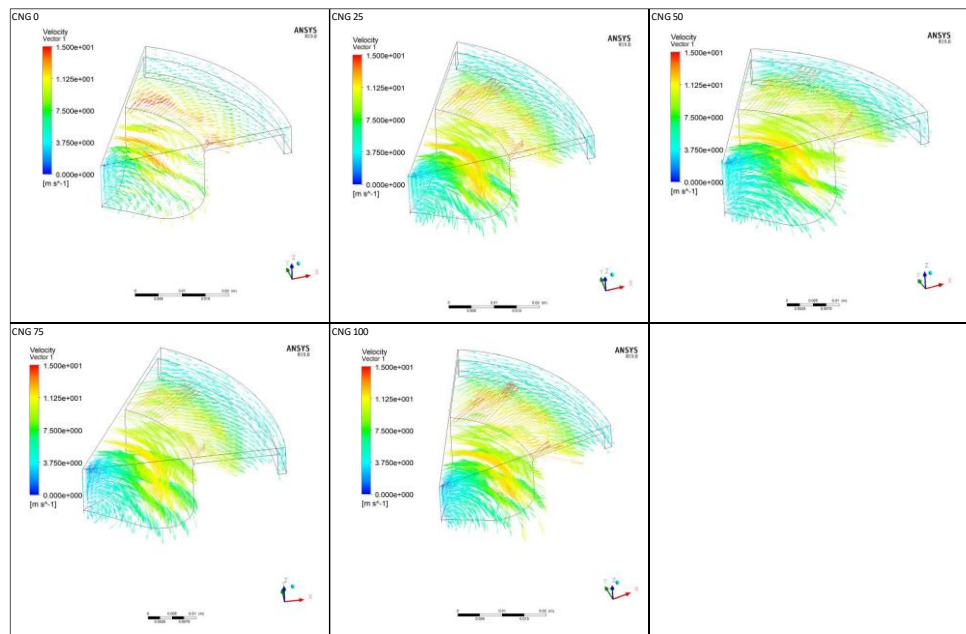
Gambar 4.20 Vektor Velocity TDC dengan variasi campuran bahan bakar.



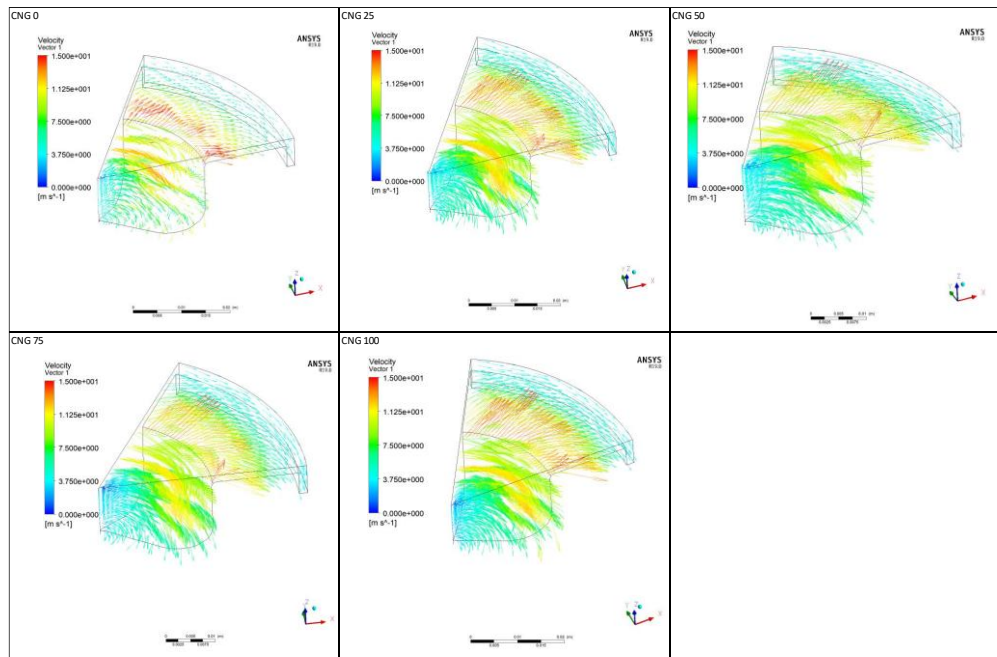
Gambar 4.21 Vektor Velocity 1° ATDC dengan variasi campuran bahan bakar.



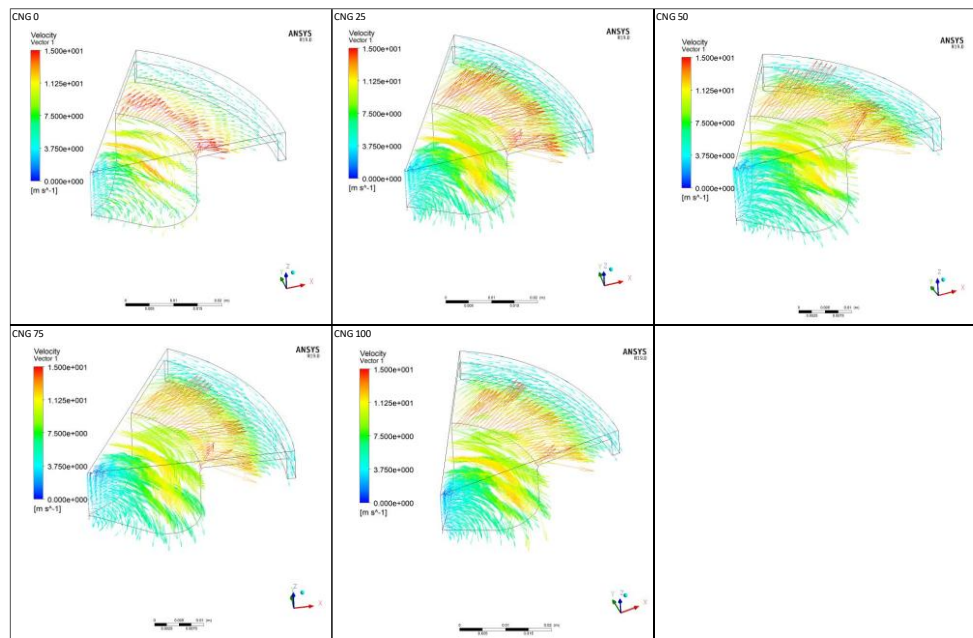
Gambar 4.22 Vektor Velocity 2° ATDC dengan variasi campuran bahan bakar.



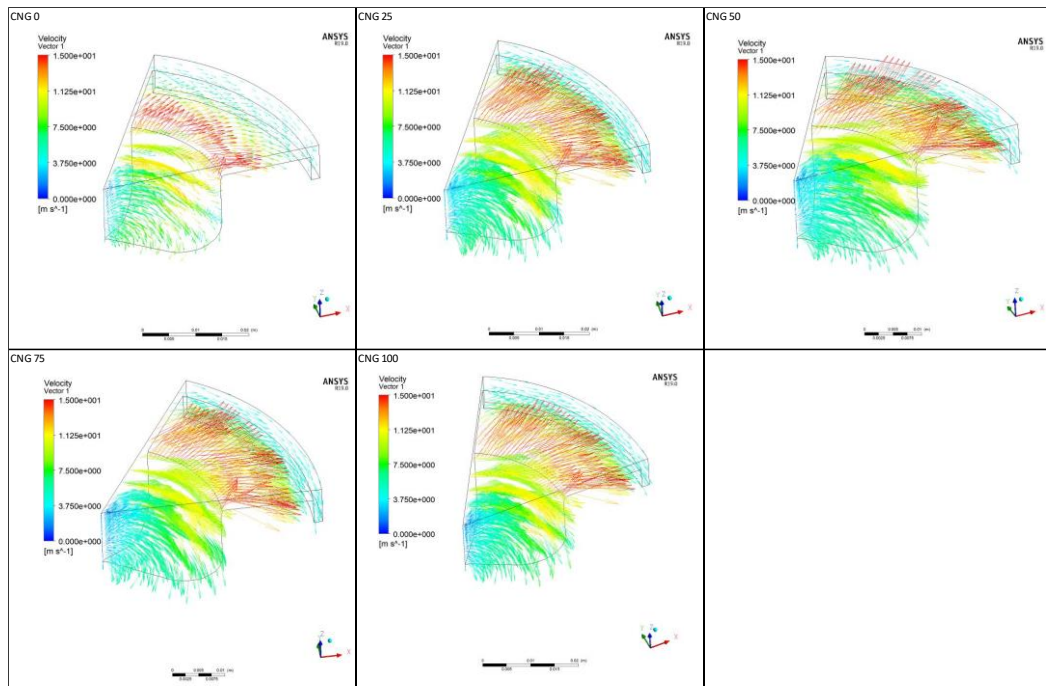
Gambar 4.23 Vektor Velocity 3° ATDC dengan variasi campuran bahan bakar.



Gambar 4.24 Vektor Velocity 4° ATDC dengan variasi campuran bahan bakar.



Gambar 4.25 Vektor Velocity 5° ATDC dengan variasi campuran bahan bakar.



Gambar 4.26 Vektor Velocity  $10^0$  ATDC dengan variasi campuran bahan bakar.

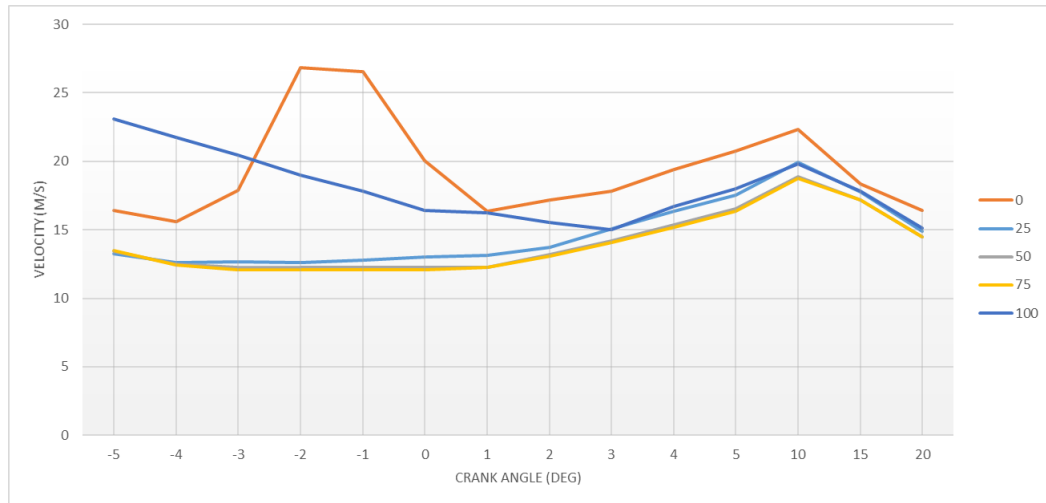
Berdasarkan hasil simulasi vektor *velocity* dari berbagai macam variasi CNG-DO, dapat dilihat bahwa terjadi *swirl* dan *tumble* pada *combustion chamber* ketika piston berada di sekitar TDC. Gerakan fluida secara *swirl* yaitu ketika aliran fluida bergerak secara rotasi sejajar dengan sumbu silinder. Sedangkan gerakan fluida secara *tumble* yaitu fluida bergerak secara tegak lurus dengan sumbu silinder. Dari gambar hasil iterasi dapat dilihat bahwa terjadi *tumble* pada daerah *piston bowl*. Sedangkan *swirl* terjadi pada bagian datar dari *piston crown*.

Dapat kita lihat dari hasil iterasi bahwa warna pada vector *velocity* di ruang bakar menunjukkan seberapa cepat fluida di ruang bakar bergerak, contohnya pada komposisi CNG 50%. Pada variasi ini terlihat pada TDC campuran udara dengan CNG-DO bercampur dan terkumpul pada *bowl* karena gerak piston menuju TDC sehingga terjadi *tumble* di bagian *bowl* dan *swirl* di bagian datar dari *piston crown*. Pada  $1^0$  ATDC menunjukkan arah vector yang terkumpul pada *bowl* mulai menuju ke bagian datar dari *piston crown* hingga pada  $15^0$  ATDC flow dari fluida mengalami laju yang tinggi dan mengarah pada *cylinder head*. Selanjutnya pada  $20^0$  ATDC flow fluida mengarah ke BDC.

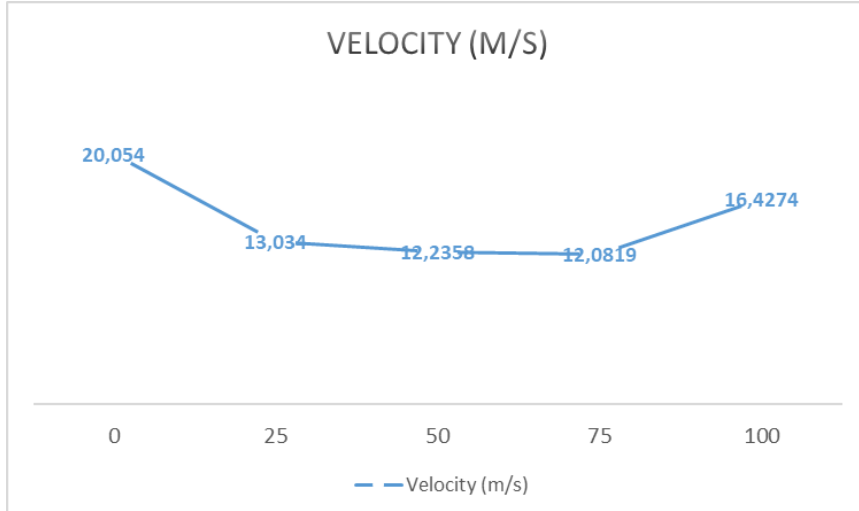
Data rangkuman *velocity* fluida di ruang bakar pada kondisi TDC dapat dilihat pada tabel berikut :

| %CNG | Velocity (m/s) |         |         |         |         |         |         |         |         |         |         |         |         |         |
|------|----------------|---------|---------|---------|---------|---------|---------|---------|---------|---------|---------|---------|---------|---------|
|      | -5             | -4      | -3      | -2      | -1      | 0       | 1       | 2       | 3       | 4       | 5       | 10      | 15      | 20      |
| 0    | 16,4           | 15,581  | 17,891  | 26,8651 | 26,5775 | 20,054  | 16,333  | 17,1685 | 17,8224 | 19,4014 | 20,7573 | 22,35   | 18,3583 | 16,4258 |
| 25   | 13,2484        | 12,6236 | 12,6414 | 12,6357 | 12,8107 | 13,034  | 13,1376 | 13,7415 | 15,0808 | 16,3343 | 17,553  | 19,9101 | 17,748  | 14,8724 |
| 50   | 13,4021        | 12,4951 | 12,2491 | 12,265  | 12,2627 | 12,2358 | 12,2852 | 13,1831 | 14,2014 | 15,3408 | 16,5583 | 18,8737 | 17,16   | 14,51   |
| 75   | 13,4592        | 12,4488 | 12,0855 | 12,0745 | 12,0546 | 12,0819 | 12,2755 | 13,0898 | 14,0754 | 15,1884 | 16,3827 | 18,7465 | 17,168  | 14,464  |
| 100  | 23,0661        | 21,7716 | 20,473  | 18,9921 | 17,8157 | 16,4274 | 16,2119 | 15,5416 | 15,0322 | 16,6882 | 18,0097 | 19,8036 | 17,8013 | 15,1471 |

Tabel 4.13 Velocity di ruang bakar pada berbagai variasi CNG



Grafik 4.12 Hubungan antara velocity di ruang bakar dengan variasi CNG-DO



Grafik 4.13 Hubungan antara velocity di ruang bakar dengan variasi bahan bakar pada TDC

Grafik 4.12 menunjukkan hubungan antara velocity fluida di ruang bakar dengan variasi campuran CNG-DO. Dapat dilihat bahwa pada kondisi 0% CNG dan 100% DO velocity fluida berada pada posisi tertinggi. Sedangkan pada kondisi 75% CNG velocity fluida di ruang bakar berada pada posisi terendah.

*Velocity* pada berbagai variasi bahan bakar mengalami peningkatan *speed* setelah melewati TDC.

Pada kondisi TDC juga menunjukkan variasi 100% DO juga paling tinggi dibandingkan dengan variasi lainnya. Semakin cepat *velocity* fluida di ruang bakar, maka semakin cepat juga bahan bakar tercampur dengan udara sehingga semakin cepat juga proses pembakaran pada *combustion chamber*.

## BAB V

### KESIMPULAN DAN SARAN

#### **5.1 Kesimpulan**

Kesimpulan yang dapat diambil dari pengerajan tugas akhir ini sebagai berikut :

1. Perbedaan variasi bahan bakar dengan berat yang sama pada setiap variasinya mempengaruhi *pressure*, *temperature*, dan *velocity of fluids* di ruang bakar. *Pressure*, *temperature*, dan *velocity of fluids* di dalam ruang bakar dengan nilai tertinggi berada pada variasi CNG 0% dan DO 100%. Untuk nilai *pressure* tertinggi yaitu 84,76 bar, nilai *temperature* tertinggi yaitu 2174,77 K, nilai *velocity of fluids* tertinggi yaitu 26,8651 m/s.
2. Untuk *heat transfer flux* baik pada *liner*, *head*, dan *piston* nilai tertinggi diraih pada variasi 0% CNG dan 100% DO. Pada variasi campuran bahan bakar dari CNG 25% hingga CNG 100% nilai *heat transfer flux* mengalami penurunan walaupun tidak ekstrim.

#### **5.2 Saran**

Dengan selesainya tugas akhir ini, bukan berarti tujuan dari peneitian ini selesai. Dapat dilakukan penyempurnaan pada tugas akhir ini untuk penelitian lebih lanjut. Maka, saran untuk pengembangan tugas akhir ini yaitu :

1. Perlu dilakukan *experiment test* secara langsung pada mesin diesel modifikasi CNG-DO untuk mengetahui pengaruh perbedaan komposisi CNG-DO dan berapa komposisi bahan bakar CNG-DO untuk mendapatkan hasil yang lebih detail.
2. Perlu dilakukan pengujian lebih lanjut terhadap *treatment* untuk CNG sebelum diinjeksikan ke ruang bakar serta injeksi bahan bakar untuk mengetahui berapa volume yang optimal untuk injeksi CNG di *intake port* dan DO sebagai *pilot injection*, karena dalam simulasi ini berat bahan bakar yang diinjeksikan disesuaikan dengan perhitungan termodinamika untuk pembakaran yang sempurna pada bahan bakar *diesel oil*. Sehingga berat bahan bakar campuran CNG-DO juga mengikuti berat dari bahan bakar *diesel oil* ketika diinjeksikan.

*“Halaman ini sengaja dikosongkan”*

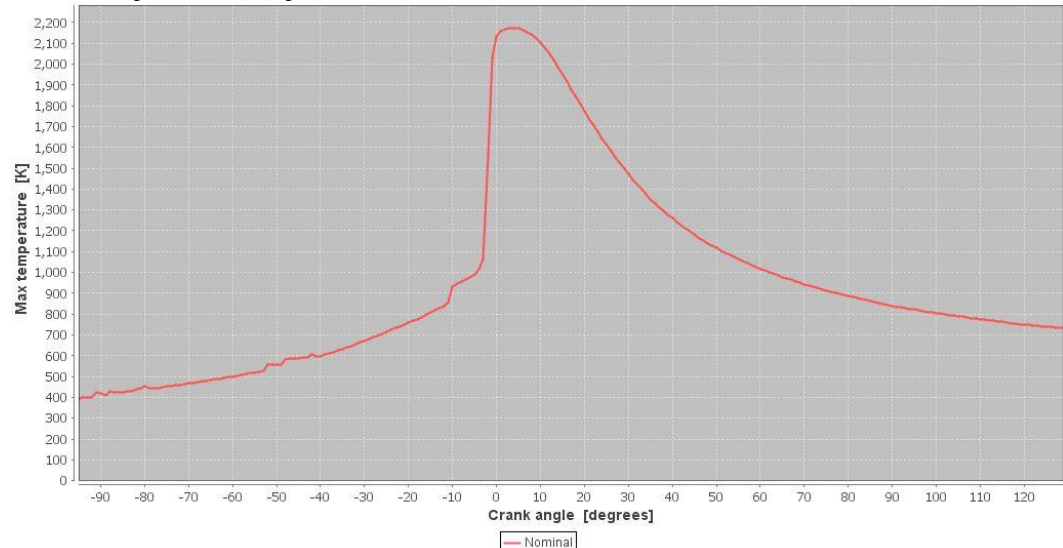
## DAFTAR PUSTAKA

- Afon Y., Ervin D., 2008, *An Assessment of Air Emissions from Liquefied Natural Gas Ships Using Different Power Systems and Different Fuels*, Journal of the Air & Waste Management Association, Vol. 58, March 2008, pp.404-411.
- Akira S., Wagenji M., 2014, *Dual Fuel Engine Gas Fuel Conversion Technology*, JFE Technical Report No. 19, March 2014, Research Center of Engineering Innovation, JFE Engineering.
- Bawankar C., Gupta R., 2016, *Effect of Piston Bowl Geometry on Combustion and Emission Characteristic on Diesel Engine: A CFD Case Study*, International Journal of Research in Engineering and Technology (IJRET), Volume 05, Issue 07, July 2016, pp. 81-93.
- Cheenkachorn K., Poompipatpong C., Ho C.G., 2013, *Performance and Emissions of a Heavy-Duty Diesel Engine Fuelled with Diesel and LNG (Liquid Natural Gas)*, Journal of Energy, Vol. 53, pp. 52-57.
- Douvartzides S., Karmalis I., 2016, *Thermal Design of a Natural Gas – Diesel Dual Fuel Turbocharged V18 Engine for Ship Propulsion and Power Plant Applications*, 20<sup>th</sup> Innovative Manufacturing Engineering and Energy Conference (IManEE 2016), IOP Converence Series: Material Science and Engineering 161, pp. 1-10.
- Ismail M.M., Zulkifli F.H., Fawzi M., Osman S.A., 2016, *Conversion Method of a Diesel Engine to a CNGDiesel Dual Fuel Engine and Its Financial Savings*, ARPN Journal of Engineering and Applied Sciences, Vol. 11, No. 8, April 2016, pp. 5078-5083.
- Jafarzadeh S., Paltrinieri N., Utne I.B., Ellingsen H., 2017, *LNG-Fuelled Fishing Vessels: a Systems Engineering Approach*, Transportation Research Part D: Transport and Environment 2017. 50: pp. 202-222.
- Hanrahan, Michael. 2006. *Marine CNG – The New Stranded Gas Solution*, <URL: [http://www.transecoenergy.com/Marine\\_CNG.htm](http://www.transecoenergy.com/Marine_CNG.htm)>
- Heywood J.B., 2018, *Fundamental of Internal Combustion Engine*, 2<sup>nd</sup> Edition, McGraw-Hill Education Publisher, USA.
- Hutter R., et al., 2017, *Low-Load Limit in a Diesel-Ignited Gas Engine*, Energies 2017, 10, 1450, pp.1-27.

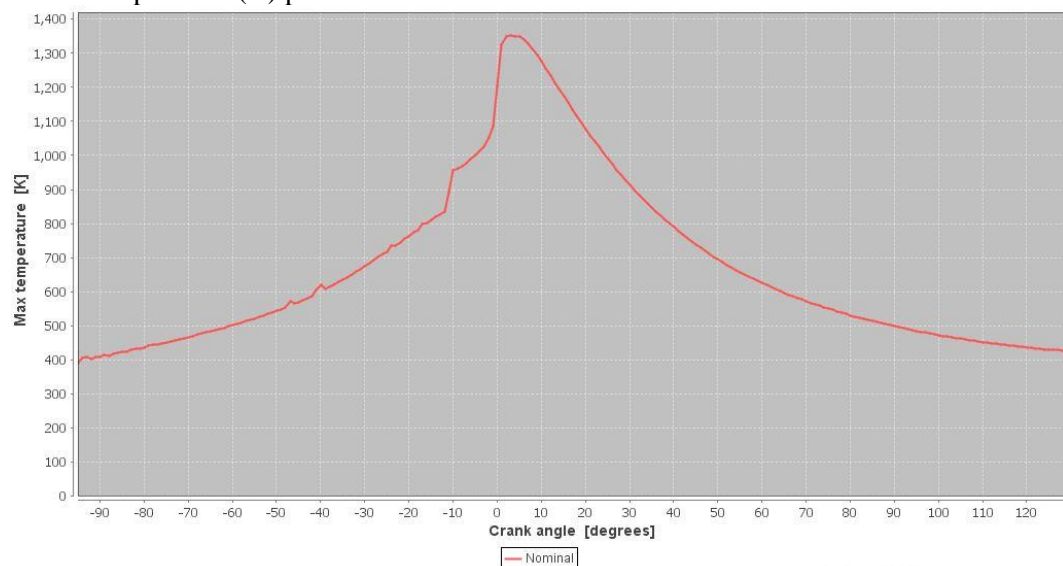
- Marques C.H., Belchior C.R.P., Caprace J.D., 2017, *An Approach to Optimise the Selection of LNG Carrier' Propulsion System*, Journal of Thermal Engineering Vol. 16, No. 1, June 2017, pp. 37-45.
- Ott T., Onder C., Guzzella L. 2013. *Hybrid-Electric Vehicle with Natural Gas-Diesel Engine*, Energies, 6, pp. 3571-3592.
- Radwan A., Morsy M., Fahmy M., 2010, *Evaluation of Using Natural Gas as a Fuel for LNG Carriers "Application of Marine Gas Turbines"*, Paper No. 297. CIMAC Congress 2010, Bergen, pp. 1-7.
- Semin., et al., 2018, *Technical Review of Fin Addition Analysis of Air Intake Valve on Gas-Oil Fuel Engine*, International Journal of Marine Engineering Innovation and Research, Vol. 2(3), June. 2018. 216-224 (pISSN:2541-5972, eISSN: 2548-1479).
- Taritas I., et al., 2017, *The Effect of Operating Parameters on Dual Engine Performance and Emissions - An Overview*, Transactions of Famaea XLI-1. Pp. 1-14.
- Theotokatos G., Stoumpos S., Lazakis I., 2016, *Numerical Study of a Marine Dual-Fuel Four-Stroke Engine*, Proceedings of the 3rd International Conference on Maritime Technology and Engineering (MARTECH 2016), Lisbon, 4-6 July 2016, Portugal.
- Wei L., Geng P., 2016, *A Review on Natural Gas/Diesel Dual Fuel Combustion, Emissions and Performance*, Fuel Processing Technology 142, Elsevier, pp. 264-278.

## LAMPIRAN

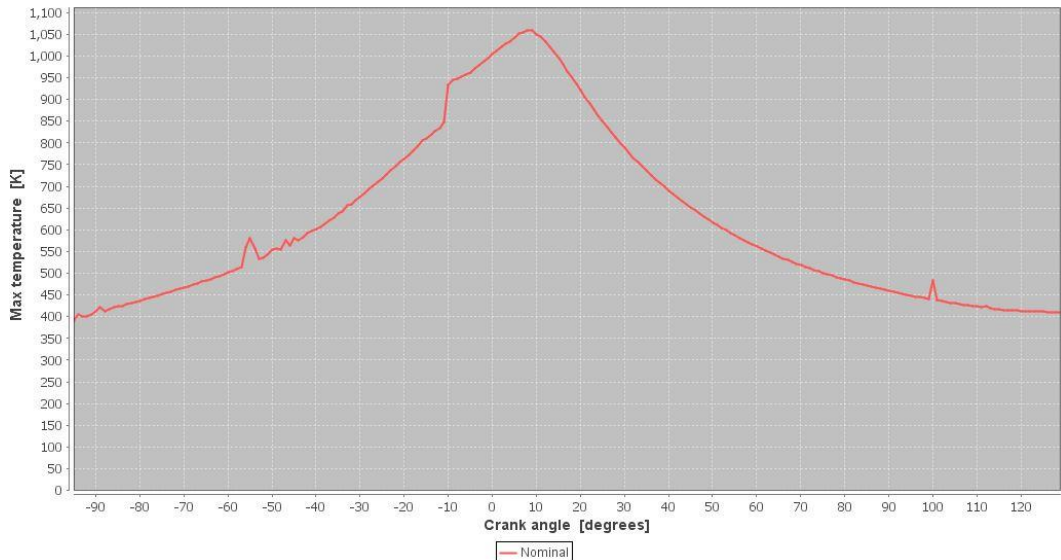
Max. Temperature (K) pada variasi CNG 0% dan DO 100%



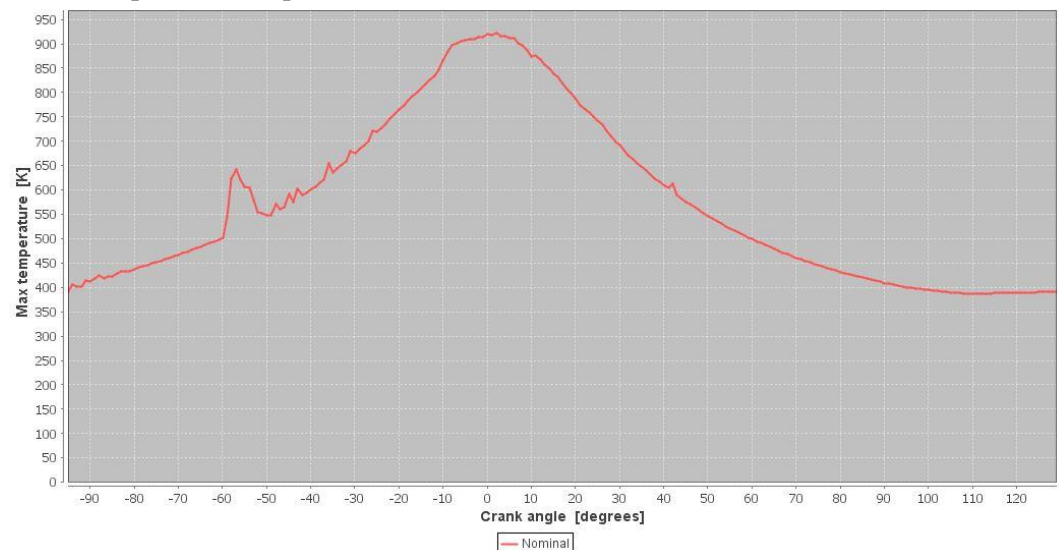
Max. Temperature (K) pada variasi CNG 25% dan DO 75%



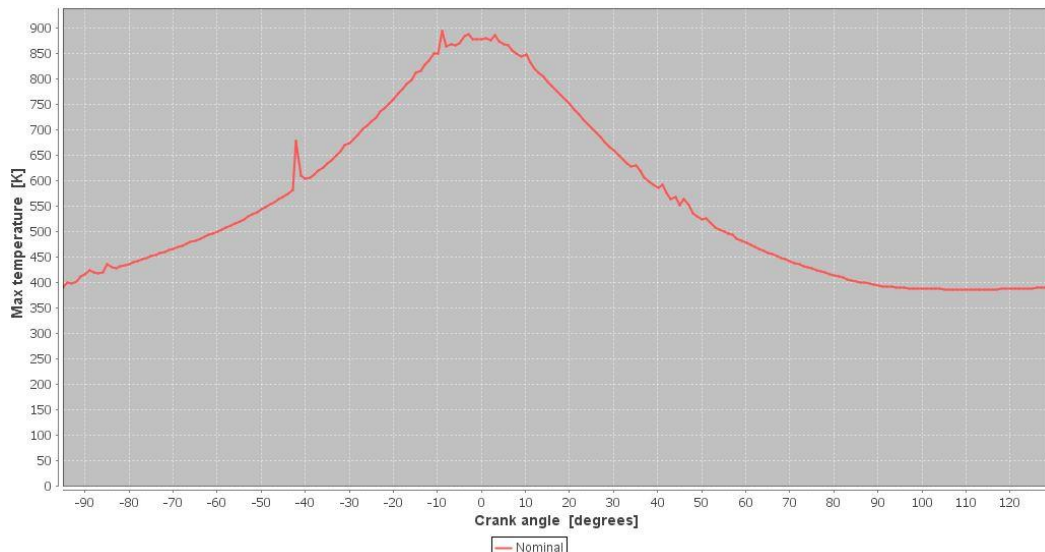
Max. Temperature (K) pada variasi CNG 50% dan DO 50%



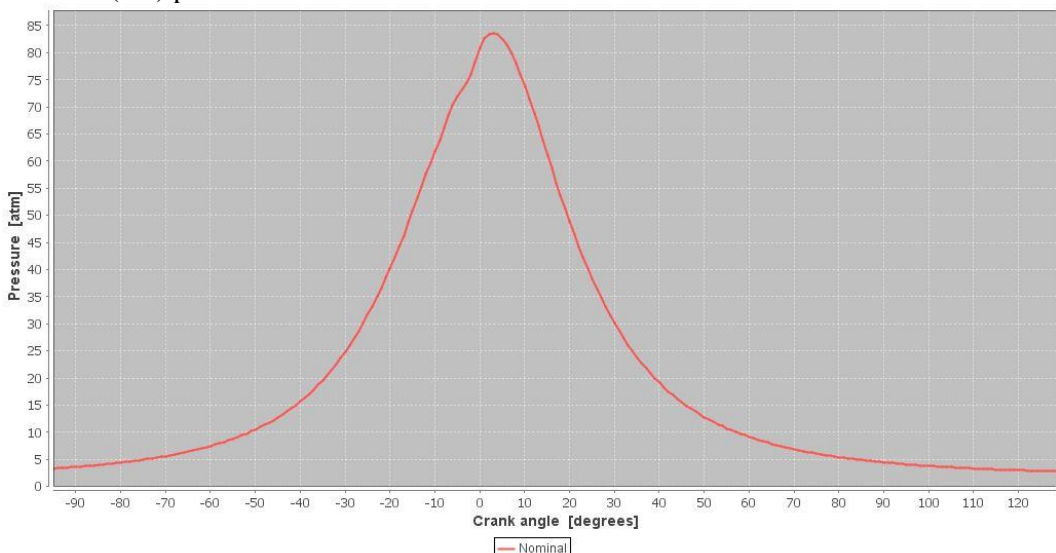
Max. Temperature (K) pada variasi CNG 75% dan DO 25%



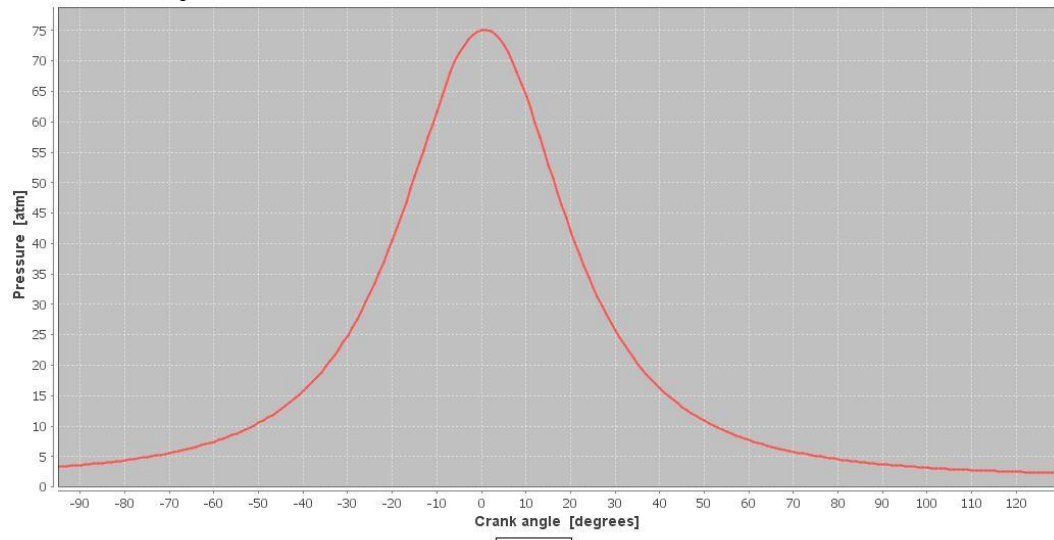
Max. Temperature (K) pada variasi CNG 100% dan DO 0%



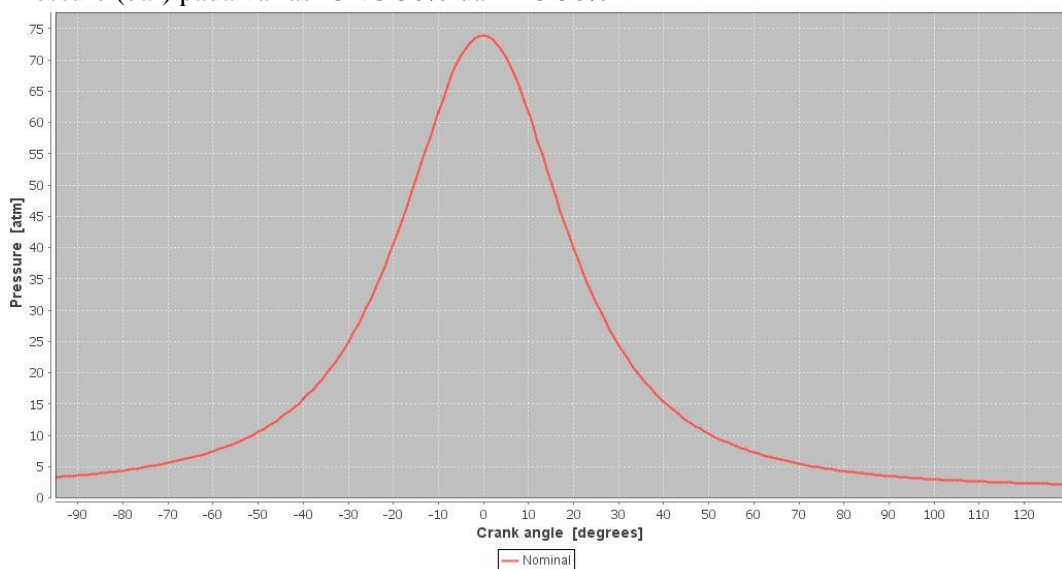
Pressure (bar) pada variasi CNG 0% dan DO 100%



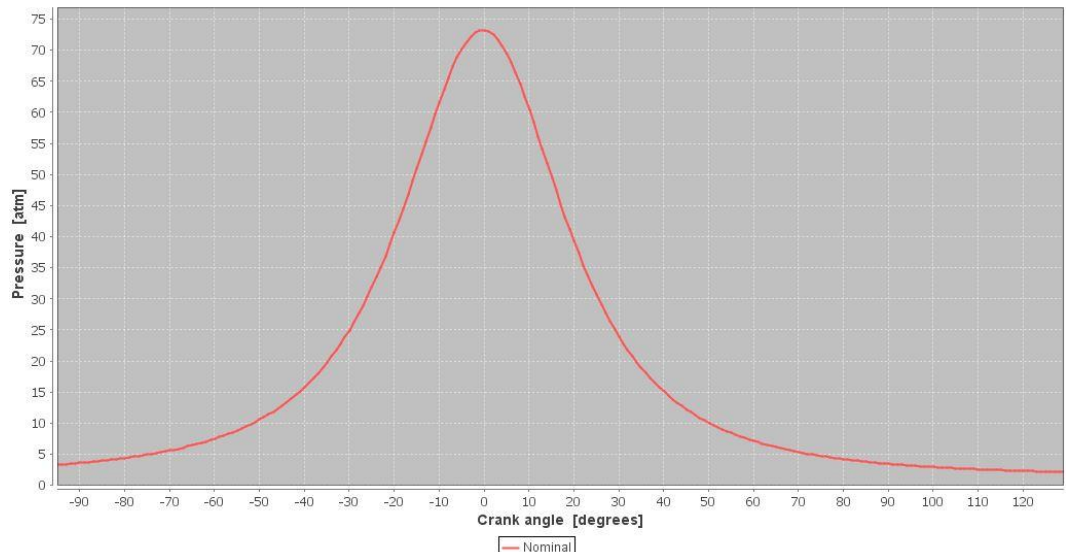
Pressure (bar) pada variasi CNG 25% dan DO 75%



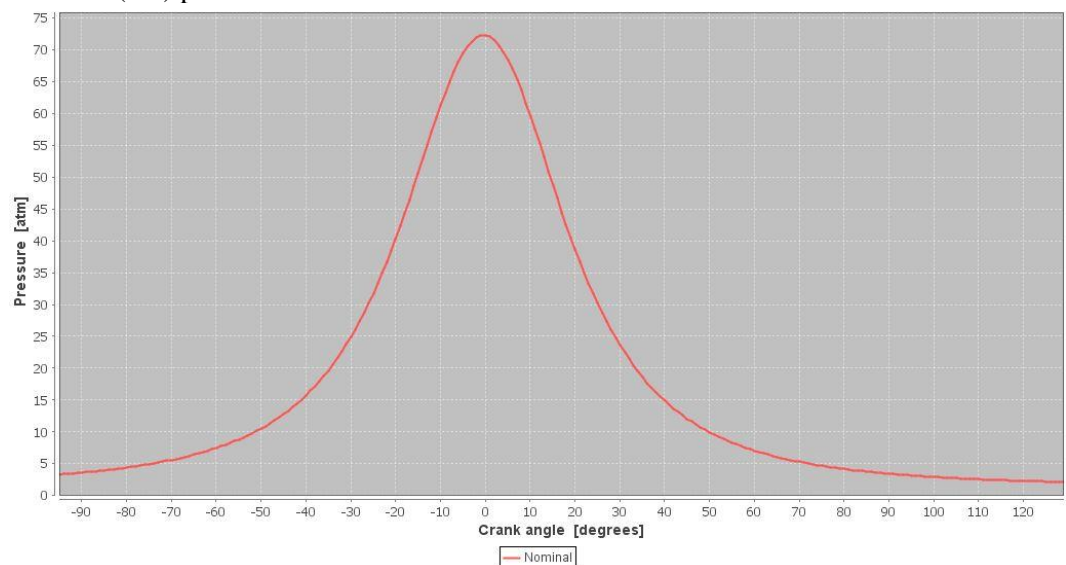
Pressure (bar) pada variasi CNG 50% dan DO 50%



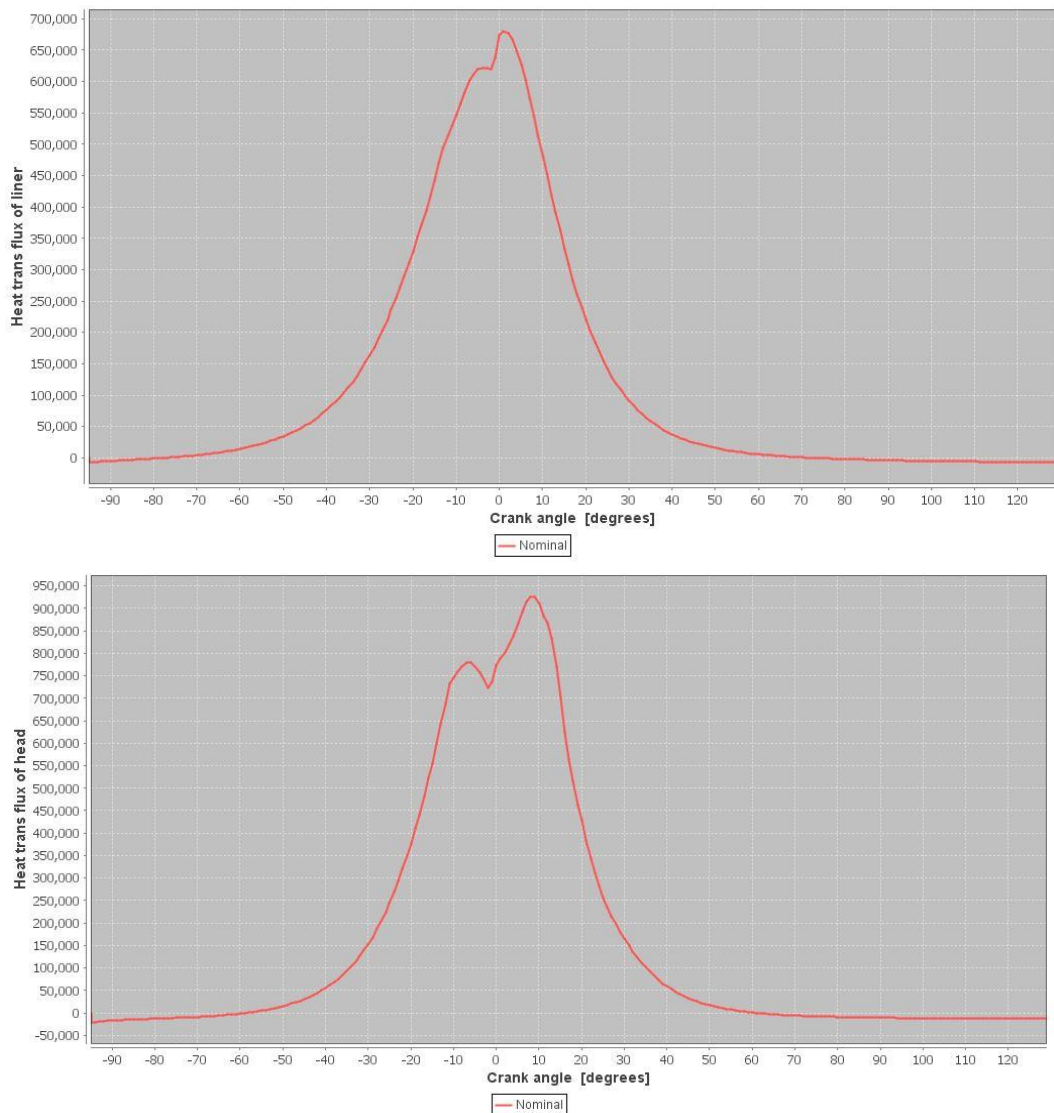
Pressure (bar) pada variasi CNG 75% dan DO 25%

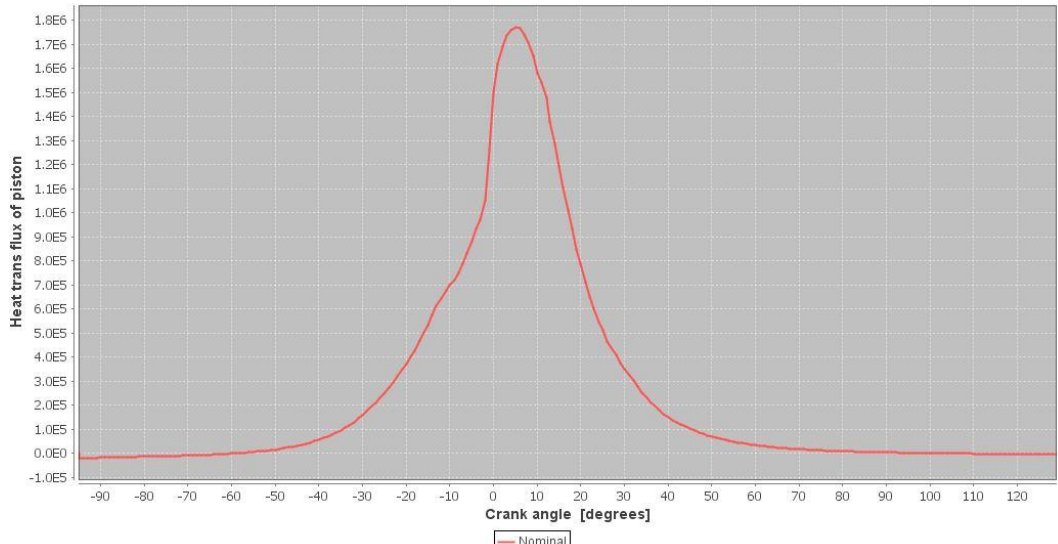


Pressure (bar) pada variasi CNG 100% dan DO 0%

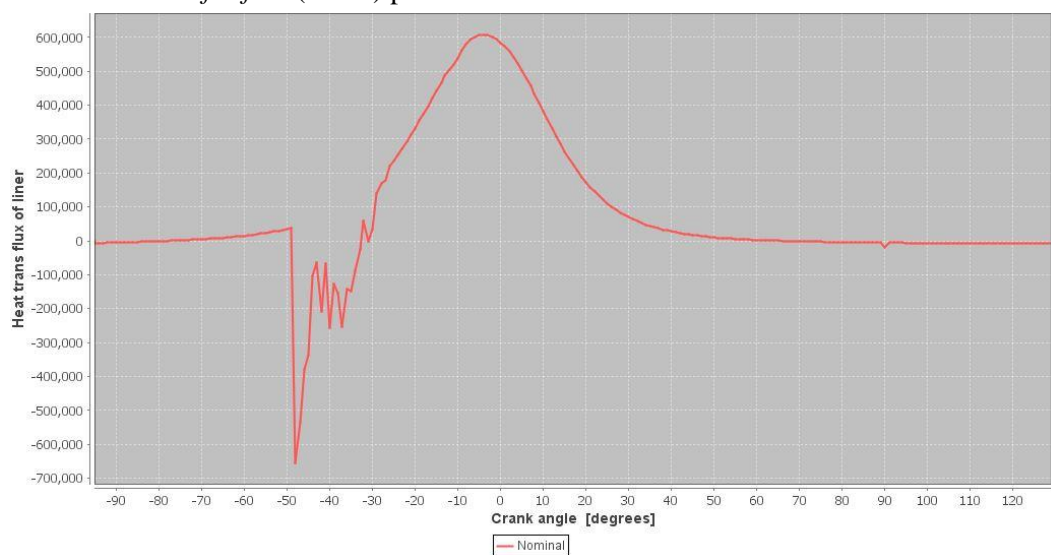


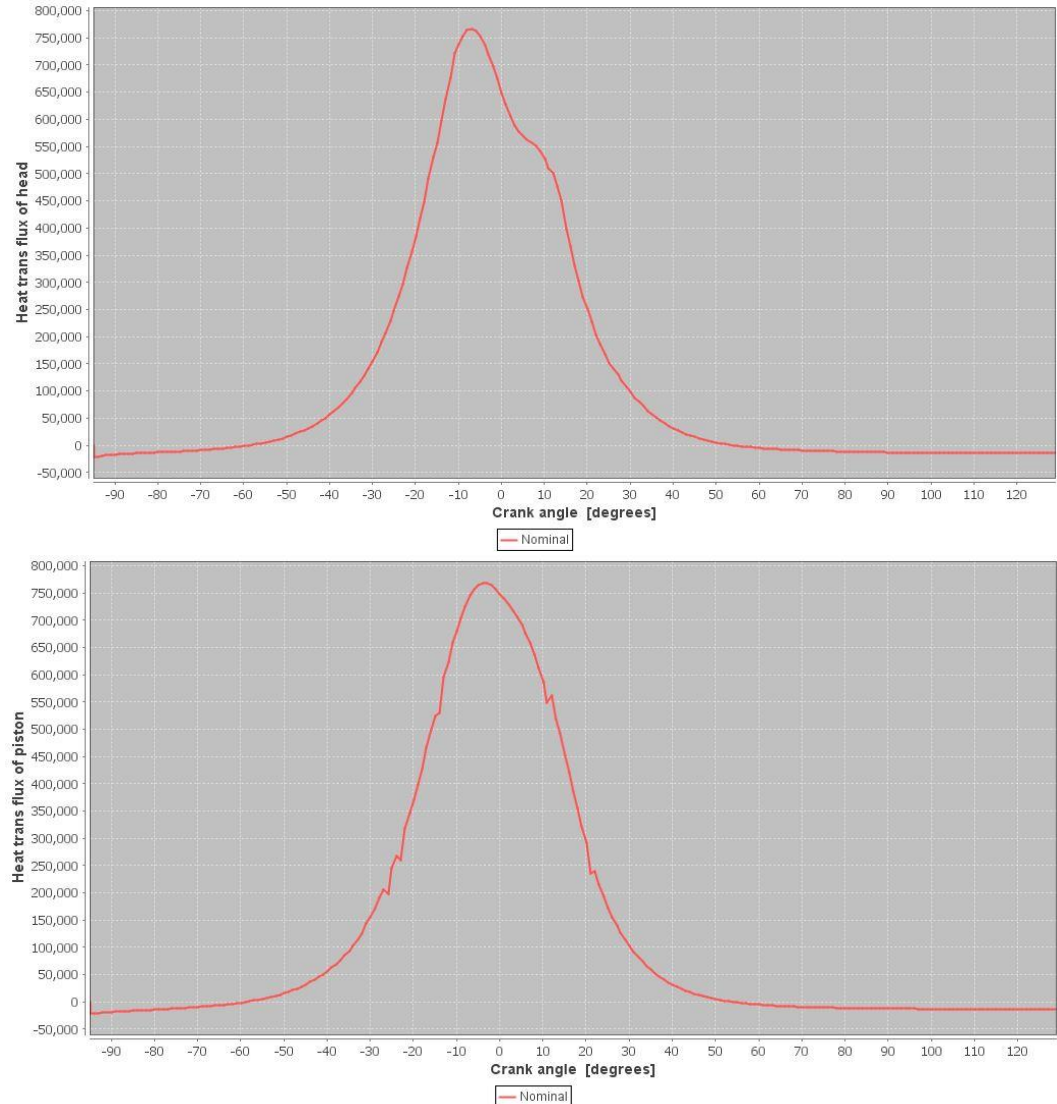
Grafik *heat transfer flux* ( $\text{W/m}^2$ ) pada variasi CNG 0% dan DO 100%



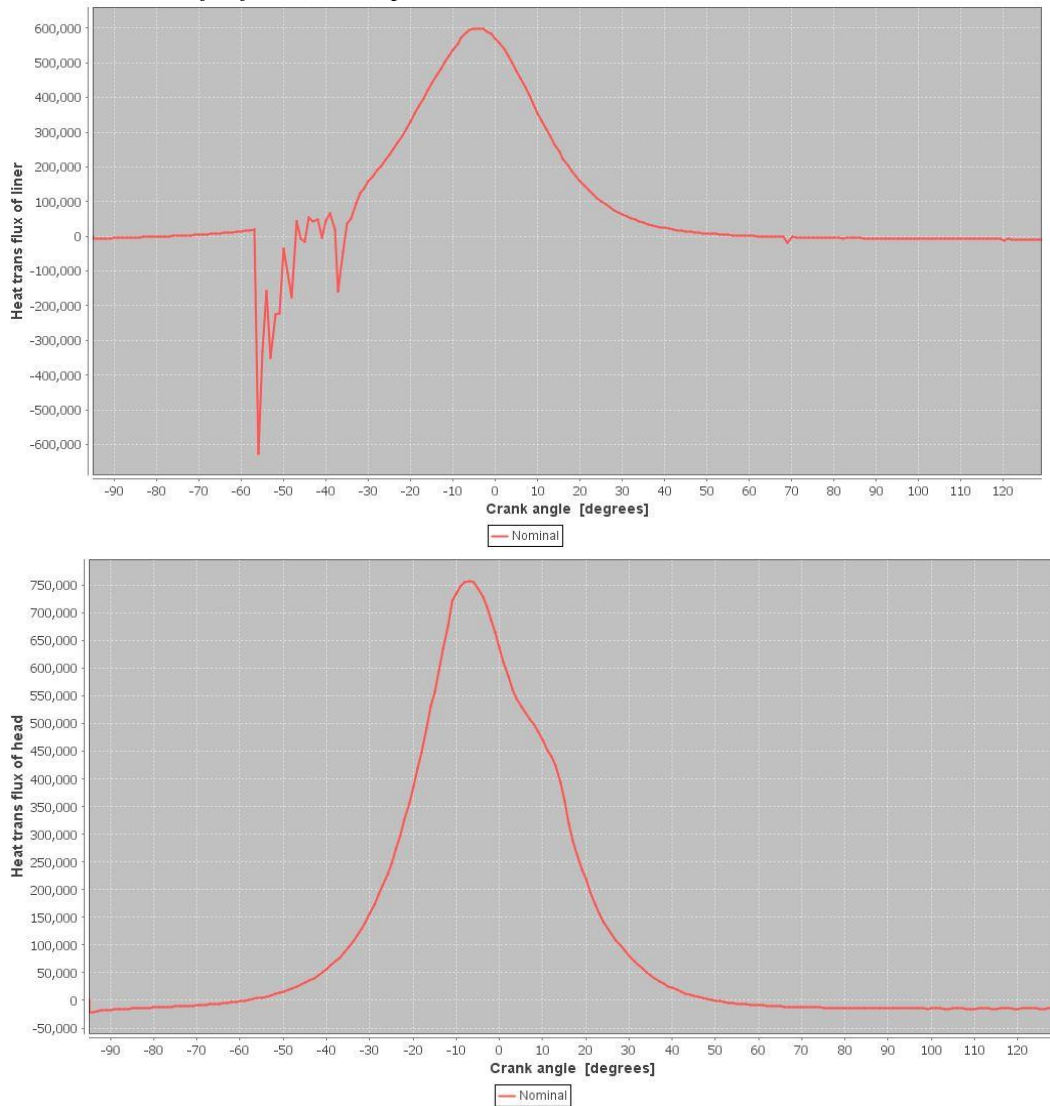


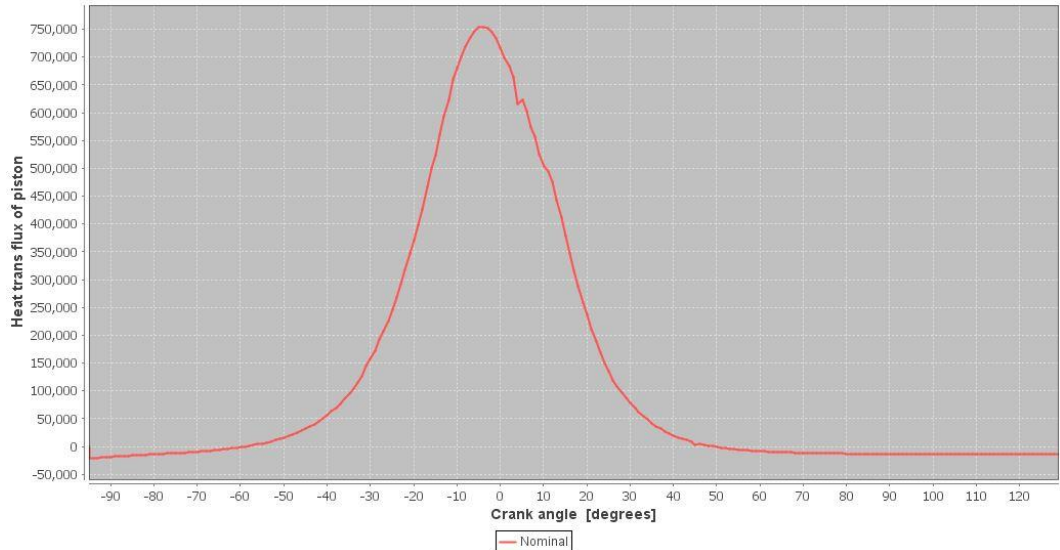
Grafik *heat transfer flux* ( $\text{W}/\text{m}^2$ ) pada variasi CNG 25% dan DO 75%



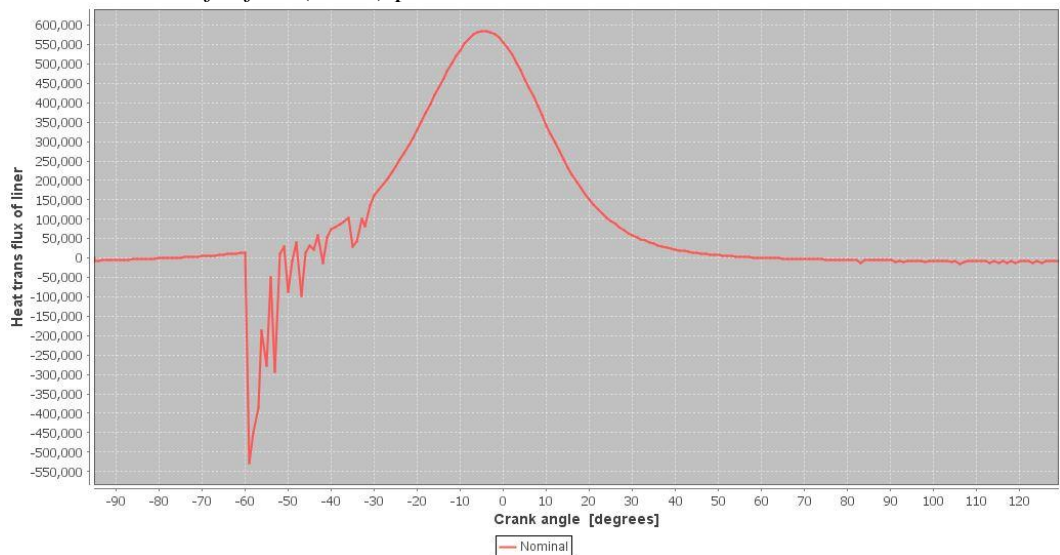


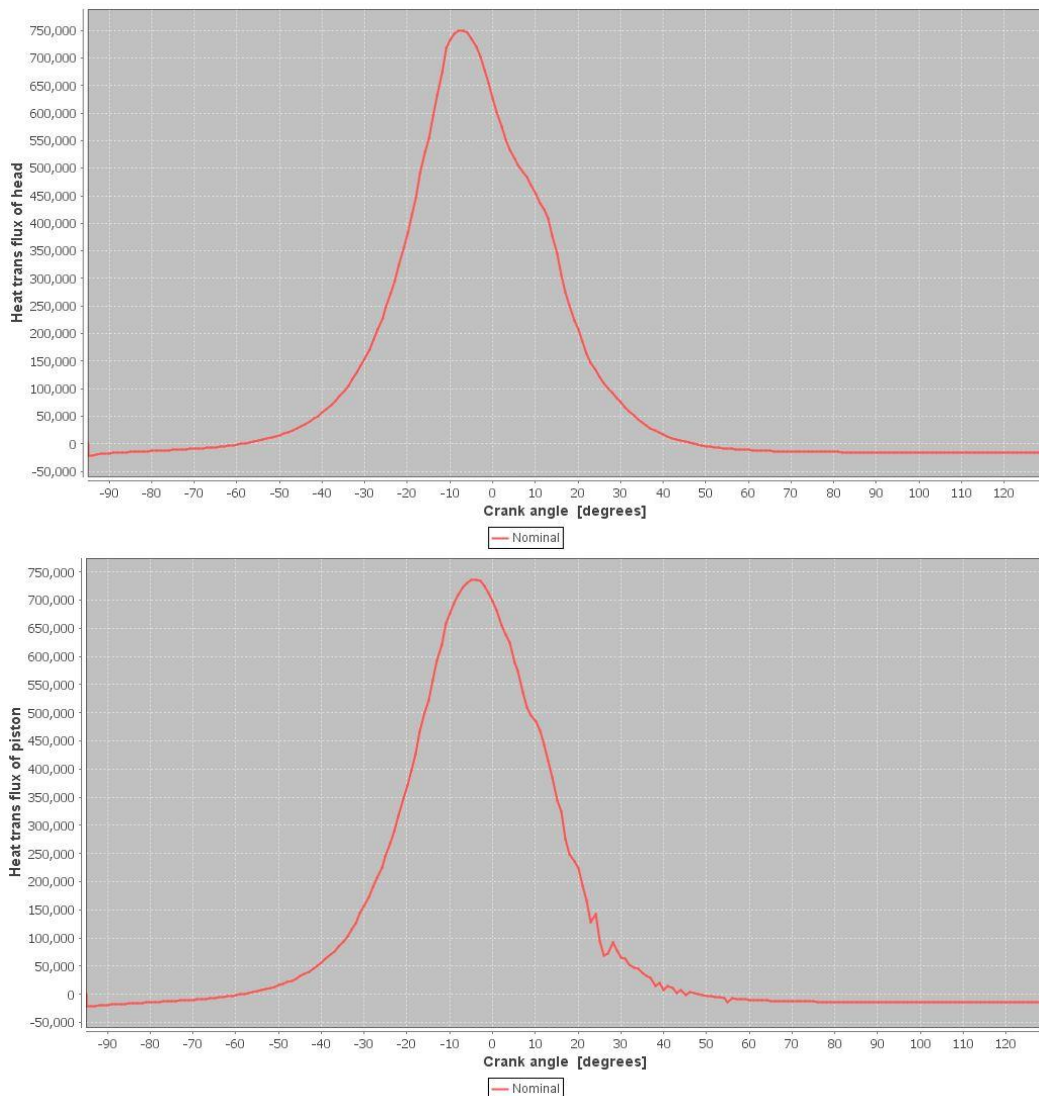
Grafik *heat transfer flux* ( $\text{W/m}^2$ ) pada variasi CNG 50% dan DO 50%



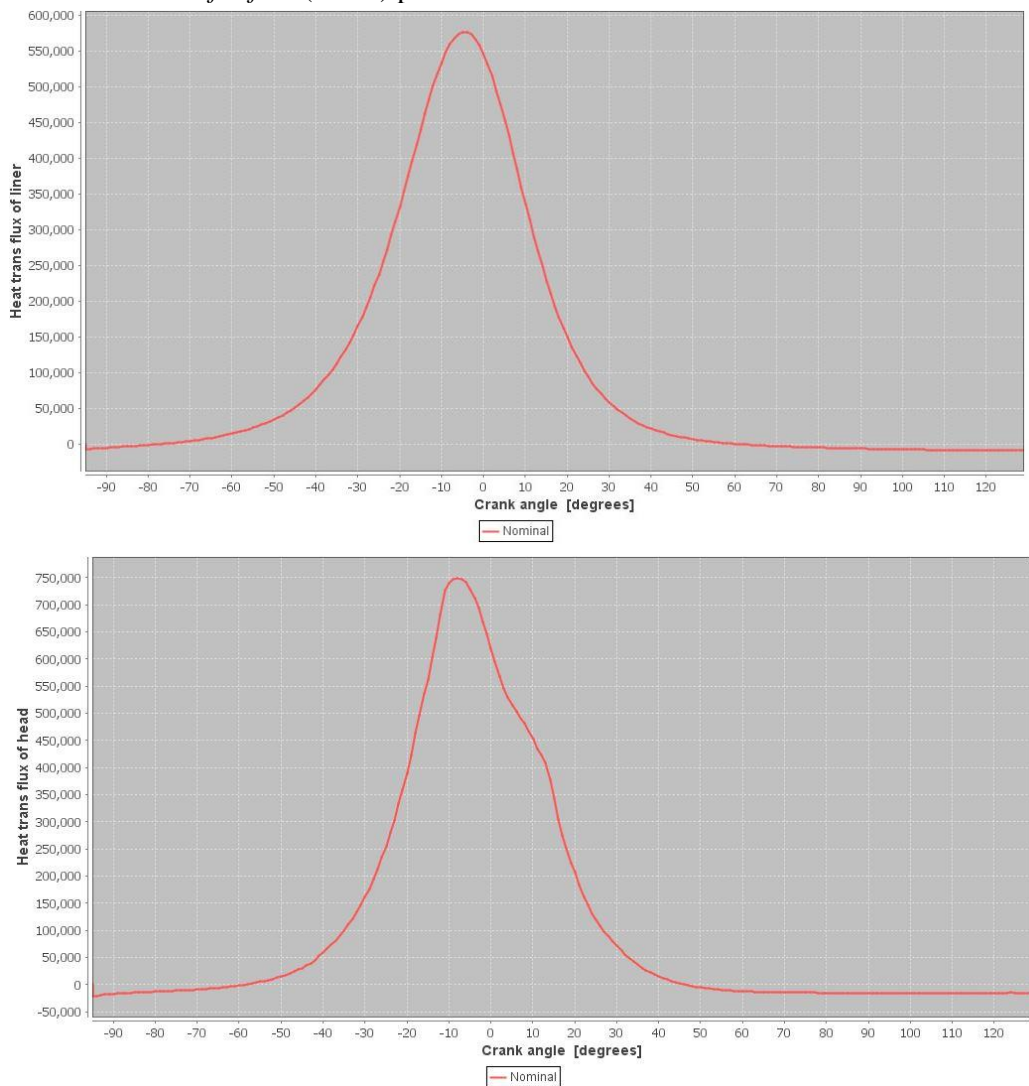


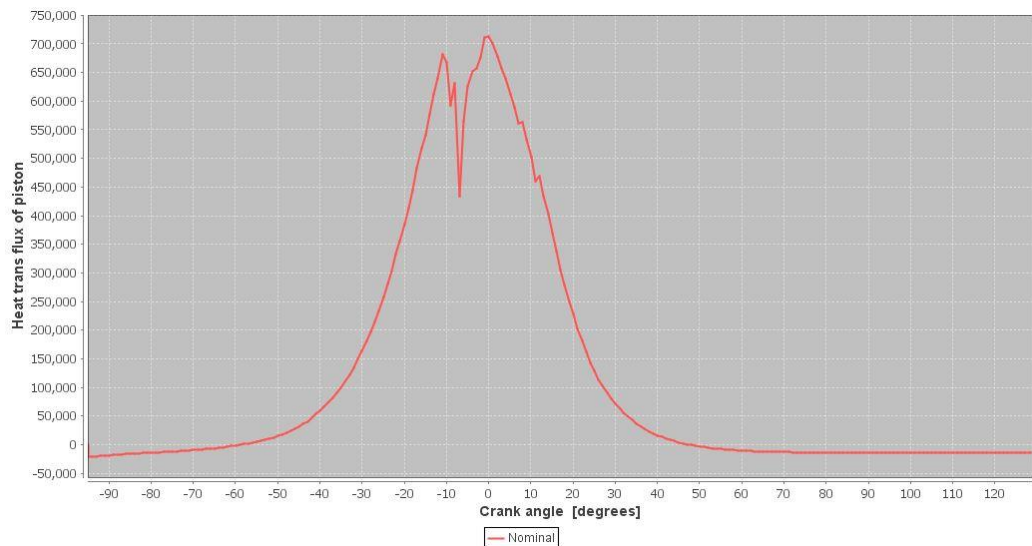
Grafik *heat transfer flux* (W/m<sup>2</sup>) pada variasi CNG 75% dan DO 25%





Grafik *heat transfer flux* ( $\text{W/m}^2$ ) pada variasi CNG 100% dan DO 0%







## BIODATA PENULIS



**Mochamad Choirul Hardianto** adalah Nama penulis skripsi ini. Penulis lahir dari orang tua (*Alm.*). Mochamad Hariadi dan Reni Rahayu sebagai anak pertama dari dua bersaudara. Penulis lahir pada 15 Juli 1995 di Kota Blitar, Jawa Timur. Penulis menempuh pendidikan dimulai dari SDN Karangtengah 01 (*lulus tahun 2008*), melanjutkan ke SMPN 03 Blitar (*lulus tahun 2011*), SMAN 3 Blitar (*lulus tahun 2014*), D3-Teknik Perancangan dan Kontruksi Kapal di Politeknik Perkapalan Negeri Surabaya (*lulus tahun 2017*), dan Lintas Jalur Teknik Sistem Perkapalan, Fakultas Teknologi Kelautan di Institut Teknologi Sepuluh Nopember (ITS). Dalam perkuliahan penulis mengambil penelitian untuk Tugas Akhir pada bidang studi *Marine Machinery and System* (MMS). Selama masa perkuliahan penulis aktif dalam kegiatan akademis maupun non-akademis.

Untuk kegiatan non-akademis penulis aktif sebagai staff Kominfo di Badan Eksekutif Mahasiswa Politeknik Perkapalan Negeri Surabaya pada periode 2015-2016. Selain itu penulis juga aktif di kegiatan akademis dengan menjadi Grader atau Asisten Dosen untuk membimbing Praktikum mahasiswa Sistem Perkapalan pada Mata Kuliah Ilmu Bahan dan Perlakuan Logam bidang studi *Marine Manufacturing and Design* (MMD) dalam praktikum Mesin Bubut dan Sekrap Periode Gasal dan Genap 2018/2019.